

МИНИСТЕРСТВО ГЕОЛОГИИ СССР
МИНИСТЕРСТВО ГЕОЛОГИИ РСФСР
ДАЛЬНЕВОСТОЧНОЕ ПРОИЗВОДСТВЕННОЕ ГЕОЛОГИЧЕСКОЕ ОБЪЕДИНЕНИЕ

Уч.№ 040

Экз. № 171

ГОСУДАРСТВЕННАЯ ГЕОЛОГИЧЕСКАЯ КАРТА СССР

МАСШТАБА 1:200 000

СЕРИЯ ХИНГАНО-БУРЕИНСКАЯ

Лист М-52-ХХIII (Архара)

Объяснительная записка

Составитель *H.K. Осипова*
Редактор *Л.Б. Кривицкий*

Утверждено Научно-редакционным советом ВСЕГЕИ

10 декабря 1970 г., протокол № 31

О ГЛАВЛЕНИЕ

	Стр.
Введение	5
Геологическая изученность	7
Стратиграфия	11
Интрузивные образования	28
Тектоника	58
Геоморфология	63
Полезные ископаемые	69
Подземные воды	81
Оценка перспектив района	84
Литература	87
Приложения	92

ВВЕДЕНИЕ

Территория листа М-52-ХIII входит в состав Архардинского и Бурейского районов Амурской области и ограничена координатами 49°20'—50°00' с.ш. и 130°00'—131°00' в.д. Она расположена на юго-западных отрогах Буреинского хребта, в месте соединения его с Амуро-Зеиской равниной и представляет собой в различной степени расщлененное низкогорье. Рельеф здесь характеризуется сложенными мягкими формами. Возвышенности, чаще всего, имеют куполовидные или плоские вершины и длинные (до 2-3 км) ровные или слабо вогнутые склоны, крутизной от 5 до 25°. Только вблизи крупных рек и в низовьях их притоков на участках, где речная сеть испытывает омоложение, наблюдаются крутое (30-40°) вылукные, нередко обрывистые склоны с выходами коренных пород. Абсолютные отметки вершин в большинстве случаев колеблются от 220 до 350 м при относительных превышениях 40-120 м. Нередко плосковерхие водоразделы забочены.

На фоне этого синевелированного рельефа наблюдаются возвышенные участки (Кабаны и Белье горы, водораздел верховьев рек Буган и Тыган с вершиной Салоли и горной грядой по левобережью р.Ликан) и остановые возвышенности (сопки Москва, Синяя и др.) с абсолютными отметками вершин от 340 до 630 м при относительных превышениях 100-300 м.

Разветвленная гидросеть на территории листа относится к бассейнам двух крупных левых притоков р.Амур — реки Архара и Бурея. Река Архара образуется от слияния рек Хари и Гонгора. Она пересекает территорию листа с северо-запада на юго-запад на расстоянии 100 км. Наиболее крупными левыми притоками ее являются реки Салокачи, Бол.Дыни, Урин, Баря, а правыми — реки Бутан, Татакан, Верх. и Сред.Илга и Илга. Длина этих типично горных рек, кроме р.Салокачи, не превышает 10-30 км. Скорость течения рек 1,1-1,5 м/с. Ширина русла р.Архара равна 70-200 м, а глубина — 1-3 м. В верховьях, до пос.Татакан, она течет в узкой, часто V-образной долине, русло ее изобилует каменистыми перекатами. Передвижение по ней возможно на моторных лодках от дер.Брахта до пос.Татакан. Выше поднимается лишь немногие местные жители, знающие реку, и то лишь до устья р.Тыган и по р.Хари около 10 км.

Судоходная р.Бурея протекает в северо-западной части района на расстоянии 35 км. Ширина ее русла достигает 400-500 м, а глубина 3,5 м и более. Скорость течения 1,1-1,2 м/с. Самым крупным ее левым притоком является р.Дикан. Это типичная горная река со скоростью течения 1,4-1,7 м/с, с шириной русла 10-20 м, глубиной 1-2 м. Режим рек зависит от количества выпавших атмосферных осадков.

Климат района континентально-муссонный. Характерен теплый влажный лето и морозная зима. Среднегодовое количество осадков по многолетним (с 1891 по 1963 г.) данным метеостанции Хара, Пайкан, Архара составляет 607-718 мм. Причем, в летний период выпадает 85-92% годового количества осадков. Летом преобладают восточные ветры, которые приносят с океана дожди, обуславливающие умеренную температуру. Абсолютный максимум (+41°C) температуры воздуха приходится на июль. Зимой дуют северные и северо-западные ветры, обуславливающие ясную сухую малоснежную морозную погоду. Абсолютный минимум (-53°C) температуры воздуха отмечается в январе. Среднегодовая температура воздуха отрицательная. В южной части территории листа она равна -0,9°C, а в северной -3, 3-3,5°C. Последнее обстоятельство объясняет наличие в северной части рассматриваемой территории островной многолетней мерзлоты. Первые заморозки отмечаются в начале сентября, а в конце его выпадает первый снег. Окончательно снежный покров ложится в начале ноября. В это же время происходит ледостав на реках. Снеготаяние начинается в апреле, реки вскрываются в начале мая.

Растительность представлена холоднолиствой охотской и теплолюбивой маньчжурской флорами. На юге и западе территории листа в долинах рек развит лесостепной ландшафт. На склонах долин и водоразделах от южной границы территории листа до низовьев рек Биря, Урин, Бол.Лыси на востоке и до р.Леконда на севере, а также в бассейне р.Бурея произрастают лиственные леса, состоящие из дуба, ольхи, лины, клена, белой и чёрной берёзы, вяза, ильмы, осины, редко ясени, амурского дархата, тополя с подиеском из лещини, калины, шиповника, бересклета, рододендрона, сагульника и мелконосных трав. Часто встречаются участки леса, деревни диким виноградом и лимонником. В бассейнах рек Биря, Урин, Бол.Лыси, Салокачи, Хара, Буган, Татакан растут смешанные леса, в которых, кроме вышеупомянутых лиственных пород, присутствуют листенница, ель, пихта, редко - кедр, массивы хвойного леса сохранились в виде островов в бассейнах рек Биря, Урин, Бол.Лыси, на сопках Москва, Саломы и по левобережью р.Буган. Большинство этих массивов находится в пределах Хингано-Архарин-

ского Государственного заказника, расположенного по левобережью р.Архары между рр.Биря и Салокачи. В бассейнах рек Тигон и Тиган, в местах старых гарей больше площасти заняты марями.

Территория листа экономически освоена неравномерно. Основное население района представлено русскими и украинцами. Занято оно в сельском хозяйстве, в лесной промышленности, а также охотой и другим лесным промыслом. Населенные пункты расположены преимущественно вдоль ж.-д. Москва-Владивосток и по берегам рек Буреи и Архары. Самым крупным из них является поселок и ж.-д. ст.Архара - Центр Архаринского района. В нем имеется аэродром малой авиации.

В долине р.Архара расположены деревни Аркалие-Семеновское, Черноберёзовка, Грибовка, Евхата, Второй Спорный, Отважное. Связь между деревнями и пос.Архара осуществляется автотранспортом по грунтовым дорогам. На берегах р.Буреи находятся деревни Кулаковка и Кулустай. Связь их с районным центром Бурейского района - пос.Ново-Бурейск осуществляется водным путем на катерах, теплоходах и т.д. Деревня Кулаковка, кроме того, соединена с пос.Ново-Бурейск грунтовой дорогой круглогодичного действия. В устье р.Татакан расположена пос.Татакан, в котором находятся лесничество и егерская служба Хингано-Архаринского Государственного заказника, а в ее верховьях - поселок Татаканского лесоучастка Ново-Бурейского леспромхоза, соединенный с пос.Ново-Бурейск лесовозной дорогой. Эта магистраль пересекает территорию листа в субширотном направлении на расстоянии 40 км.

Исследованная площадь плохо обнажена. Искусственные коренные выходы чаще наблюдаются в бортах долин крупных рек и в низовых их притоков. Встречаются обнажения также на склонах и требяках водоразделов в наиболее возвышенных участках района. Мощность рыхлых образований колеблется от 1-2 м на крутих склонах возвышенностей до 3-5 м и более на плоских, часто заболоченных, водоразделах и у подножия сильно выпложенных склонов.

ГЕОЛОГИЧЕСКАЯ ИЗУЧЕННОСТЬ

Изучение геологии территории листа началось на рубеже XIX и XX столетий и проводилось вначале вдоль строящейся Сибирской железной дороги и на участках, известных своей золотоносностью. Эти исследования представляют в настоящее время только исторический интерес. С первых лет Советской власти с перерывами до 1954 г. многими исследователями (А.В.Арсеньевым, Н.Д.Богомоловым, В.Г.Варнавским и др.) безуспешно велись в районе поиски сурых углей и разведка ранее известного Архаро-Богучанского буроуголь-

ното месторождения, расположенного в 1 км от южной границы территории листа за его пределами.

В связи с генеральным планом освоения ДВК, в конце 30-х годов в бассейне р.Архары, П.И.Близнюком и В.Х.Бусловым /16/ велись поиски строительных материалов, и были выявлены многочисленные мелкие месторождения песка, гравия, строительных камней.

Поиски и добывча золота на территории листа начались в дореволюционные годы, но наиболее интенсивно велись в 30-40-е годы Бирским промысловым управлением. В верховьях рек Талакан и Мал.Бирская долите годы велись добывача россыпного золота. В россыпях совместно с золотом приступал в значительных количествах касситерит. Поэтому в 1935 г. М.Н.Доброхотовым и В.И.Маликовским /27/ впервые в районе, но безуспешно, были проведены поиски оловянных руд. Не увенчались успехом также поиски олова, проведенные в бассейне р.Биря в 1954 г. Е.Г.Седельниковой /50/.

С 1940 по 1961 г. с перерывами велись разведка известья известняков в районе Средне-Ильинского (Архаринского) и Лицанского месторождений известняков /40/, /28/, /42/, /48/. Почти одновременно с разведкой Лицанского месторождения в 1961-1962 гг. в долине р.Буреи К.М.Борзовым /19/ проводились поиски вулканических туфов, пригодных для производства цемента, и были открыты Самсонское, Иркутское и Кулустайское месторождения. Дважды (в 1940 г. - Мочановым и Болатыревым /40/, а в 1960 г. - Васильевой /22/) изучалось Аркалиевское (Аркалие-Семеновское) месторождение бентонитовых глин.

В 1940 г. П.И.Еремеев и др. /29/, по заявкам местных жителей, проводили поиски нефти в бассейне среднего течения р.Архары, не давшие положительных результатов. Поиски нефтеносных структур методом ВЭЗ, организованные в долине р.Архары Н.Ф.Селезневым /51/, зимой этого же года, также не увенчались успехом. В 1960 г. М.А.Луковичем /30/ возле дер.Аркалие-Семеновской башни пробурена структурная скважина глубиной 342 м, не дошедшая до кристаллического фундамента.

В 1941 г. северо-западную часть площади листа посетил М.И.Индиксон /33/, проводивший маршрутную геологическую съемку масштаба 1:200 000 в среднем течении р.Буреи. Он обследовал интрудные породы обследованной территории в два комплекса, названные им тырмо-буремскими (палеозойскими) и лицанскими (позднемезозойскими). В 1941-1943 гг. в Амуро-Зейском междуречье (лист №-52) геологическую съемку масштаба 1:1 00 000 провел С.А.Музылев /41/. Он предложил стратиграфическую схему, которая в общих чертах сохранилась до настоящего времени.

Впервые плоскодное геологическое картирование масштаба 1:200 000 на территории листа проведено в 1951 г. А.А.Головневой /23/. Геологическая карта, составленная А.А.Головневой, к настоящему времени устарела. В 1957-1958 гг. Э.А.Молостовским /38, 39/ среднемасштабное картирование было проведено в западной части территории листа.

До 1957 г. в пределах рассматриваемого листа гидрогеологические работы сводились главным образом к сурению разведочных и эксплуатационных на воду скважин /34/. Лишь, с 1957 по 1963 г. на территории листа №-52-ХIII К.П.Караваевым /35/, Е.Т.Михайловой /37/ и В.М.Шороховым /56/ была составлена гидрогеологическая карта масштаба 1:500 000.

В 1941 г. А.Г.Линьковым и В.Г.Литмаром /26/, в 1953-1955 гг. Н.В.Ивановым /31/, а в 1958 г. М.И.Политиковым и С.Д.Лиденко /47/ на территории листа в целях поисков железорудных месторождений проведена аэромагнитная съемка разных масштабов, позволявшая выявить ряд положительных магнитных аномалий (Березовскую, Некрасовскую и др.), обусловленных массивами основных пород. Гравиметрические исследования на всей территории листа проведены лишь в масштабе 1:1 000 000 /55/. Гравиметрическая съемка более крупного масштаба на северной половине площади листа проведена Р.И.Исмайловым /32/, а в окрестностях пос.Архара - В.С.Майорановым /36/.

В процессе наземной проверки аномалий, выявленных дружиной аэрогеофизической съемкой, проведенной В.В.Фиженко /54/ на небольшом участке в центральной части территории листа в 1953-1954 гг., была обнаружена оловянная минерализация на участках "сопка Москва" и "Известковый завод". На этих участках в 1958-1960 гг. поисково-разведочные работы провел Н.И.Поздняков /46/, который дал им отрицательную оценку.

Начиная с 1960 г. на территории листа проводились сплошные геологические поиски, сопровождаемые пятикапитальными аэрогеофизическими исследованиями /24/. В 1967 г. район посетили Е.И.Бондаренко /20/ и В.А.Лискунов /45/. Первый вел тематические исследования по выявлению лещадровочных признаков развитых в районе комплексов горных пород, а второй - поисково-ревизионные работы на россыпное золото. В.А.Лискуновом рекомендованы участки для постановки буровых работ с целью выявления россыпей золота, пригодных для механизированной отработки.

В 1966 г. ДВГУ была организована Архаринская партия под руководством Н.К.Осиповой, пелевым заданием которой являлось картирование и подготовка к изданию геологической карты и карты по-

лезных ископаемых листа М-52-ХIII. В полевых работах, кроме автотранспорта записки, принимали участие геологи В.Ф.Синийский, А.Л.Константинов и А.С.Севастьянов. При подготовке геологической карты листа были использованы карты, составленные Н.К.Осиповой /43/, Э.А.Молостовским /38, 39/, С.А.Музылевым /9/, а также данные буровых скважин, пробуренных на юге территории В.Г.Барнавским /21/, Н.Д.Богомоловым /18/, М.А.Жуковичем /30/; аэромагнитные карты масштаба 1:200 000, составленные М.И.Политиковым и С.Д.Диденко /47/ и Г.О.Гукасяном /25/, и материалы о магнитной восприимчивости пород, полученные И.И.Астрафевой /14/, Э.А.Лубинчиком и др. /4/. На всю территорию листа имеются аэрофотоснимки масштабов 1:28 000 и 1:30 000, изготовленные по залетам 1949, 1955 и 1965 гг. Качество снимков удовлетворительное, геологическая дешифрируемость плохая. Отчетливо дешифрируются на аэрофотоснимках лишь поверхности и уступы террас, белогорская и кивдинская свиты, некоторые разрывные нарушения. При подготовке к изданию карты полезных ископаемых использованы материалы автора /43/, данные Э.А.Молостовского /38, 39/, Н.И.Позднякова /46/, а также материалы о золотоносных россыпях Архаринского района В.А.Пискунова /45/, ведомость каменных и строительных материалов по Амурской области, составленная П.И.Близнаком и В.Х.Бусловым /16/, результаты детальных разведок на известники А.П.Погапова /48/ и В.М.Драгалева /28/, данные по поискам вулканических тuffов К.М.Бордова /19/.

Химико-аналитические работы проведены в центральной лаборатории ДВГУ химиками-аналитиками Л.Н.Бельковой, А.П.Перминой, А.Д.Зыгостьевой, Д.Г.Павлюченко и Л.А.Сиговой. Определение абсолютного возраста горных пород аргоновым методом произведено в лаборатории ДВГУ Т.К.Ковалецкой. Контрольные определения абсолютного возраста делались в лабораториях ВСЕГЕИ и Приморского геологического управления. Палеонтологические анализы сделаны палеонтологами ДВГУ Л.Л.Казачихиной, Л.И.Лукашовой и П.И.Битцкой, а определение листовой флоры - М.М.Кошман. Описание шлифов выполнено Н.К.Осиповой и А.С.Севастьяновым, определение констант минералов Н.Ф.Петровской. Пересчет химических анализов горных пород на чистые характеристики по методу А.Н.Заварзого, определение коэффициента азотистости произведены на ЭЦВМ "Урал-2" по программе, составленной М.И.Оконо и на ЭЦВМ "Минск-22" по программе, составленной В.Н.Бременко.

В процессе подготовки публикующей карты к изданию выяснилось, что некоторые мелкие связки геологических контуров с уже изданными геологическими картами масштаба 1:200 000. Причины этих неувязок

будут оговорены в соответствующих местах записки.

СТРАТИГРАФИЯ

ПРОТЕРОЗОЙ

Амурская серия

Тулоччинская свита ($Н_1$, $Ч_1$) слагает различные останцы кровли площадью от 1 до 60 км², среди разновозрастных гранитоидов в бассейнах рек Буган, Тыган, Гонтор и Хара. Отложения свиты представлены биотитовыми и роговообманково-биотитовыми гнейсами и мусковит-кварцевыми, иногда гранатодержащими сланцами. Наиболее распространены грубополосчатые средне- и крупнозернистые биотитовые гнейсы. Среди них встречаются пачки мелкозернистых тонколосстичных биотитовых и роговообманково-биотитовых гнейсов мощностью 10–50 м. Мусковит-кварцевые сланцы встречены только в бассейне р.Буган. Здесь, судя по разрезам, составленным с помощью канав, нижняя часть свиты сложена вышеописанными гнейсами мощностью более 700 м, а верхняя часть, мощностью 225 м, представлена мусковит-кварцевыми сланцами с редкими пачками (до 45 м) тонколосстичных мелкозернистых биотитовых гнейсов. Мощность тулоччинской свиты в пределах территории листа оценивается в 1000 м.

Для грубополосчатых биотитовых гнейсов характерна полосчатая текстура и порфиробластовая структура. Порфиробласти сложены кварцем и микроклином, которые находятся в равных количествах и составляют около 30% породы. Основная масса гетерогранобластовой структуры состоит (в %) из кварца – 30, микроклина – 30, олигоклаза – 25–30, биотита – 10–15, который наблюдается в виде линзовидных скоплений размером 2–7 мм. В мелкозернистых биотитовых гнейсах, имеющих примерно тот же минералогический состав, количество порфиробласт не превышает 15%, а основная масса имеет лепидот-гранобластовую структуру. Биотит в них распределен равномерно. Роговообманково-биотитовые гнейсы от вышеописанных отличаются лишь наличием (от 1 до 20%) роговой обманки.

Мусковит-кварцевые сланцы имеют сланцеватую текстуру и очковую структуру. Составляет они из "очков" кварца (до 15%) и основной массы, сложенной мелкозернистым кварцем (60%) и мусковитом (40%). Описываемые породы являются продуктом регионального метаморфизма (в амфиболитовой фации) и ультраметаморфизма осадочных, возможно, частично и интрузивных пород.

Д и ч у н с к а я с в и т а (РР₁дс) установлена только

в бассейне р.Бырд, где она слагает небольшие разобщенные останки кровли среди раннепалеозойских гранитоидов. Свита представлена амфиболитами, роговообманковыми и, редко, болититовыми гнейсами. Амфиболиты характеризуются линейно-параллельной текстурой и состоят (в %) из уралитизированной роговой обманки - 75, андезина - до 20, рудного минерала - 5, сфена - 1. Роговообманковые гнейсы отличаются от амфиболитов большим (до 60%) количеством полевых шпатов. Болититовые гнейсы сходны с гнейсами туловчихинской свиты. Ввиду незначительной распространенности дигутской свиты и очень скромной обнаженности в поле ее развития, разрез свиты не был изучен. Мощность ее ориентировочно оценивается в 300 м.

ВЕРХНИЙ ПРОТЕРОЗОЙ

М е л ь г и н с к а я с в и т а (РР₃мг) слагает два

крупных останца кровли позднепалеозойских и мезозойских гранитоидов, из которых один расположены в низовых р.Талой, а второй - в бассейне р.Сред.Илги. Небольшие останцы кровли, сложенные породами мельгинской свиты, зафиксированы также в районе селки Москва и в верховьях р.Верх.Илги. В строении свиты принимают участие мраморизованные массивные, реже слоистые известняки, в меньшей мере - доломиты, и в виде единичных маломощных (до 5 м) прослоев филилитовидные сланцы и метаморфизованные мелкозернистые песчаники. Известники нередко мергелистые и доломитизированные.

Разрез мельгинской свиты с помощью канав и буровых скважин изучен в 1956 г. Д.Г.Найденко /42/ в низовых р.Талой и - в 1952 г. В.М.Довгалевым /28/ в бассейне р.Сред.Илги. По следиям Д.Г.Найденко, в основании видимой части разреза свита залегают известняки, иногда слабо мергелистые, большей частью крупно- и грубозернистые, часто полосатые мощностью около 1000 м. Выше залегает пачка доломитизированных мергелистых известников мощностью около 500 м, среди которых в виде отдельных неправильной формы тел мощностью не более 30 м встречаются доломиты. Мощность мельгинской свиты в низовых р.Талой составляет 15000 м.

ДЕВОНСКАЯ СИСТЕМА

С р е л и й о т д е л (Р₂?)

К среднему девону условно отнесены в различной степени и метаморфизованные кислые эфузивы и терригенные породы, слагающие останцы кровли, сохранившиеся в опущенных тектонических бло-

ках среди разновозрастных гранитоидов в бассейнах рек Татакан, Тайла, Сред.Илга и т.д.

Неполный разрез вулканитов, залегающих в основании описываемых отложений, с помощью канав составлен на западном склоне сопки Москва. В низах видимой части разреза лежит поток мощностью около 250 м, серых средневкрашенниковых кварцевых порфиров с фильтровальной текстурой, в различной степени рассланцованных. В них содержатся обломки мраморизованных известняков принадлежащие, по-видимому, мельгинской свите. Выше по разрезу залегают серые средневкрашенниковые ортофиды мощностью около 50 м. Водораздел р.Талой и её правого притока сложен крупновкрашенниками полиморфными кварцевыми порфирями. Последние установлены также совместно со средневкрашенниками кварцевыми порфирями на южном склоне селки Москва.

Среди территорий пород наиболее часто встречаются кварцевые и кварцитовидные песчаники, иногда переходящие в кварциты, реже - филилитизированные алевролиты и мелкозернистые полимиктовые песчаники, изредка - филилитовидные сланцы, мелкогалечные вулканоглинистые конгломераты и туфогенные песчаники. Кварцевые и кварцитовидные песчаники - разнозернистые массивные породы, кластично-скальная часть которых составляет 60-80% и представлена среднеокатанными зернами кварца и редкими обломками фельзитов. Цемент песчаников базальный, соприкосновения, реже порозый. Состоит он из мельчайших зерен кварца и серидита. Структура пород псамитовая и псамитосаммитовая. Туфогенные песчаники состоят из остроугольных зерен кварца, серпентинизированных полевых шпатов и обломков фельзитовидных город. Мелкотальные вулканоглинистые конгломераты - светло-серые рассланцованные породы, содержащие 15-20% хорошо окатанной мелкой гальки кварцевых порфиров и кварца и около 50% песчано-гравийного материала того же состава.

Строение терригенной толщи по левому и редким обнажениям наследовалось по правому берегу р.Татакана, выше устья р.Леконды. Здесь в основании разреза залегает пачка мощностью около 200 м, филилитизированных мелкозернистых песчаников и алевролитов с прослойками мелкозернистых тубогенных песчаников и филилитовидных сланцев. Выше залегает пачка, мощностью 150 м, сложенная метаморфизованными разнозернистыми кварцевыми и кварцитовидными песчаниками, переходящими местами в типичные сливные кварциты. На этих светлоокрашенных, существенно кварцевых породах залегает пестрая

пачка, мощностью 250 м, сходная по составу с нижней пачкой, но здесь, кроме того, присутствуют прослойки кварцитовидных песчаников и установлены прослойки мелкогалечных вулканомиктовых конгломератов мощностью до 20 м. Венчает разрез толщи пачка, мощностью 300 м, кварцевых и кварцитовидных песчаников с редкими прослойками мелкозернистых полимиктовых песчаников и алевролитов. Суммарная мощность терригеннонной толщи 900 м, а всей толщи среднедевонских (?) образований 1300–1500 м.

На территории листа описываемые породы прорваны гранитами харинского и диканского комплексов. Возраст рассматриваемых пород установлен путем сопоставления со сходными по составу и положению в разрезе вулканогенно-терригенных образованиями в северо-восточной части Биринского массива. В настоящее время здесь толща терригенных пород с кварцевыми и кварцитовидными песчаниками, подстилаемая кислыми эфузивами, большинством исследователей, в том числе В.А.Циренко /5/, С.М.Братинским /1/ и др., относится к среднему девону.

ПЕРМСКАЯ СИСТЕМА (P?)

В пермской системе условно отнесена толща итнимбритов лиганского состава, сохранившаяся в двух отщущенных тектонических блоках среди харинских гранитов в бассейнах рек Урин и Биря. Среди итнимбритов установлены порфирокластические, кристаллокластические, гипалокластические разности. Все они в значительной степени ороговикованы и гидротермально изменены. Порфирокластические итнимбриты – породы массивной или псевдорадицальной текстуры. Состоят они из связующей массы и обломков интрагидротермических кристаллов кварца и полевых шпатов, а также обломков пород (кварцитов, андезитов и т.д.) (15–30%). Иногда в них видны линзы фельзитовой породы (фельзит) и угловатые включения гранитолов размером до 5 см. Основная масса имеет лепидогранобластовую или реликтовую фельзитовую структуру и состоит из микрозернистого агрегата кварца и полевого шата с примесью мелкочешуйчатого бурого, по-видимому, kontaktового биотита, серпента, эпилита. Кристаллокластические итнимбриты отличаются от порфирокластических лишь большим (до 40%) содержанием обломков кристаллов. Гипалокластиты сложены в основном линзовидными обломками вулканитического стекла размером 0,1–1 мм. Обломки кристаллов и других пород в них составляют не более 10–20%.

На правобережье р.Биря в составе толщи преобладают кристаллолиты и порфирокластические итнимбриты. Гипалокластиты встречаются

ся в её верхней части. Мощность итнимбритовой толщи здесь, полувальная граудитеска, составляет 500 м.

Описываемые породы имеют более свежий облик, чем средневолжские (?) вулканиты. Сформировались они, по-видимому, до становления харинских гранитов, так как залегают среди них и несут следы ороговикования и гидротермальной переработки. Они условно сопоставляются с пермскими кислыми эфузивами, выделенными В.В.Васильевой /2/ на территории листа №52-ХVII.

МЕЛОВАЯ СИСТЕМА

Нижний отдел

Станолирская свита (K_1 , t) установлена на правобережье р.Биря, где слагает восточную часть покрова, уходящего за пределы территории. Нижние горизонты свиты в районе не обнаружены. Сложена она преимущественно туфами андезитов. В верхней части свиты встречаются потоки андезитов и базальтов мощностью 1–6 м. Мощность свиты, по данным Э.А.Молостовского /38/, 80–100 м. Прослойный разрез её на листе не изучался.

Туфы андезитов – массивные породы, среди которых выделяются мелко-, средне- и крупнообломочные разности. Туфы состоят из обломков андезитов, гранитоидов и обломков кристаллов кварца, плагиоклаза, калиевого полевого шата, моноклинного пироксена. Цементирующая масса туфов состоит из беспорядочно ориентированных пелевыми частичками остроугольной и ростульчатой формы. В слабо сференных разностях туфов, встречающихся у северной границы листа, имеются фольмоеобразные включения слабо динитрифицированного стекла, которые совместно с пелевыми частичками ориентированы в одном направлении, обусловленная микропсевдорадицальная текстуру породы. Возрастное положение рассматриваемых вулканитов не вполне ясно. К станолирской свите они отнесены условно на том основании, что залегают на гранитоидах, и несогласно перекрываются у с.Киселево /38/ толщей кислых эфузивов, сопоставляемой с болотянской свитой.

Верхний отдел

Завицкая свита ($K_2 z v$) на дневную поверхность не выходит. Она вскрыта лишь скважинами 169 и 14, пробуренными М.А.Жуковицем /30/ в районе дер.Аркади-Семеновское и В.Г.Баранским /21/ в верховых крупного левого притока р.Джельмен. Свита сложена артиллитами, алевролитами с прослоями песков

и глин. В скважине 169 к завитинской свите отнесены отложения в

интервале 252,9-342 м мощностью 89 м. Эти отложения представляют собой пачку переслаивающихся аргиллитов и алевролитов турдовых с расщепительным цементом и иногда с галькой кремнистых пород. Внизах разреза среди них имеются два прослоя уплотненных песчани-

стых глин и один прослой песков мелкозернистых, кварц-поленошатовых, слюдистых, соответственно мощностью 2,8; 3,6 и 6,4 м.

На территории листа в описываемых осадках органических остатков не найдено. Возраст их определен путем сопоставления с литологически сходными образованиями восточной части Амуро-Зейской впадины, в частности, с завитинской свитой, вскрытой скв. 5-к, пробуренной В.Л.Акуловым /13/ заимнее пос. Архара, в окрестностях дер. Антоновки. Альтитуды устьев скважин 169 и 5-к имеют одинаковые абсолютные отметки. В обеих скважинах завитинская свита залегает в интервале глубин 200-350 м. Она перекрывается цаганской, свитой, имеющей гравийно-галечечно-песчаный состав и подстилается (скв. 5-к) существенно песчаной покровской свитой. Здесь в завитинской свите в интервале 229,5-244 м обнаружены раковины осьтакод, а на глубине 312 м - фауна пресноводных моллюсков, острокол и фильтод. В других частях Амуро-Зейской впадины совместно с вышеуказанный фауной установлены богатые спорово-пыльцевые комплексы, позволившие уточнить возраст рассматриваемых отложений. В настоящее время возраст их трактуется как позднемеловой.

Б о т у ч а н с к а я с в и т а ($K_2^c g$) представлена песчановыми литонитрокластическими туфами липаритов, которые в виде обломков встречены по правобережью р. Гончаровки и слагают небольшие площади на правобережье р. Буреи. Они, вероятно, являются остатками кровли субвуликанического тела щелочных липаритов, отнесенных Э.А. Молостовским /38/ также к ботучанской свите. Мощность туфов, по данным бурения на Иркутском месторождении туфов /19/ равна 19,5-29,4 м, а на Самсонском месторождении - 70 м.

Позднемеловой возраст туфов липаритов установлен на том основании, что они в зоне с. Киселево /38/ залегают на коре выветривания, развитой на андезитах и туфах станолирской свиты, и интродуцированы субвуликанической интрузией щелочных липаритов, имеющих абсолютный возраст 77 и 95 млн. лет (табл. 3,обр. 6330, 6330-2).

Мастрихский и датский ярусы

Ч а р а я н с к а я с в и т а . По литологическому соста-

ву она разделена на три подсвиты: нижнюю, среднюю и верхнюю.

Нижняя подсвита ($K_2^c g$) сложена валунниками, галечниками уп-

лотненными с прослоями глин, песков, песчаников, конгломератов и с линзами бурых углей. Эти отложения развиты в бассейнах рек Джельмен, Талакан - в пределах восточной окраины Амуро-Зейской впадины, и прослеживаются к северо-востоку от нее (бассейны рек Урин, Большой Дяды, Салокачи, Хара) в виде разобщенных участков, указывая направление древней реки. В прибрежной части впадины и за ее пределами нижнедагянская подсвита залегает на разновозрастных интрузивных породах, а в более проткнутых участках фундамента впадины - с размытием на завитинской свите. Наиболее полный разрез подсвity изучен по линии шурfov на левобережье р. Архара, в 1,5 км выше устья р. Джельмен. Здесь она состоит из двух горизонтов:

нижнего - валунно-галечного и верхнего - глинистого. Нижний горизонт, мощностью около 100 м, залегает на позднепалеозойских гранитоидах. Он сложен преимущественно крупными галечниками и валунами диаметром до 0,7 м, обычно хорошо окатанными. Заполнитель в них песчано-гравийный и песчано-глинистый. Состав обломочного материала следующий (%): граниты 40-70, кислые эфузивы - 10-25, кварциты - 20-25, туфы, кремнистые породы, гнейсы, алевролиты - 10-15. Валуны обычно гранитные. В составе галечников преобладают кремнистые породы и эфузивы. Верхний горизонт, мощностью около 50 м, сложен вязкими уплотненными зеленовато-серыми хорошо отмыченными монтмориллонитовыми глинами. По данным И.Ф. Горбачева /3/, он прослеживается на большей части Амуро-Зейской впадины и является маркерным.

В истоках р. Джельмен в нижней части подсвity, сложенной неравномернозернистыми мелко- и среднезернистыми кварцево-поленошатовыми песками с примесью (до 35%) гальки и валунов, встречаются прослои песчаников, конгломератов с лимонитовым цементом, глин и линзы бурых углей. Такой же примерно фациальный состав имеет описываемые отложения в небольшом мульдообразном прогибе в междуручье Урин-Большой Дяды. Далее на северо-восток, в бассейнах рек Салокачи и Хара нижнедагянская подсвita сохранилась от размыва лишь кое-где на вершинах водоразделов, имеет мощную мощность (до 20-30 м) и сложена хорошо окатанными валунно-галечными отложениями. Мощность нижнедагянской подсвity, определенная по данным бурения и подсчитанная по разрезам, составленным с помощью шурfov, колеблется от 20-30 до 150 м /21/.

Средняя подсвita ($K_2^c g_2$) сложена песками, алеврятами, глинами и галечниками уплотненными, аргиллитами. Распространена она на левобережье р. Архара на участках, приуроченных к максимальному

щорнутым частям фундамента впадины. Наиболее полный разрез подсвity с помощью канав и шурfov изучен в 1,5 км к юго-востоку от устья р.Джельмен. Здесь на горизонте глин, вытянутом разрез ниже нечаганской подсвity, залегают валуно-галечно-песчаные отложеними мощностью 110 м. Ниже разреза сложены галечниками с песчаным или песчано-глинистым заполнителем (до 10-15%). Кверху они постепенно сменяются песками неравномернозернистыми средне- и крупно-зернистыми, кварц-полевошпатовыми, с примесью мелкой и средней гальки. Состав валунов и галек, степень их окатанности такие же, как в нижнечаганской подсвите. При движении на юг, вглубь впадины, происходит смена грубообломочных фаций мелкобломочными. Для среднечаганской подсвity характерны резкие колебания мощности - от 19 до 110 м.

Верхняя подсвita (K_2 η_3) состоит из галечников, песков, редкими остатками днульных растений. На левобережье р.Архара подсвита обнаруживается на разрозненных участках в верхних частях водоразделов рек Джельмен-Бракта и Бракта-Сужла, где с разрывом перекрывает различные горизонты среднечаганской подсвите, обусловливая резкое колебание мощностей последней. Граница между нижними проводится по подошве пачки галечников мощностью от 1,7 до 25,4 м, залегающих в основании верхнечаганской подсвите. На правобережье р.Архара и в бассейне р.Буреи рассматриваемая подсвita трансгрессивно залегает на разновозрастных интрузивных породах, включая субвуликанические щелочные липариты позднемелового возраста, а также на завитинской свите. Отложения подсвity перекрыты образованиями кивдинской свиты.

Полный разрез подсвity, мощностью 127,2 м, наблюдался в зоне дер.Аркадье-Семеновское в скв.169 (интервал 128,4-255,6 м) /30/. В низах и верхах его залегают пачки переслаивающихся уплотненных песков серых, неравномернозернистых, полимиктовых и кварцевых, иногда с растительным детритом, гравия и мелких среднеокатанных талечников. Мощность верхней пачки равна 24,3 м, а нижней - 5,7 м. Средняя часть свиты, мощностью 97,2 м, представлена пачкой переслаивающихся примерно в равном количестве плен лестничекашенных, уплотненных, иногда с растительными остатками и песков неравномернозернистых, полимиктовых, иногда кварцевых, уплотненных, с примесью гравия, нередко переходящих в сладоцементированные песчаники.

Литологический состав подсвity по простирию не выдержан.

Галечники обычно состоят из мелкой и средней хорошо окатанной гальки и песчано-гравийного заполнителя. Преобладают гальки

уплотненные и удиленные, состоящие из кремнистых пород и кислых щебузиков; встречаются гальки песчаников, алевролитов, гранитов, кварцитов, пегматитов. На правобережье р.Буреи встречены мелкогалечные компломераты с отальным цементом, галька в которых представлена гранитами и липаритами. Пески неравномернозернистые, редко гравийные, иногда каолинодержащие, косослоистые, зерна в них плохо окатаны. Песчаники неравномернозернистые, преимущественно мелко- и среднезернистые, полевошпат-кварцевые с глинистым, железистым или опаловым цементом. Глины слабо песчанистые, в различной степени уплотненные, иногда каолиновые, часто содержат мелкий растительный детрит.

Определенных органических остатков в цаганской свите на территории листа не найдено. Все подсвity выделены по литологическому составу, по аналогии с подобными подсвityми на сопредельных с юга и запада территориях. На территории листа М-52-ХХIX в нижнечаганской подсвите найдена ископаемая листовая флора, а из средней и верхней подсвity цаганской свите получены спорово-пыльцевые комплексы, характерные для латского яруса /52/. На территории М-52-ХХI А.И.Юдин нижнечаганскую подсвitu по листовой фло-ре, спорам и пыльце отнес к позднесенонскому-латскому времени, а среднюю подсвitu, по спорам и пыльце, к латскому времени /53/. Поэтому возраст цаганской свиты считается маастрихт-латским.

Латский ярус меловой системы и палеоцен

К и л и н с к а я с в и т а (K_2+P_1 η_4) сложена глинами, песками, аргиллитами с прослойями бурых углей, галечниками, песчаниками и туфами. Она обнаруживается на площади около 100 км² в районе пос.Архара и в бассейне р.Сужла. Отсюда свита прослеживается на територии листа М-52-ХХIX. Нижняя часть свиты мощностью 114,4 м, вскрытая скв.169 у дер.Аркадье-Семеновское в интервале 14-128,4 м сложена преимущественно глинями уплотненными до аргиллито-обломочных, песчанистыми с примесью гравия, которые переслаиваются с песками, мелко- и среднезернистыми, полимиктовыми, реже кварцевыми /30/. Встречаются прослои песчаников, мощностью до 1,8 м, зеленовато-серых, слабо сцепленогравийных глинистых или известковистых цементом, с ходами ископаем и растительным детритом. Два прослоя глини имеют мощность 17 и 22 м.

Верхняя часть свиты, мощностью 118 м, вскрыта шурфами на склоне Точильной возвыши дер.Аркадье-Семеновское /43/. В строении ее принимают участие главным образом аргиллиты, реже глины, об разующие прослой мощностью от 2,5 до 30 м. Они переслаиваются с

пластами песков и слабо cementированных песчаников разновозрастных, иногда с остатками стволов деревьев мощностью 2,5-3,5 м, редко до 28 м.

На вершине сопки Точильной среди вышеуказанных пород, содержавших в перемеженных количествах приокластический материал, наблюдались в целях пепловые туры, залегающие, по-видимому, в виде непротяженных маломощных линз. Для верхней части киевдинской свиты характерны резкие фациальные изменения состава по простиранию,нередко даже в пределах первых сотен метров, что наблюдалось в карьере Архаринской сопки возле пос.Архара. В целом для песков киевдинской свиты, в отличие от песков патаянской свиты, свойственна лучшая сортировка зерен. Песчаники полимитовые, редко аргазовые. Структура их псамитовая с цементом пор, соприкосновения и корковым. По составу цемент опаловый. Глины и аргиллиты гидрослюдистые с примесью каолина либо каолиновые с примесью гидрослюды, реже монтмориллонитовые.

Коллекция ископаемой листвовой флоры с Архаринской сопки, по мнению М.М.Кошман, характеризуется наибольшим числом отпечатков рода *Phytoschizoides*, обилие представителей которого свойственно для верхнелетовых (латских) отложений. Среди других двухольных широко распространены представители родов: *Grevilleopsis*, *Platanus*, *Viburnum Metasequoia*, *Taxodium* и др. По заключению М.М.Кошман, архаринская флора по своему составу почти ничем не отличается от флоры Бурейнского паяна. Но учитывая, что в районе пос.Архара, по нашему мнению, имеют место и более высокие наудельные горизонты киевдинской свиты, возможно соответствующие "райчихинским слоям" /58/; возраст киевдинской свиты определяется в целом как позднедатский-палеогеновый.

НЕОГЕНОВАЯ СИСТЕМА

К о р и в н ы е т р и в а н и я (N) сохранились лишь кое-где на плоских водоразделах в бассейнах рек Гонтор, Татакан, Тыган, Сред.Илга, Илга, Верх.Илга, Хара^х и т.д. Преимущественно развиты дресвынистые коры выветривания, глинистая составляющая которых имеет каолинитовый или каолинит-монтмориллонитовый состав. В бассейне р.Тыган на гнейсах тулоччинской свиты наблюдаются коры глинистые, имеющие гидрослюдистый, состав. Возле дер.Аркади-Семеновское кора выветривания на киевдинской свите

х/^хкоры выветривания, занимающие небольшие (менее 2 км²) площади, на геологической карте не отображены.

Представлена бентонитовыми глинами, которые описаны в главе "Полевые ископаемые". Мощность дресвынистых кор выветривания к югу от сопки Москва, по данным бурения /46/, более 15 м. Предполагается, что время максимального образования кор выветривания в южной части Бурейского массива приходится на миоцен. Формирование их несомненно началось ранее и происходит в ряде мест и по на-стоящее время.

С а з а н к о в с к а я с в и т а (N_{1,2}) представлена полевошпат-кварцевыми каолинсодержащими песками от мелко- до крупнозернистых и галечниками. Она сохранилась от размыва на нескольких разрозненных участках общей площади около 1 км² в юго-восточной части площасти листа. В составе тяжелой фракции песков присутствует золото и кассiterит. Галечники состоят из мелкойплохокатанной гальки, представленной кварцем, кремнистыми породами, редко кварцитами, кислыми эфузивами, песчаниками, гранитами. Мощность свиты 20-25 м.

Из аналогичных отложений в районе бывшего приска Ивановского Н.С.Ильиной были отобраны пробы, в которых определен спорово-пыльцевой комплекс, по мнению А.И.Мичной и М.В.Зимы, характерный для сазанковской свиты миоценового возраста /52/.

П л и о п е н о в ы е и н и ж е ч е т в е р т и ч н ы е о б р а з о в а н и я

Б е л о г о р с к а я с в и т а (N₂-Q₄/6) сложена полево-шпат-кварцевыми песками от мелко- до грубозернистых (гравийных) с редкими линзами плин и галечниками. Эти отложения занимают плоские водораздельные пространства в бассейнах рек Гонтаровка, Кривой, Домикан, Верх.Илга и Сред.Илга, а также в виде пернистой полосы протягивающейся по диагонали через территорию листа от р.Татакан до р.Гинтон и уходящей за её пределы. Несомненно они трассируют долину мощной древней реки, истоки которой располагались где-то к северо-востоку от рассматриваемого района.

Литологический состав и мощность свиты изменяются с северо-востока на юго-запад. Так, например, в междуречье Хара - Гинтон - Гонтор белогорская свита имеет мощность до 43 м. Сложена она здесь преимущественно крупнозернистыми до гравийных светло-серыми, желтовато-серыми, обычно каолинсодержащими песками. В основании их повсеместно установлен маломощный горизонт среднеокатанных мелких и средних галечников, галька в которых представлена кварцем (80%), кислыми эфузивами, гранитами, песчаниками, пемматитами. Местами (водораздел рек Гонтор и Гинтон) выше крупнозерни-

стых песков залегают мелкозернистые желтовато-бурые лимонитизированные пески с линзами буровато-серых глин.

В пределах Амуро-Зейской впадины (бассейны рек Игра, Кривой Домикан) мощность белогорской свиты достигает 60 м и более. Разрез ее здесь начинается крупнозернистыми и гравийными песками. Сложенна она преимущественно неравномернозернистыми мелкозернистыми полевошпат-кварцевыми песками, итога с примесью гравия и мелкой гальки, с редкими прослоями и линзами жирных и пестристых глин мощностью до 2 м. В песках из Междуречья Хара - Тигон существует касситерит в количестве до 8,2 г/м³.

А.А. Головневой /23/ в мелкозернистых песках, слагающих южную часть свиты на водоразделе рр. Салончи и Бол. Лыси, волнистость последней, были отобраны пробы, в которых обнаружены пильца: *Pinus* подрода *Pinnoxylon*, *Pinus* подрода *Narroxylon*, *Betula*, *Ericaceae* и споры из семейства *Polypodiaceae*, *Woodsiella*. На основании этого спорово-пыльцевого комплекса М.А. Седова дала заключение о возрасте отложений, содержащих его, в широких пределах (N_2+Q_1). Она указала также, что подобного вида пыльца и споры заведомо не встречаются в более древних отложениях, а пыльца сосновых, березы и вереска отличается от пыльцы этих растений в современных отложениях. В пределах Амуро-Зейской впадины, к западу от поселка листа (Юдин /58/), А.И. Иличной из белогорской свиты получены полные спорово-пыльцевые комплексы, позволяющие уверенно говорить о плюоцен-раннечетвертичном ее возрасте.

Б а з а л т ы, д о л е р и т ы (βN_2+Q_1)_X слагают небольшие покровы, сохранившиеся на вершинах водоразделов в южной части территории листа. Самый крупный из них расположен в Верховье р. Биря. Наиболее широко распространены базальты. Долериты наблюдаются только на северной окраине пос. Архара. Кроме базальтов и долеритов в строении покровов незначительное участие принимают андезито-базальты и андезиты. Встречены они в Междуречье Еракта - Сухуша и на вершине безымянной сопки к северу от пос. Архара.

Базальты представляют собой темно-серые и серые массивные или пористые афторовые, реже мелкопорфировые породы. По минералогическому составу среди них выделяются оливиновые и пироксеновые разности. Структура базальтов интересная, реже мелкопорфировая с интерсертальной структурой основной массы. Пироксеновые

х/ Базальты и долериты (βN_2+Q_1), одновозрастные с белогорской свитой, в стратиграфической колонке на геологической карте не отражены.

базальты состоят из лабрадора № 60-62 (40-60%), авигита и ромбического пироксена (10-30%), магнетита (1-8%) и бурого вулканического стекла (15-30%). В оливиновых разностях вместо пироксена присутствует оливин (10-20%). Долериты, в отличие от базальтов, сильно раскристаллизованы. Внешне это темно-серые до черных массивные поликристаллические мелкозернистые породы с сифитовой, долеритовой и толеитовой структурами. Минеральный состав их следующий (в %): лабрадор - 65-70, авигит и ромбический пироксен - 20-30, магнетит - 2-5 и незначительная примесь сильно ливигитизированного бурого вулканического стекла. Андезито-базальты и андезиты имеют светло-серую окраску, афторовое строение. Структура их гигиалипилитовая, местами вариолитовая и интерсерпетальная. Андезито-базальты состоят из андезина № 40-50 - 50-60%, рудного минерала - 1-2%, единичных чешуйок бурого биотита и вулканического стекла.

На левобережье р. Биря, в ее верховьях, базальтовый покров имеет ступенчатое строение. Каждый уступ представляет собой, по видимому, прелаптрованный в рельфе лавовый поток; по выемкам уступов можно судить о мощности отдельных потоков. Судя по элювиально-делювиальным отложениям, в основании базальтового покрова здесь лежит поток плотных темно-серых афторовых базальтов мощностью около 3 м. выше него на 50 м наблюдается чередование плотных и плотных разностей базальтов. Разрез покрова венчает поток гористых базальтов, слагающих вершину сопки с отметкой 495 м. Мощность базальтового покрова здесь равна 120 м.

Взаимоотношение базальтов с подстилающими породами в коренном залегании наблюдалось в карьере на окраине пос. Архара. Здесь базальты образуют апофизы мощностью 0,3-0,4 м и протяженностью 5-6 м в пески кындинской свиты. Близко контакта с базальтами в песках имеются прослои плотных белесых аргиллитов, возможно оставших таким образом термальным воздействием базальтовой лавы. На южном склоне сопки с карьером в долеритах видна тонкоплитчатая отдельность, ориентированная под углом 40-80°.

Описываемые вулканиты перекрывают сазанковский свиту. Плюцен-раннечетвертичный возраст базальтов и долеритов установлен на том основании, что на территории листа №-52-XXX в тuffогенно-осадочных породах, залегающих в нижних и средних горизонтах базальтового покрова, Т.Г. Басаковой /15/ в 1962 г. обнаружены плюценовые растительные остатки, в то время, как базальтовое плюдо здесь расчленено речным долинами, в которых развиты среднечетвертичные отложения IV террасы. Абсолютный возраст андезито-

9 млн. лет. Взаимоотношение базальтов и долеритов с белогорской свитой неясно. По мнению А.П. Сорокина /52/, на смежном с юга листе формирование базальтов и белогорской свиты происходило одновременно, но, по-видимому, в различных структурно-фацальных зонах.

ЧЕТВЕРТИЧНАЯ СИСТЕМА

Среднечетвертичные отложения

Нижняя часть (¹ Q_{T1})

Отложения нижней части среднечетвертичного времени представляют переслаивающиеся песками, глинами и галечниками. Залегают они на поколе — скульптурно-аккумулятивной надпойменной террасе р.Бурей и ГУ — р.Архары. Мощность рассматриваемых отложений возле пос. Татакан более 10 м, а на левобережье р.Архары, ниже д. Грибовки, судя по скважинам 26 и 32, пробуренным В.Г. Варнаковым /21/, составляет 37,4 и 37,9 м. Галечники средней окатанности содержат мелкую гальку (15–20%), средней — (30–35%), крупной — (40–45%), валуны, размером 15–20 см, — 5–7%. Валуны состоят из гранитоидов и гнейсов, а в тальке встречаются еще кремнистые сланцы, кварц, кислые эфузивы, алевролиты.

В долине р.Архары, возле деревень Еракта и Черноберезовка, верхняя часть описываемых отложений, вскрыта шурфами на глубине 1,6–2,5 м от поверхности под верхнечетвертичным аллювием, и обнаженная в поколе III надпойменной террасы, представлена черными вязкими слегка лимонитизированными глинами. В нескольких местах в них обнаружен богатый спорово-пыльцевой комплекс. По заключению палеонтолога Л.И. Лукшовой, этот комплекс характеризуется распространением пыльцы березы с преобладанием древесных видов: *Betula Platyrhyncha*, *B. costata*, *B. dahurica*, *Betula* присутствием пыльцы теплолюбивых широколистенных форм *B. pubescens*, *Quercus mongolica*, *Carpinus*, *Ulmus*, *Sirringa amurensis*; подчиненным значением пыльцы хвойных растений. Для него весьма характерно наличие таких видов берез как *Betula albo-sinensis*, *B. chinensis*, *B. shmidtii* и *Betula* sp. Эти виды берез в настоящее время в сибири не произрастают. *Betula shmidtii* растет сейчас на крайнем юге Приморья, а *Betula albo-sinensis* и *Betula chinensis* растут в Китае. В исключении состояния на территории Хабаровского края они встречаются в отложениях не моложе среднечетвертичных. Подобный спорово-пыльцевой спектр был выделен в Вяземском районе, где обнаружены кости *Elaphus trogontherii* Роль. Отложения, содержащие кости слона, определены В.И. Громовой как среднечетвертичные.

Сформированы они в период потепления.

Верхняя часть (² Q_{T1})

К ней относены валуники, галечники, пески и глины, залегающие на поколе ГУ скульптурно-аккумулятивной террасы р.Бурей, высотой 40–45 м. Мощность их 20,3 м. Органических остатков в этих отложениях на площади листа не найдено. Однако к западу от него, на листе М-52-ХХII в аллювиев равновысотной террасы р.Бурей А.И. Маричной были определены спорово-пыльцевые спектры, соответствующие флористическим ассоциациям среднечетвертичного времени /58/. Установлено, что среднечетвертичные аллювиальные отложения залегают на двух террасах, можно полагать, что вторая, более низкая и более молодая сформировалась во второй половине среднечетвертичного времени.

Среднечетвертичные отложения

Нижняя часть (¹ Q_{T2})

Рассматриваемые отложения слагают III надпойменную террасу рек Бурей, Архары и встречаются в верховых некоторых их притоков.

Представлены они галечниками, валуниками, песками, глинами и торфниками. Изучена лишь верхняя часть отложений мощностью 6 м и самые низы разреза. В районе деревень Еракта, Черноберезовка, Николаевка, в долине р.Архары, описываемые отложения, представлены преимущественно песками мелко- и крупнозернистыми и сернистыми глинами с примесью гравия и гальки, в большей или меньшей степени лимонитизированными, залегают на среднечетвертичных отложениях, содержащих болотные спорово-пыльцевые комплексы периода потепления. Самы описываемые отложения здесь также содержат спорово-пыльцевые комплексы, но отличные от вышеуказанных. В верховых крупного левого притока р.Талой залегают торфники мощностью более 1,5 м, которые содержат спорово-пыльцевые комплексы, сходные с таковыми, обнаруженными в глинах III надпойменной террасы в долине р.Архары.

Л.И. Лукшова указывает, что в этих комплексах, так же как и в среднечетвертичном, преобладает пыльца березы, но в отличие от него, пыльца древних берез: *Betula albo-sinensis*, *B. chinensis*, *B. shmidtii* в данных комплексах отсутствует. Теплолюбивые широколистенные формы представлены *Ulmus* sp., *Quercus mongolica*, *Tilia* sp., *Corylus* sp. В значительном количестве присутствуют споры

рода *Sphagnum* sp., Родиодиасеа. Подавляющее количества пыльцы травянистых растений составляют злаки, осоковые, вересковые и, в значительно меньшем количестве, полынь.

Данные спорово-пыльцевые комплексы, по мнению Л.И.Лукашовой, отражают растительность теплого периода, возможно, первой половины позднечетвертичного времени.

Верхняя часть (Q_{II})

В строении верхней части верхнечетвертичных отложений приведено участие галечники, пески, суглинки. Слагают они II надпойменную аккумулятивную террасу рек Бурей и Архары, а также наблюдаются в долинах их многих притоков. Строение этих отложений на глубину 3,1 и 5,7 м изучено в долине р.Архары у пос.Татакан и д.Грибовки. Сложенны они переслаивающимися косослоистыми песками от пильватых до среднезернистых и суглинками с редкими прослойками галечников. Возле д.Грибовка в слое алевритистого песка с лизами лимонизированных песков, установлен спорово-пыльцевой комплекс, по заключению Л.Л.Казачихиной, в общих чертах характерный для современной растительности, но содержащий два зерна *Betula* sp. встречающейся только в ископаемых спектрах. Подобные пески, часто переходящие в суглинки, возле деревень Брахта и Черногорьевка имеют мощность до 3,1 м, и перекрывают глины, содержащие богатый спорово-пыльцевой комплекс первой половины позднечетвертичного времени.

В долине р.Бурей аллювий II надпойменной террасы представлен преимущественно песками. Возле д.Кулустай на Задимке они содержат белые спорово-пыльцевые комплексы четвертичной растительности, иногда с незначительной примесью, явно переотложенных пыльцы и спор раннемелового возраста. Залегают они на более плотных мелкозернистых желтовато-серых слюдистых песках, содержащих, по мнению П.И.Батюккой, богатый спорово-пыльцевой комплекс раннемеловой расщепленности.

Возраст аллювия II надпойменной террасы устанавливается путем сопоставления с равновысотными террасами на сопредельных территориях /52/X/, /58/, которые содержат спорово-пыльцевые комплексы умеренно-холоднолюбивой растительности, характерные для конца позднечетвертичного времени.

Нижняя часть (Q_{IV})

Отложения нижней части современного возраста представлены галечниками, песками, глинами. Они слагают I надпойменную террасу, установленную почти повсеместно в долинах рек Архары и Бурей и их многочисленных притоков. Мощность их у д.Аркалие-Семеновское, вскрытая скв.169, равна 14 м. Они характеризуются переслаивающимися галечниками, песками. В долине р.Бурей I надпойменная терраса сложена преимущественно песками и глинами. В долинах более мелких рек эти отложения имеют разнообразный lithологический состав. В долинах рек Хары и Гонгора они на глубину 2,2 и 3,4 м. Представлены переслаивающимися разнозернистыми желтыми и бурыми песками с примесью налупнов и гальки. В долине р.Гонгор против устья р.Тыган в них обнаружен белый спорово-пыльцевой комплекс, по мнению Л.И.Лукашовой, характеризующий растительность четвертичного периода. Эти отложения сопоставляются с осадками III надпойменной террасы на листе М-52-ХХII /58/ и I террасы на листе М-52-ХХII /52/. Отложения этих террас считаются низами современных отложений на основании найденных в них спорово-пыльцевых комплексов, а также потому, что к поверхности I террасы на Амуре приурочены почти все стоянки неолитического человека.

Верхняя часть (Q_{IV})

Верхняя часть современных отложений представлена аллювиальными, делювиальными, элювиальными и промывальными осадками. Промывальные и элювиально-делювиальные отложения, представленные глинами, суглинками, дресвой, щебнем, обломками и глинями разных размеров, в виду малой мощности, на геологической карте не отображены. Не показаны на ней также аллювиальные отложения в долинах водотоков ширины менее 0,4 км.

Аллювиальные отложения поймы и русла всех рек района представлены галечниками, песками и глинами. Гусевые отложения крупных рек, как правило, хорошо окатаны, сортированность их плохая. В долинах мелких ручьев и рек, испытывающих глубинную эрозию, окатанность кластического материала и его сортированность хуже. Формирование рассматриваемых отложений происходит и в настоящее время.

Х/ А.П.Сорокин рассматривал террасу на правобережье р.Архары ошибочно сопоставил с террасой Q_{IV}.

ИНТРУЗИВНЫЕ ОБРАЗОВАНИЯ

Около 80% территории листа сложено интрузивными породами преимущественно гранитоидного состава. Среди них отчетливо виднеются пять последовательно сформировавшихся интрузивных комплексов, возраст которых определяется как раннепалеозойский, раннесреднепалеозойский, позднепалеозойский, триасовый и поздненеогеновый. Триасовому и поздненеогенному комплексам присвоены собственные названия: соответственно харинский и ликанский. Следует отметить, что палеозойские и триасовые ^х интрузии в пределах Еурейнского массива распространены весьма широко, а поздненеогенные интрузии комплекса, сформированного в четыре фазы, выделяются впервые. Поздненеогенные щелочные липариты, отнесенные ранее Э.А.Молостовским /38/ к болотчанской свите, выделены как субвулические интрузии.

РАННЕПАЛЕОЗОЙСКИЕ ИНТРУЗИИ

Предполагается, что формирование этих интрузий произошло в две фазы. В первую фазу возникли массивы гранитоидов, а во вторую - массивы габбродиоритов.

Граниты, тнейсо-граниты биотитовые, порфироидные, серые, катаклазированные (tr_{Pz}); гранодиориты, реже кварцевые дилориты ($\text{d}_{\text{tr}}\text{Pz}$) обнаруживают постепенные переходы друг в друга. Они слагают крупное (около 200 км²) тело в низовых рек Беря, Урин, Салкачи, Верх.Илга и сохранились совместно с палеозойскими и верхнепротерозойскими метаморфизованными осадочными и вулканогенными образованиями в крупных останцах кровли среди более молодых интрузивов в верховых рек Сред.Ила, Татакан и в бассейне р.Талая.

Граниты и гранодиориты это средне- до крупнозернистых, частично порфировидные породы серого цвета. В зонах рассланцевания в них проявляется гнейсовидная текстура. Структура пород порфировидная с гранитовой, бластогранитовой, бластокатастасической структурами основной массы. Граниты состоят (в %) из кварца - 25-30, микроклина и микроклин-микроперитита - 40-50, андезина № 32-35 - 20-30, биотита - 5-10. Акцессорные минералы представле-

ны сфеноном, апатитом, цирконом, ортитом, магнетитом, титан-магнетитом, а вторичные - серидитом, хлоритом, эпидотом. Порфировидные выделения сложены калиевым полевым шпатом. Гранодиориты, в отдельности от гранитов, содержат примерно равное количество платиоклаза и калиевого полевого шпата, около 15%, кварца, 10-15% биотита, единичные зерна роговой обманки. Порфировидные выделения в них сложены андезитом. Кварцевые диориты имеют призматическая-вернистую структуру и состоят (в %) из платиоклаза - 50-55, кварца - 6-10, микроклина - 2-10, роговой обманки и биотита - 15-40. Комплекс акцессорных минералов в гранодиоритах и кварцевых диоритах тот же, что и в гранитах, но содержание их гораздо выше. Из вторичных минералов отмечается серидит, хлорит, эпидот. Первичные минералы почти повсеместно в различной степени претерпели катаклизм и последующую пластическую перекристаллизацию. Кильные породы представлены диоритовыми и кварцевыми диоритами порфиритами, микродиоритами (δ_{P}), пегматитами (ρ).

Из элементов-примесей в раннепалеозойских гранитах постоянно присутствуют Ni, Zr, Cu, Pb, Be, Yb, Sr, Sc, Ba; в гранодиоритах находитесь тот же комплекс элементо-примесей кроме Yb. Никакой рудной минерализации в связи с этими гранитоидами не установлено.

Возраст гранитоидов определяется в широких пределах. Они содержат ксенолиты и небольшие остатки раннепротерозойских гнейсов, и прорваны более молодыми интрузиями, включая ранне-среднепалеозойские гранитоиды, абсолютный возраст которых на территориях листов М-52-ХУШ и М-52-ХІХ по валовому калию исчисляется в 250-337 млн. лет /2/ и др. Отсылаемые гранитоиды прослеживаются на территории листа М-52-ХІХ, где рвут породы амурской серии, и на территории листа М-52-ХХХ, где Л.В.Эйрилем /57/ возраст их принимается как раннепалеозойский на основании определений абсолютного возраста биотита из гранитов (379 млн. лет) и из пегматитов (407 млн. лет).

Габбро, дилориты и габбро-диориты, а также амфиболизированные интрузии (v_{Pz}) слагают два небольших массива среди раннепалеозойских гранитоидов в бассейнах рек Бол.Дылы и Верх.Илга. В большинстве случаев они слагают ксенолиты и останцы кровли в более молодых интрузивах. Наиболее широко распространены роговообманковые габбро и диориты. Габбродаиабазы совместно с габро слагают только массив на правобережье р.Бол.Дылы. Описываемые породы постепенно переходят друг в друга. Они характеризуются неравномерно-зернистой структурой, неравномер-

^x/ На ранее изданных картах Хингано-Буреинской серии триасовые интрузии без разделения на фазы датируются как позднепалеозойские (tr_{Pz}).

ным распределением темноцветных компонентов и гнейсовинностью.

Роговообманковые габро это зеленовато-серые среднезернистые, редко крупнозернистые до гигантозернистых породы массивной или полосчатой гнейсовой текстуры. Структура габро-габро-биотитовая, пойкилитовая и габбролая, редко сластиокакластическая с реликтами габбровой. Минеральный состав их следующий (в %): лабрадор № 50-68 - 35-60, буровато-зеленая и бурая обыкновенная роговая обманка - 25-50, биотит - 1-25. Из акцессорных минералов присутствуют сфен, апатит, ильменит, магнетит, пирит, а из вторичных - хлорит, актинолит, эпидот, серпент, карбонаты, редко альбит. В габбро-диабазах, имеющих габбро-диабазовую, участками пойкилитовую структуру, кое-где среди индивидов буровато-зеленой роговой обманки сохранились реликты моноклинного широксена. Это обстоятельство свидетельствует, что бурые и буровато-зеленые обыкновенные роговые обманки в габброродах возникли в процессе амфиболизации широксена. Среди диоритов встречаются кварцевые, чаще всего среднезернистые гнейсовые и мелкозернистые мелрократовые разности. Кварцевые диориты обладают типично-зеленой или призматично-зеленой структурой. Состав они (в %) из андезина № 39-45 - 55-60, обыкновенной зеленой роговой обманки - 10-15, бурового биотита - 6-15, решетчатого микроклина - 5-10 и кварца - 8-15. Из акцессорных минералов в них отмечаются сфен (1-2%), апатит, циркон и рудные минералы (2-3%); из вторичных - хлорит, серпент. В меланократовых диоритах количество кварца не превышает 6%, а роговой обманки поднимается до 40%.

Из жильных пород с габброродами связана лайки диабазовых пород (βт). Никакой рудной минерализации габбророды не несут. Нижняя возрастная граница рассматриваемых пород определяется фактором прорыва ими в бассейне р.Верх.Илги раннепалеозойских гранитоидов. Контакт этих пород четкий. В роговообманковых габброродах по контакту с вмещающими породами отмечены узкая (2-3 см) оторочка габбро-легматитов. Верхняя возрастная граница габброродов устанавливается по наличию их в виде ксенолитов и останцов кровли среди ранне-среднепалеозойских гранитоидов вблизи устья р.Бол.Дичь, а также фактами прорыва их многочисленными жилами этих гранитоидов в зонах их экзоконтакта.

РАННЕ-СРЕДНЕПАЛЕОЗОЙСКИЕ ИГРУЗЫ

Граниты биотитовые, реже дьуслюдильные, серые и светло-серые, мелко-зернистые (gr_1-2). В качестве краевой части этих гран-

итов выделены гранодиориты (gr_2gr_1-2) также мелкозернистые, биотитовые, серые. Эти гранитоиды слагают лесистые массивы площадью 2-50 км² среди раннепалеозойских гранитоидов и установлены в виде останцов кровли в более молодых интузиях. Наиболее крупные массивы гранитов, вытянутые в северо-восточном направлении, расположены в бассейнах рек Верх.Илга, Татакан и т.д. По текстурным особенностям различаются массивные и гнейсированные, катаклазированные разности гранитоидов. Последние обычно дают переходы в гранодиориты. Минеральный состав наиболее распространены граниты биотитовые, реже двуслюдянные. Среди них выделяются лейкократовые и меланократовые разности. Последние обычно дают переходы в гранодиориты. Минеральный состав наибольшее распространены граниты биотитовые, реже двуслюдянные. Среди них выделяются лейкократовые и меланократовые разности. Последние обычно дают переходы в гранодиориты. Минеральный состав лейкократовых гранитов (в %): решетчатый микроклин - 30-50, олигоклаз - 20-40, кварц - 25-35, биотит - 1-7 и 1-3% мусковита в двухслойных разностях. Из вторичных минералов присутствуют серпент и мусковит, замещающий обычно биотит. В двухслойных разностях гранитов весь мусковит, по-видимому, имеет вторичное происхождение. Аксессорные минералы представлены ильменитом, магнетитом, апатитом, цирконом. Количество магнетита составляет 297 г/т. В гранодиоритах количество (в %) микроклина равно 15-30, плагиоклаза - 30-35, кварца - 20-25, биотита - 15-20%. Из акцессорных минералов дополнительно к таковым гранитов отмечается орбит, а из вторичных - минералы из группы эпидота-полизита. Структура гранитов и гранодиоритов гнейсовая, часто аллитированная, гнейсистая, сластиокакластическая; текстура массивная или грубополосчатая сланцеватая. Контакты олигократовых гранитоидов с вмещающими их образованиями четкие. В подошвенных наблюдаются слабое окварцевание. В генетической связи с ними из жильных пород установлены граниты и гранит-порфиды (gr), фельзиты и фельзит-порфиды (gr), легматиты (gr), дикабазы и дикабазовые порфириты (gr). Наиболее широко распространены лайки мелкозернистых гранитов, приуроченные, главным образом, к зонам экзоконтактов массивов.

По химическому составу лейкократовые граниты близки к альбитским, по Р.Ээли, отличаясь от них лишь несколько большим количеством темноцветных компонентов (табл. I, 2). По элементам-при微量元素 они сходны с раннепалеозойскими гранитами. Рудной минералезации породы эти не несут.

Возраст описываемых гранитоидов определяется тем, что они прорывают раннепалеозойские гранитоиды (низы р.Верх.Илги), а сами прорываются позднепалеозойскими гранитами (правый берег

Таблица I

горных пород

Химический состав

№/П	№ образ- ца	Порода	Содержание,							вес. %									
			Возра- стной индекс на карте	S10 ₂	T10 ₂	Al ₂ O ₃	Fe ₂ O ₃	FeO	MgO	MgO	CaO	Na ₂ O	K ₂ O	F ₂ O ₅	SiO ₃	CO ₂	H ₂ O	Сумма	H ₂ O ⁻
I	2	3	4	5	6	7	8	9	0,03	2,65	6,45	4,04	2,81	0,56	0,00	0,00	1,02	99,19	0,00
1	K-101-83	Андеято-базальт	P2+Q1	57,17	1,31	15,45	3,64	4,06	0,04	0,31	0,32	4,06	4,51	0,10	0,01	0,26	0,00	100,12	0,45
2	6330	Шелончий липарит	μελ ₂	76,17	0,14	11,47	1,71	0,93	0,05	0,74	1,43	3,60	4,40	0,09	0,00	0,11	0,38	100,01	0,00
3	1618	Гранит	γ ₁ γ ₁	71,94	0,29	14,48	0,66	1,84	0,05	0,64	2,08	3,67	4,22	0,09	0,00	0,05	0,61	99,60	0,00
4	K-530	Гранит	γPz ₁	71,12	0,34	14,38	1,07	1,28	0,09	2,11	3,47	2,97	2,54	0,16	0,00	0,01	1,20	99,49	0,00
5	K-508-26	Кварцевый диорит	γ ₁ Pz ₁	65,61	0,66	15,95	2,57	2,15	0,13	6,17	9,54	2,20	1,44	0,13	0,40	0,41	1,30	99,51	0,00
6	4730-2	Габбро	γPz ₁	43,74	2,20	17,60	6,80	7,45	0,03	0,42	1,35	3,70	4,33	0,03	0,00	0,00	0,42	99,58	0,00
7	1580	Гранит	γ ₁ Pz ₁ -2	73,34	0,14	14,74	0,30	0,78	0,06	0,35	1,39	3,46	4,06	0,05	0,00	0,01	0,09	99,08	0,00
8	4748	Гранит	γ ₂ Pz ₁ -2	73,72	0,16	13,38	1,11	1,24	0,06	0,96	1,49	2,89	4,00	0,01	0,01	0,14	0,00	99,02	0,00
9	4452	Гранит	γ ₂ Pz ₁ -2	75,53	0,11	12,51	0,42	0,89	0,06	0,80	2,34	3,78	3,41	0,08	0,00	0,00	0,42	99,88	0,00
10	121	Гранит	γ ₁ Pz ₃	72,04	0,26	13,82	1,08	1,79	0,06	0,55	1,45	3,54	4,31	0,08	0,01	0,06	0,35	99,87	0,00
II	K-801-6	Гранит	γ ₁ Pz ₃	73,56	0,32	12,84	1,25	1,49	0,11	2,60	4,54	4,00	2,70	0,14	0,00	0,07	0,95	100,55	0,00
12	5352	Кварцевый диорит	γ ₂ Pz ₃	64,53	0,64	14,46	2,40	3,41	0,12	2,49	3,78	2,39	2,88	0,10	0,00	0,07	0,47	99,54	0,01
13	4033	Гранодиорит	γ ₁ Pz ₃	67,80	0,60	13,53	2,24	3,07	0,08	0,45	1,53	3,96	6,42	0,11	0,00	0,09	0,24	99,72	0,08
14	1203-I	Кв. сиенит	γ ₂ Pz ₃	66,87	0,42	15,97	0,87	2,71	0,03	0,38	0,20	3,81	4,33	0,03	0,00	0,00	0,69	99,63	0,00
15	K-II5-6	Гранит лейкократо- вый, биотитовый	γ ₁ T	75,50	0,14	12,80	1,02	0,70	0,07	0,55	1,14	4,11	4,34	0,05	0,00	0,00	0,50	99,31	0,00
16	K-150	То же	γ ₁ T	72,41	0,21	14,21	0,72	1,00	0,05	0,40	0,72	4,70	4,59	0,01	0,00	0,00	0,41	100,00	0,00
17	II80	Гранит амфилите- вый	γ ₁ T	75,30	0,10	12,48	0,08	1,16	0,06	2,28	4,24	4,02	2,42	0,15	0,00	0,00	0,40	99,41	0,00
18	II78	Гранодиорит	γ ₁ T	65,29	0,54	15,71	1,86	2,44	0,05	0,43	1,20	4,02	4,45	0,02	0,00	0,00	0,17	99,62	0,00
19	1214	Гранит рогово- обманково-биоти- товый	γ ₁ T	72,32	0,21	13,80	1,72	1,23	0,05	0,28	1,08	3,59	4,17	0,04	0,00	0,04	0,98	99,48	0,00
20	K-704-5	Гранит роговооб- манково-биоти- товый	γ ₁ T	73,71	0,16	13,26	1,30	0,82	0,05	0,56	0,86	4,34	4,37	0,03	0,00	0,00	0,20	99,84	0,00
21	1510	Гранит равномер- пограничный с темным кварцем	γ ₁ T	73,60	0,16	13,57	0,90	1,20	0,06	0,56	0,86	4,34	4,37	0,03	0,02	0,36	0,08	99,67	0,00
22	6231	To же	γ ₁ T	74,84	0,15	12,98	0,53	1,11	0,06	0,39	0,62	4,00	4,50	0,03	0,02	0,36	0,08	99,67	0,00

Продолжение табл. I

I	2	3	4	5	6	7	8	9
23	6647	Гранит розовый— розовистый с темно- красным кварцем	т ₁ T	76,64	0,06	12,53	0,50	0,94
24	K-145	Гранит розовый	т ₂ T	76,22	0,09	12,31	0,81	0,69
25	1166	То же	т ₂ T	76,77	0,04	12,04	0,84	0,71
26	K-812	Гранит розово- желтый	т ₂ T	75,86	0,15	11,68	1,55	0,44
27	3226	То же	т ₂ T	75,15	0,10	12,50	1,03	0,59
28	6647-1	Гранит—порфир	т ₁ T	75,65	0,10	12,50	0,21	1,12
29	6061	Гранит	т ₂ J	72,55	0,13	15,15	0,05	1,21
30	6074	Гранит	т ₂ J	73,08	0,14	14,73	0,02	1,42
31	8623	Таббрю-норит	т ₂ J	46,03	0,98	18,79	3,05	5,92
32	6271	Гранит	т ₃ J	73,54	0,17	13,60	0,72	1,16
33	7883	Гранодиорит	т ₁ J	66,0	0,48	17,19	0,47	2,05

IO	II	I2	I3	14	15	16	17	18	19	20
0,02	0,29	0,44	3,73	4,23	0,02	0,01	0,32	0,15	100,01	0,00
0,03	0,29	0,36	3,54	5,08	0,01	0,00	0,00	0,55	99,98	0,00
0,04	0,27	0,48	3,82	4,66	0,00	0,00	0,00	0,31	99,98	0,00
0,06	0,10	0,46	3,84	4,71	0,02	0,00	0,11	0,51	99,49	0,00
0,05	0,25	0,55	4,21	4,42	0,00	0,01	0,05	0,21	99,12	0,00
0,04	0,35	0,70	3,33	4,85	0,01	0,00	0,36	0,47	99,69	0,00
0,04	0,29	1,65	4,16	3,95	0,08	0,01	0,23	0,00	99,50	0,00
0,05	0,25	1,33	4,30	4,06	0,07	0,00	0,15	0,09	99,69	0,02
0,11	8,43	14,60	1,46	0,36	0,05	0,24	0,00	0,39	100,41	0,00
0,02	0,84	1,19	3,60	4,70	0,06	0,01	0,42	0,14	100,17	0,00
0,05	0,98	3,56	4,71	3,16	0,01	0,2	0,33	0,49	99,68	0,16

Таблица 2

Числовые характеристики

горных пород по А.Н.Заварыкому

№ п/п	№ обрез- па	Место взятия образца	а	с	с̄	в	г	Числовые характеристики											
								9	10	II	I2	I3	I4	I5	I6	I7	Коэффи- циент аптант- ности		
1	2	3	4	5	6	7	8												
1	K-101-63	Река Брахта	12,92	4,08	0,00	15,62	57,37	0,00	25,09	45,63	29,28	70,17	1,69	20,31	3,16	4,81	0,53		
2	6330	Река Бурея	19,04	1,33	0,00	6,04	73,59	30,79	0,00	15,91	61,48	22,60	60,08	0,65	38,47	17,33	7,77	0,81	
3	1618	Река Татакан	13,85	1,68	0,00	5,05	79,41	0,00	45,20	24,01	55,42	0,30	10,82	8,22	29,43	0,61			
4	K-530	Река Верх.Инга	14,04	2,50	0,00	3,23	80,23	0,00	66,78	33,21	56,92	0,36	28,04	5,61	29,87	0,61			
5	K-503-26	To же	10,20	4,22	0,00	10,57	75,01	0,00	40,84	33,74	63,99	0,75	20,75	2,42	25,39	0,37			
6	4730-2	Река Тонтор	7,41	8,88	0,00	28,58	55,12	0,00	48,63	39,05	69,89	3,64	21,74	0,83	13,45	0,22			
7	1580	Река Верх.Инга	13,96	1,59	0,00	3,65	80,80	53,90	0,00	27,22	18,88	56,49	0,14	6,81	8,77	32,09	0,61		
8	4748	Река Ахара	13,12	1,64	0,00	3,70	81,54	27,09	0,00	57,34	15,56	56,43	0,16	24,95	7,98	35,19	0,63		
9	4452	Река Верх.Инга	11,72	1,75	0,00	3,71	82,82	25,06	0,00	32,75	42,20	52,33	0,11	9,32	6,71	40,43	0,58		
10	121	Устье р.Джельмен	12,97	2,56	0,00	4,17	80,29	0,00	5,33	62,88	31,78	62,75	0,27	21,67	5,06	32,08	0,61		
11	K-801-6	Река Хара	13,61	1,53	0,00	3,55	81,31	0,00	5,14	69,42	25,44	55,52	0,32	29,20	8,91	33,87	0,71		
12	5352	Река Тонтор	12,48	3,26	0,00	11,77	72,49	0,00	18,37	44,95	36,68	69,24	0,73	17,10	3,83	16,76	0,57		
13	4033	Река Хара	9,36	4,31	0,00	9,35	76,93	0,00	2,76	52,49	44,76	55,74	0,66	20,32	2,17	30,02	0,38		
14	I203-I	Река Баря	18,0	1,70	0,00	4,30	76,10	47,39	0,00	4,20	78,30	17,60	48,40	0,40	17,40	10,70	14,50	0,72	
15	K-II5-6	Верховье р.Баря	13,96	0,23	0,00	4,00	81,81	26,30	0,00	46,92	26,78	59,0	0,22	17,7	11,06	29,41	0,71		
16	K-150	"	14,94	1,35	0,00	3,39	80,32	0,00	29,57	47,68	22,81	60,20	0,10	8,99	57,88	30,27	1,03		
17	II08	"	15,82	0,00	0,27	2,81	81,09	0,00	9,50	45,85	44,65	71,62	0,62	18,40	2,85	20,26	0,50		
18	II178	"	12,36	4,34	0,00	8,64	74,56	7,03	0,00	73,14	19,82	57,85	0,22	40,05	10,48	29,06	0,74		
19	1214	"	14,88	1,42	0,00	3,57	80,10	32,85	0,00	53,95	13,20	56,68	0,16	30,95	10,61	34,90	0,67		
20	K-704-5	Река Баря	13,57	1,28	0,00	3,49	81,65	6,32	0,00	65,39	23,29	60,14	0,16	25,72	15,18	29,92	0,81		
21	1510	Сопка Синяя	15,32	1,01	0,00	2,88	80,78	19,6	0,0	5,65	23,9	5,75	0,2	16,4	20,3	33,6	0,81		
22	6231	Река Баря	14,7	0,7	0,0	2,7	81,9	39,1	0,0	44,5	16,3	55,5	0,1	14,2	27,1	37,5	0,79		
23	6647	Река Хара	13,8	0,5	0,0	2,9	82,8	19,48	0,00	59,35	21,17	51,43	0,00	29,87	34,59	36,36	0,85		
24	K-145	Река Баря	14,49	0,42	0,0	2,22	82,88	0,00	5,55	75,64	18,80	55,47	0,04	37,98	31,65	37,15	0,90		
25	II66	Река Урин	14,47	0,46	0,0	1,80	83,27	0,00	16,17	76,62	7,20	55,33	0,15	55,40	84,94	36,28	0,56		
26	K-812	Река Хара	14,67	0,17	0,00	1,26	82,90	0,00	6,72	72,63	20,65	59,14	0,10	42,97	29,48	34,07	0,90		
27	3226	To же	15,11	0,51	0,00	1,98	82,40												

Продолжение табл. 2

I	2	3	4	5	6	7	8	9	10	II	12	13	14	15	16	17	18
28	6647-I	Река Хара	13,8	0,8	0,00	2,5	82,9	26,5	0,00	50,3	23,3	51,1	0,1	7,0	16,9	3,73	0,76
29	606I	Река Буган	14,5I	1,96	0,00	3,03	80,50	44,63	0,00	39,56	15,80	61,54	0,13	1,38	7,71	30,01	0,63
30	6074	Водоотдел рр.Буган и Дикан	14,89	1,57	0,00	2,88	80,57	38,22	0,00	47,54	14,24	61,68	0,14	0,58	9,48	29,97	0,68
31	8623	Река Тавая	3,8	11,0	0,00	30,5	54,6	0,00	24,0	28,0	48,0	86,0	1,6	8,8	0,3	9,5	0,13
32	627I	Левобереже р.Бурен	14,2	1,4	0,00	3,6	80,0	15,5	0,0	46,5	38,1	53,8	0,2	16,5	10,2	31,7	0,70
33	7883	Река Дикан	15,I	4,1	0,00	4,4	76,4	0,00	6,9	55,0	38,1	69,4	0,5	9,2	3,7	18,4	0,56

Данные определения абсолютного возраста

горных пород (коллекция Осиповой /43/)

Таблица 3

п/п	# образца	Порода	Место взятия образца	Возрастной индекс на карте	Результаты определения							
					В лаборатории ДГГУ				По синтету			
					По валовому камню	по ониксу	по синтету	по синтету (во всем)	по валовому камню	по ониксу	по синтету	по синтету (во всем)
1	121	Гранит	Устье р.Лежемен	1 ₁ PZ ₃	156	2,96	32,0	0,0089	250	6,44	115,0	0,0147
2	4033	Гранодиорит	Река Хара	1 ₆ PZ ₃	168	2,76	32,6	0,0097	231	6,35	105,0	0,0135
3	5352	Кварцевый диорит	Река Тонтор	1 ₈ PZ ₃	149	2,56	36,7	0,0086	164	5,82	67,6	0,0095
4	1108	Гранит	Река Баря	1 ₁ T	173±4	3,96	49,6	0,0103 0,0097	231±8	6,65	110,7	0,0137
5	1178	Гранодиорит	То же	1 ₁ T	165	3,67	42,5	0,0048	190	4,93	66,7	0,011
6	K-151	Гранит	Река Хара	1 ₁ T	166	3,68	43,0	0,0096				
7	K-150	Гранит	"	1 ₁ T	173	3,66	45,0	0,0103				
8	1166-I	Гранит	"	1 ₂ T	170-	3,64	46,6-	0,0105- 0,0111				
9	K-813	Гранит	Река Хара	1 ₂ T	192	49,6	0,0111					
10	6647-I	Гранит-порфир	"	1 ₂ T	155	3,78	40,8	0,00888				
11	8623	Габбро-норит	Река Тамя	1 ₁ T	188	3,93	54,5	0,011				
12	6061	Гранит	Верховье р.Татакан	1 ₂ J	148	0,21	2,2	0,0085				
13	6074	Гранит	"	1 ₂ J	132±3	3,22	30,7	0,00772 0,00736				
14	6280	Гранит	Левобережье р.Бурен	1 ₃ J	130±4,5	3,26	31,0	0,00780 0,00718				
15	6330	Лимпарат	Река Бурен	μελκ ₂	126	3,92	34,6	0,0075				
16	6330-2	Лимпарат	"	μελκ ₂	77	3,77	1,6	0,00035				
17	K-101-83	Англезито-базальт	Река Сухума	βN ₂ +Q ₁	95	3,64	24,0	0,00542				
					2,59	1,75	0,00055					

р.Архары, ниже устья р.Бол.Дыны), абсолютный возраст которых по биотиту (табл.3, обр.121) равен 250 млн. лет. На соседних терри- ториях определения абсолютного возраста аналогичных гранитов да- ют разноречивые цифры - от 250 до 337 млн. лет, учитывая вышеиз-ложенное, возраст гранитоидов определяется в широких пределах как ранне-среднепалеозойский.

ПОЗДНЕПАЛЕОЗОЙСКИЕ ИНТРУЗИИ

Внедрение позднепалеозойских интрузий на территории листа М-52-ХIII происходило в две фазы. В первую, более раннюю разу сформировались интрузивы существенно гранодиоритового состава, а во вторую - гранитные интрузивы.

Гранодиориты, кварцевые диориты роговообманково-биотитовые, среднеракушинозернистые, редко полированые, серные, часто гнейсовые иные ($\text{t}_{\text{g}}\text{PZ}_3$); граниты тнейсовые, роговообманково-биотитовые, среднеракушинозернистые, частично порфиро-блестищеские, розовато-серые (t_{PZ}_3) и кварцевые сиениты ($\text{t}_{\text{g}}\text{PZ}_3$) слагают крупный Гонгорский массив, расположенный в дессине р.Гонгера и на пра-вобережье р.Архары, и уходящий за территорию листа Х. Площадь его в пределах территории листа около 750 km^2 . Небольшой массив описываемых пород установлен в низовьях р.Верх.Иши, где он перекрыт в значительной мере паганскими отложениями. Кроме того, эти породы в виде остатков кровли присутствуют среди более молодых интузивов преимущественно в северо-западной части площа-диста. Наиболее широко среди рассматриваемых пород распространены гранодиориты, в меньшей мере кварцевые диориты, граниты, и весьма редко встречаются кварцевые сиениты. Для всех пород, кроме кварцевых сиенитов, характерно наличие мелких ксенолитов ос-новного и среднего состава, имеющих пирамидальную форму, а также плоско-параллельной текстуры течения, обусловленной параллельным расположением кристаллов роговой обманки, пластинок биотита и порфировидных выделений, повышенное количество темноцветных ком-понентов и присутствие среди акцессорных минералов крупных (до

2-3 мм) кристаллов сфена. Минеральный состав гранодиоритов следующий (в %): микроклин решетчатый и нерешетчатый - 10-20, анде-зин № 30-49 - 40-45, кварц - 20-25, биотит - 8-10, роговая об-манка - 2-10. Кварцевые диориты отличаются от гранодиоритов меньшим количеством микроклина - 5-10, и кварца - 10-15, большим ко-личеством роговой обманки и биотита - 20-25. Граниты состоят (в %) из микроклина - 25-35, андезина - 35-40, кварца - 25-30, биотита - 2-10, единичных кристаллов зелено-роговой обманки.

Структура этих город гипидиоморфозернистая гранитовая. В порфи-ровидных разностях - она порфировидная с гранитовой, чаще сред-незернистой, структурой основной массы. Текстура массивная или плоско-параллельная. Из вторичных минералов присутствуют серпентин, хлорит, эпилом. Аксессорные минералы представлены сферулом, апатитом, цирконом, магнетитом, орбитом, редко (в гранитах) монацитом.

Вообще для комплекса акцессорных минералов, судя по составу тя-желой фракции протолочек описываемых гранитоидов, свойственно высокое повсеместное наличие сфена, апатита, орбита и циркона; высокое (134-2219 г/т) содержание магнетита; наличие рудных ми-нералов: золота, молибдена, висмутина, ферриосонита; отсутствие флюорита, темигита, ильменита, характерных для других интрузив-ных комплексов.

Катаклизиранные разности гранитов, реже гранодиоритов подверглись в большей или меньшей степени кремне-кальевому мета-соматозу. В них количество микроклина увеличивается до 50-60%, а количество шпатоклаза соответственно уменьшается до 15-25%. Со-держание темноцветных компонентов остается без изменения. Струк-тура таких гранитов бластогранитовая, участками бластокатаклисти-ческая или порфиробластическая. Наиболее интенсивно кремне-калие-вый метасоматоз проявлен в зонах разломов. С удалением от них количество порфиробласт микроклина в породе резко уменьшается и наблюдаются постепенные переходы гранитов в гранодиориты.

Кварцевые сиениты установлены на трех разобщенных участках. Один из них, площадью около 70 km^2 , расположен в южной части Гонгорского массива, второй - на левобережье р.Биря, а третий находитя в низовьях р.Кары. Кварцевые сиениты являются лейкократо-выми породами светло-серого и желтовато-серого цвета. Структура их гипидиоморфозернистая, участками бластокатаклистическая (це-ментная). Минеральный состав кварцевых сиенитов следующий (в %): микроклин-микропертит - 55-70, олигоклаз - 5-30, кварц - 5-10, субшелочной амфиболит рибекит - 5-10, единичные пластинки биоти-та. Аксессорные минералы: апатит, циркон, орбит, монацит, магне-

X/На простирации этих гранитоидов, частично перекрытых бель-торской свитой, В.А.Кашковский /6/ на листе М-52-ХIII показал Урильскую свиту, которая автором записи при картировании не ус-тановлена.

С описываемыми гранитоидами из жильных пород генетически связаны немногочисленные лайки дабазовых порфиритов ($\beta\pi$), гранодиоритов и гранодиорит-порфиров ($\gamma\pi$), кварцевых диоритов ($\delta\pi$) и жилья сладо дифференцированных пегматитов (ρ), залегающие как в самих массивах, так и в зонах их экзоконтактов.

Вмещающими породами для этих гранитоидов являются раннепалеозойские и ранне-среднепалеозойские интрузивы, а также гнейсы туловчихинской свиты и среднедевонские? вулканогенно-терригенные образования. Замеры первичной полосчатости в породах Тюнторского массива указывают на его сложное, скорее всего, лакколитообразное строение. Обилие ксенолитов и останцов кровли свидетельствует о сравнительно нетрубковой его эродированности.

По химическому составу гранодиориты близки к тоналиту, а кварцевые сиениты — к щелочному сиениту, по Р.Дэли (табл. I и 2).

Описываемые гранитоиды относятся к пломазитовому комплексу (коэффициент агапитности в большинстве разновидностей равен 0,56-0,71), благоприятному для образования метасоматических рудных концентраций редких элементов. От других гранитоидов района они отличаются набором элементов-примесей. Для них характерно наличие Ni , Co , Cu , Pb , Zn , Sn , Sc и отсутствие Va , встречающегося повсеместно в более ранних и поздних гранитоидах. С позднелейкозитовыми гранитоидами первой фазы связана золотая и tantalомиобиевая минерализация.

Граниты роговообманково-биотитовые, крупнозернистые, с вкраплением сферулитов ($\gamma_1\pi\gamma_3$) слагают несколько массивов площадью от 1 до 150 км², которые в виде пепочки прослеживаются в северо-восточном направлении от устья р.Алтон на севере до устья р.Джельмен на юге. Строение массивов однородное, без краевых фаций. Изредка (вблизи устья р.Урин) в них видны плоско-параллельные текстуры течения. Обычно это массивные породы с гипидиоморфозернистой гранитовой или порфировидной структурой. Они состоят (в %) из слабо пертитизированного решетчатого и нерешетчатого микроклина — 35-40, олигоклаза и андезина — 30-35, кварца — 25-30, биотита — 1-7, роговой обманки — до 0,5. Из акцессорных минералов встречаются апатит, циркон, сфеен, ортит, магнетит, а из вторичных — серцит, хлорит, эпидот. Лейкократовые разности гранитов, содержащие до 1-3% темноцветных компонентов, встречаются редко. Они весьма сходны с подобными гранитами, слагающими Харинский интрузивный массив. Вмещающими породами для описываемых гранитов служат раннелейкозитовые, ранне-среднепалеозойские интрузивные породы и

гранитоиды первой фазы позднепалеозойского комплекса. Эргулитовый контакт с последними наблюдался в долине р.Тюнтор. Из кильных пород с рассматриваемыми гранитами генетически связаны лишь единичные жилья амбитусов и пегматитов (ρ) и гранитов ($\gamma\pi$).

К позднему палеозою описываемые гранитоиды отнесены на том основании, что на территории листа М-52-ХIII, в бассейне р.Талой, они рвут и контактируют среднедевонские (?) вулканогенные образования, на правобережье р.Архары, ниже устья р.Бол. Дичь, рвут ранне-среднепалеозойские гранитоиды, а сами в низовых р.Хари прорваны гранитами харинского комплекса. Абсолютный возраст рассматриваемых гранитоидов без видимых следов кремне-калиевого метасоматоза, определенный по биотиту, исчисляется в 230-250 млн. лет (табл.3).

МЕСТОВЫЕ ИНТРУЗИИ

Местовые интрузии (харинский комплекс) сконцентрированы в две фазы. В первую, основную fazu, произошло внедрение средне- и крупнозернистых, преимущественно лейкократовых гранитов. Во вторую заключительную fazu, сформировались мелкие массивы неравномерно-зернистых мелкозернистых, также лейкократовых гранитов. Формирование трасовых интрузий завершилось внедрением комплекса жильных образований.

Граниты биотитовые лейкократовые, доломитовые, среднебиотитовые, розововатые, с вкраплением кристаллической сростки с темными кварцем (γ_1T) слагают пять небольших массивов в центральной части исследованной территории и два более крупных массива по ее краям. Один из этих массивов расположен на левобережье р.Бурей, а второй, известный в литературе под названием Харинского, протягивается через всю площадь листа вдоль восточной его границы и прослеживается, по данным В.А.Кашковского /6/, далеко на северо-восток за его пределы. На территории листа обнажена лишь юго-западная часть этого массива площадью около 800 км². Северо-западная часть массива сложена лейкократовыми биотитовыми гранитами. В верховых рек Урин и Биря эти граниты местами содержат единичные зерна роговой обманки и постепенно переходит в гранодиориты. Последние встречаются спорадически. В междууречье Урин и Бол.Дицы, а также в дас-сайле р.Салокач на расстоянии 3-5 км от границ терриории листа биотитовые лейкократовые граниты постепенно переходят в аляс-

китовые ярко-розовые граниты со светло-серым, слегка голубоватым кварцем, образуяшие порфировидные выделения округлой формы.

Структура гранитов гипсоморфозернистая гранитовая или порфировидная с гранитовой или неоднородной (гранитовой, гранулированной, пегматитовой) структурой основной массы. Участки с пегматитовой структурой, чаще всего, встречаются в амбикитовых гранитах. Минеральный состав биотитовых гранитов следующий (в %):

решетчатый и нерешетчатый микроклин в различной степени пертитизированный – 30–40, андезин № 31–34, олигоклаз № 11–16, редко альбит № 8–10 – 20–35, кварц – 25–35, биотит – 0,5–5, единичные зерна акцессорных минералов, представленных пирокном, апатитом, магнетитом (до 96 г/т), сульфидами, редко сфеном и ортитом. Из вторичных минералов в незначительном количестве и неповсеместно присутствуют хлорит, серпентит. Для южной части Харинского массива весьма характерна пелитизация полевых шпатов. Амбикитовые разности биотитовых гранитов имеют сходный минеральный состав. В них биотит практически отсутствует. В гранитах, в которых кроме биотита среди темноветальных компонентов присутствует обыкновенная роговая обманка, количество темноветальных минералов составляет 5–10%. Из акцессорных минералов в них постоянно наблюдаются циркон, апатит, сфен, магнетит, ортит. В грандиоритах количество микроклина уменьшается до 15–20%, а кварца – до 20–25%, шпато-класса становится больше (45–50%), количество биотита и роговой обманки не опускается ниже 10%, причем биотит заметно преобладает.

Равномернозернистые лейкократовые фации гранитов с темным, почти черным кварцем имеют обычно желтовато-розовый цвет. Они за-легают как совместно с другими разностями гранитов, так и слагают самостоятельные массивы. Площадь этих гранитов длиной 35 км, шириной от 5 до 15 км, закартированная внутри Харинского массива от р. Бол. Дылы до р. Хары, уходит за пределы района. Эти граниты в бассейне р. Хары в 1946 г. Л. В. Саватеевым /44/ впервые выделены и названы харинскими. Сейчас под харинскими понимаются все разновидности гранитов, слагающие Харинский массив. В коренном залегании контакт между равномернозернистыми гранитами с темным кварцем и вышеописанными лейкократовыми, часто порфировидными харинскими гранитами никем не наблюдался. В долине р. Хары выше гидрометеорной станции Хара контакт между ними тектонический. Минеральный состав этих гранитов следующий (в %): микроклин решетчатый, реже перешетчатый, в различной степени пертизированенный – 30–55, пегматоклаз (альбит № 8–9, олигоклаз № 25–28 и андезин № 31–35) –

25–40, кварц – 25–40, биотит – 0,5–2, единичные кристаллы рогово-вой обманки. Акцессорные минералы – пирокон, ксенотим, монацит, апатит, сфен, ортит, магнетит (от 180 до 430 г/т), сульфиды, гематит. Из вторичных – отмечаются серпентит, хлорит, мусковит, эпидот. Структура гранитов – гранитовая, иногда слабо порфировидная с гранитовой, гранулитовой и пойкилитовой структурами основной массы.

Генетически с гранитами первой фазы связаны жилы аplitов и пегматитов (P_1), кварца (q), редко грандиорит-порфиров ($\Gamma\delta P$). АPLITЫ и АPLITЫ встречаются чаще среди розовых амбикитовых гранитов. Одно из полей пегматитов расположено на востоке площади листа в междууречье Салокачи – Большой Дылы, другое – вблизи юго-восточного контакта Харинского массива в бассейне р. Быря. Пегматиты крупнобобковые, дифференцированные, розового цвета. Они образуют мелкие (десятка квадратных сантиметров) гнезда неправильной, линзовидной или столбовобразной формы, а также маломощные (до 0,3 м) жилы. Центральная часть гнезд часто сложена дымчатым кварцем. Иногда наблюдаются полости с мелкими друзами мориона. Пегматиты из междууречья Салокачи – Большой Дылы содержат пироклор, эвксенит, фергосонит. АPLITЫ наблюдаются в виде маломощных (0,1–1 м), иногда ветвящихся или сложно-построенных жил (аплито-пегматитов). Кварцевые жилы мощностью в несколько сантиметров встречаются повсеместно, но в трех местах в южной части Харинского массива установлены крупные жилы, длиной в несколько сотен метров и мощностью в несколько метров. Сложенны они тонкозернистым беззурным кварцем с прожилками крупнозернистого шестоватого кварца. Дайки грандиорит-порфиров встречены на левобережье р. Дыдана.

Вмещающими породами для рассматриваемых гранитов являются палеозойские гранитоиды, а также протерозойские метаморфические и метаморфизованные образования, вулканиты и терригенные породы среднего девона (?). Эрозионный контакт гранитов наблюдался только с позднепалеозойскими гранитоидами на левом берегу р. Хары ниже гидроэлектростанции Хара. Плоскость контакта здесь падает на северо-запад (320°) под углом 85° и срезает под острым углом гнейсовидность в позднепалеозойских гранитах. Последние на контакте с харинскими гранитами катаклизированы и слегка окварцованны. Конкременты харинских гранитов с пермскими (?), среднедевонскими (?) породами и мельгинской свитой тектонически. Однако в этих образованих наблюдаются интенсивные контактные изменения. Так, по мраморизованным известнякам мельгинской свиты в районе сопки Морская и в истоках р. Буган образовались тромолит-диопсидовые скар-

ны; по пестичникам и алевролитам среднего левона (?) кордиерит-

альбитовые, кварц-биотитовые, биотиг-пироксеновые роговики. Сред-

недевонские (?) и пермские (?) вулканиты под воздействием харин-

ских гранитов первой фазы внедрения в различной степени окварци-

ваны, перекристаллизованы, а первые местами турмалинизированы.

Транситы биотитовые лейкократовые, не разномерно-

зренные мелкозернистые, же лто-за-

то-розовые и розовые (I_{2}T) слагают небольшие

массивы, расположенные среди харинских гранитов основной фазы.

Среди них выделяются две разновидности: неравномернозернистые

мелкозернистые розовые граниты часто с пегматитовыми структура-

ми и неравномернозернистые мелкозернистые граниты желтовато-ро-

зовые с окрутыми зернами кварца и глимеровидными скоплениями по-

левых шпатов и кварца. Первые граниты слагают лесть массивов,

расположенных в бассейнах рек Биря и Урин. Эти массивы, по-види-

мому, являются сателлитами крупного гранитного интрузива, еще

слабо вскрытого эрозией, который прорывает харинские граниты пер-

вой фазы и прослеживается на сопредельную к востоку территории.

В.А.Кашковским /6/ эти граниты выделены как краевая гранит-порфи-

ровая фация Харинского массива. Для этих гранитов характерна не-

однородность структуры и мелкозернистое строение. В них нередко

встречаются участки с пегматитовой структурой и миаролитовые пу-

стоты, иногда с мелкими кристаллами мориона. Структура гранитов

гранитовых, пегматитовая, редко порфировидная. Минеральный со-

став гранитов следующий (в %): микроклин-микролерит - 45-55, аль-

бит № 9, олигоклаз № II - 15-20, кварц - 25-30, биотит - до 3.

Комплексы аксессорных и вторичных минералов аналогичны таковым лейкократовых блочитовых гранитов первой фазы. Вторая разновид-
ность гранитов тяготеет к выходам лейкократовых гранитов с тем-
ным кварцем. Для них также характерны миаролитовые пустоты и мел-
козернистая структура /7/. Структура в них неравномернозернистая, часто порфировидная. Порфировидные выделения размером 3-8 мм слагают 20-40% породы и представляют собой глимеровидные скопления индивидов полевых шпатов и кварца. Структура основной массы гра-
нитов, аллитоморфнозернистая, аллитовая. Характерен идиомор-
физм кварца по отношению к полевым шпатам. На контакте с вмещаю-
щими породами в долине р. Салокачи, у восточной границы террито-
рии листа эти граниты переходят в гранит-порфры, имеющие полно-

x/ В.А.Кашковским /6/ в бассейне р. Тинтон эти граниты ошибочно

но сопоставляются с ранне- среднепалеозойскими гранитами.

кристаллически-порфировую структуру с микротранзитовой структу-
рой основной массы. Минеральный состав этих гранитов следующий
(в %): микроклин-микролерит - 25-45, олигоклаз, андезин - 20-30,
кварц - 25-45, биотит и роговая обманка - в виде единичных крис-
таллов. Комплекс аксессорных и вторичных минералов характерны
таковы из лейкократовых гранитов с темным кварцем.

В зонах рассланцевания (бассейны рек Татакан, Сред.Ишта),
рассматриваемые граниты интенсивно катаклизированы, кое-где прев-
ращены в гнейсо-граниты, и повсеместно подверглись краине-кали-
ровому метасоматозу. Они очень долгие живыми проявлениями, кото-
(t_π), пегматитами и аллитами (ρ_2), ортофира-
ми (ρ_3), спессартитами (χ). Лайки этих пород располагаются
как внутри массивов гранитов, так и в зоне их экзоконтакта на
расстоянии до 5 км. Пространение даек разнообразное, но в бассей-
нах рек Биря и Урина преобладает субширотная ориентировка даек,
а в Междуречье Хара - Салокачи - субмеридиональная, что связано
с ориентировкой трещиноватости в гранитах. Падение даек чаще кру-
тое, мощность их колеблется в пределах метров или первых десят-
ков метров. Гранит-порфир и гранит по минеральному составу
идентичны тем гранитам, близким массивов которых они расположены.

Мелкозернистые граниты второй фазы прорывают граниты первой
фазы. Это неоднократно наблюдалось на правобережье р.Биря и в ее
верховьях, р.Хара у гидрометостанции Хара, в долине р.Салокачи
и на левобережье р.Джан у северной границы территории листа.
В большинстве случаев контакт этих пород четкий прямой, реже из-
вилистый. Во вмещающих гранитах никаких контактовых изменений не
отмечается.

Лейкократовые граниты с темным кварцем и тяготеющие к нему
мелкозернистые граниты второй фазы в большей или меньшей степе-
ни претерпели пневматолит-гидротермально метасоматические изме-
нения, приведшие к образованию флюоритодержащих грейзенизирован-
ных пород, местами с топазом, турмалином, кассiterитом, арсеноли-
ритом и меласомитом, содержащих монацит, торит, орангит, ксе-
нотит, бурый циркон, фергасонит, пироклор, молибденит. Наиболее
интенсивно эти изменения протекали в породах, претерпевших катак-
лиз и рассланцевание.

Для харинских гранитов в целом характерна повышенная щелоч-
ность. Наиболее высока она в гранитах первой фазы. Однако эти
граниты имеют даже в пределах Харинского массива неоднаковый хи-
мический состав (табл. I и 2).

Граниты харинского комплекса относятся к гранитам пломазитового типа с коэффициентом аттачности 0,71-8,92. Из элементов-примесей для них свойственно повсеместное наличие У, Ур и почти полное отсутствие Zr и Sc. Весьма характерна для харинских гранитов повышенная намагниченность ($\chi = 10-700 \cdot 10^{-6}$ CGSM), обусловленная содержанием в гранитах магнетита (от 96 до 1700 г/т).

Описываемые граниты для своего внедрения, по-видимому, использовали две системы разломов: субмеридиональную и субширотную, о чем свидетельствует форма Харинского массива. Западный контакт этого массива сравнительно прямолинейный, а восточный, по данным В.А.Кашковского /6/, извилистый. Близи западного контакта граниты более или менее равномерно зернистые крупные, реже среднезернистые. В них отсутствуют ксенолиты вмешавших пород, а также пегматитовые структуры и пегматиты, характерные для гранитов юго-восточного контакта массива. Все это указывает на то, что северо-западный контакт массива круче. При изучении трещиноватости в южной части Харинского массива установлено что наиболее отчетливо в гранитах проявлены две системы трещин отдельности: крутонахищие трещины с углами падения 80-90°, имеющие субмеридиональное и субширотное направления простирания и горизонтальные и пологонападающие трещины с углами падения 0-25°. Характерно, что пологие трещинки падают преимущественно в южных румбах. По-видимому, такой же наклон имела здесь и кровля интрузиона, почти полностью еродированная к настоящему времени. Учитывая все особенности Харинского массива можно предположить, что он имеет форму пластообразного, скорее всего, грибообразного тела, полого (под углом до 25°) наклоненного на юго-восток, с одним или несколькими матмаподводящими каналами. Один из них, по-видимому, расположен вдоль северо-западного контакта, массива.

Цепочка мелких массивов харинских гранитов второй фазы в

центре Харинского массива, по-видимому, траассирует направление ослабленной тектонической зоны, в которую они внедрились. Изучение контакта одного из массивов возле гипрометростанции Хара показало, что он круто (65°) наклонен внутрь массива. Структуры и химизм этих гранитов указывают, что формирование их произошло на малых глубинах.

Вопрос о возрасте харинского комплекса лейкократовых гранитов, широко распространенных в пределах Буренского массива, является дискуссионным. До сих пор считалось, что внедрение их происходило в конце палеозоя, в одни из фаз гердинской складчатости. К настоящему времени известно, что эти граниты в бассейне

р.Нижана прорывают и контактируют метаморфизуют фаунистически охарактеризованные среднедевонские отложения /1/ и др., а на территории листа М-53-П /Г/ перекрываются также фаунистически охарактеризованными верхнетриасовыми осадками. Взаимоотношение рассматриваемых гранитов с каменноугольно-пермскими и нижне- и среднетриасовыми отложениями, виду их отсутствия на Буренском массиве, не установлено. Однако есть сведения о том, что в конгломератах из верхнепермских, а также нижне- и среднетриасовых отложений, охарактеризованных фаунистически, и развитых у восточной границы Буренского массива, в пределах Кужанского /17/ протягиваются подобных гранитов отсутствует, в то время как в Верхнетриасовых и юрских образованиях /12/ ее очень много. На территории листа М-52-ХIII харинские граниты рвут поднепалеозойские граниты. Абсолютный возраст их здесь колеблется по валовому калию в пределах 155-192 млн. лет (табл. 3), а по юниту равен 190 млн. лет. Если учитывать лишь данные абсолютного возраста по юниту, менее поддержанному метасоматозу, чем полевые шпаты, то следует остановиться на цифре 190 млн. лет. В других частях Буренского массива абсолютный возраст этих гранитов характеризуется преимущественно пиритами 210-190 млн. лет (1/1, /2/, /6/, /5/, /38, 39/ и др.). Таким образом, если ориентироваться на самые древние значения абсолютного возраста (210 млн. лет), то они свидетельствуют, о том, что формирование лейкократовых гранитов произошло в триасе и, скорее всего, на границе среднего и верхнего триаса. Анализ имеющихся материалов по изучаемой территории, позволяет предполагать наименее нестабильную, а следовательно и проявление интрузивной деятельности между средним и верхним триасом. Однако, до окончательного выяснения взаимоотношения между средним и верхним триасом, возраст харинских гранитов принимается триасовым без более точной датировки.

ЮРСКИЕ ИНТРУЗИИ

Внедрение позднедевонских интрузий (Диканский комплекс) происходит в четыре фазы: от пород основного состава к кислым.

Габбро, габброриты, диориты, диориты (у) сформировались в первую фазу. Ими сложены два небольших площади массива в бассейне р.Галой.

Габброриты сдвигают центральную часть массива на левобережье р.Галой. К периферии массива они постепенно переходят в габбро, а эти непосредственно у контакта - в меланократовые диориты. Небольшой массив на правобережье р.Галой сложен роговообманковым габбро.

Габро и диориты – меланократовые темно-серые до черных полнокристаллические равномернозернистые, обычно среднезернистые породы с отчетливо выраженной плоско-параллельной текстурой. Габро обладают габро-оффитовой, габбровой и пойкилитовой структурой. Состоит они (в %) из лабрадора № 50-53 – 50, аугита – 20, биотита – 15, роговой обманки буровато-зеленой – 15, акессорных минералов – апатита, сфена, рудного – до 2. Из вторичных минералов присутствуют ильменит и скаполит. Для габбо-норитов свойственна массивная текстура, более светлая окраска, структура их пойкилитовая, участками пойкилитовая, оффитовая и габбровая. Они имеют следующий минеральный состав (в %): лабрадор № 59-70 – 40, аугит и биотит – 15-20, тигеритан – 5-10, бурая роговая обманка – 25-30, оливин – 2-5, биотит – до 0,5. Акессорные – рудные минералы – до 8, апатит и скаполит. Рудные минералы представлены магнетитом (1040 г/т), гематитом, арсенопиритом и пиритом. Диориты имеют призматическая зернистую, участками пойкилитовую структуру и параллельную текстуру. Минеральный состав диоритов следующий (в %): плагиоклаз – 60, роговая обманка – 25-30, биотит – 10, акессорные минералы – апатит и рудный минерал – до 5; вторичные – скаполит.

Вмешающимися породами для описываемых габброидов служат мельтинская свита, ранне- и позднепалеозойские гранитоиды. Контакт с мраморизованными известняками мельтинской свиты четкий. На правобережье р. Талой известники спарнированы, кое-где превращены в фторстерит-брекчевые кальцифиры, а у контакта в узкой (до 0,2 м) полосе – в широковенные скарны. Контакт с позднепалеозойскими гранитоидами наблюдался на левобережье р. Талой. Он четкий, ровный, наклонен на северо-запад (285°) под углом 30°. Гранитоиды превращены в пироксенсодержащие метасоматиты. В них у контакта с габброидами, в полосе шириной 0,2 м наблюдается интенсивное окварцевание и осветление. Рутильные же габброиды имеют краевую фации, представленную меланократовыми диоритами с плоско-параллельной текстурой. Взаимоотношение габброидов с гранитоидами более поздних фаз диканского комплекса не наблюдалось. Наиболее крупный массив габброидов, слагающий сопку Березовую, известен в literature /47/, /26/ как Березовская (Диканская) положительная магнитная аномалия, интенсивностью до 3000 гамм (рис. I). По данным В.Г.Литтмана, этот массив имеет форму сложно построенного лакколита, имеющего более чем один материководородный канал. Из жильных пород с габброидами генетически связаны лишь единичные лайки диабазовых порфиритов ($\beta\tau_1$), залегающие в мельтинской свите. Мощность их 1,5 м и более, простирание северо-западное, падение круглое (50°) на северо-восток.

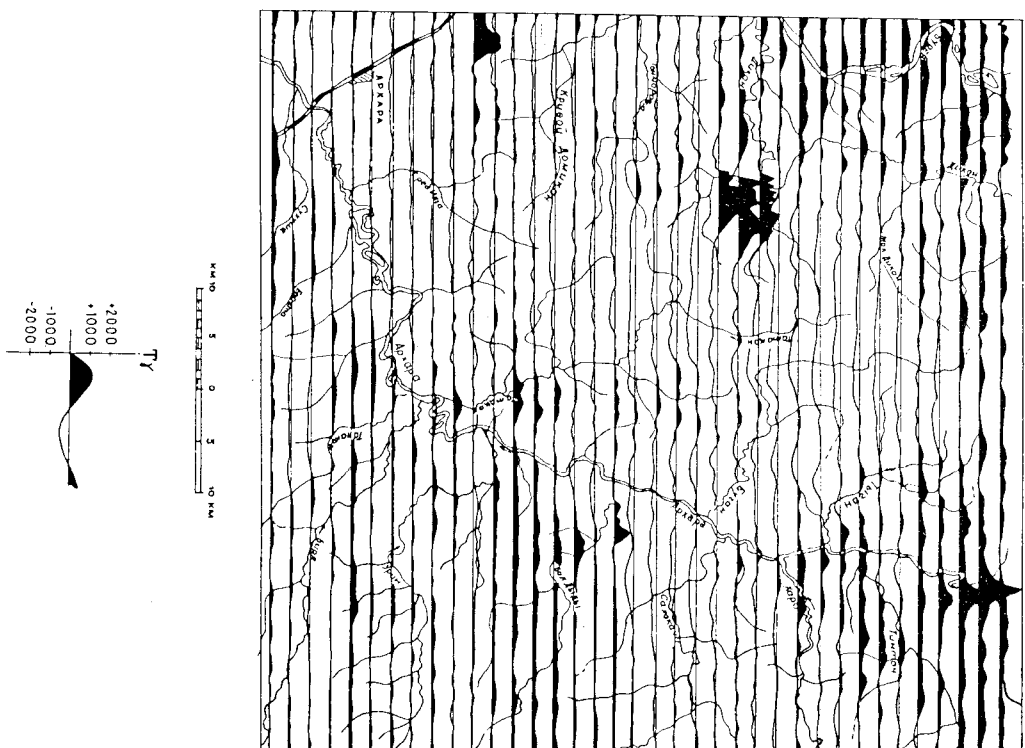


Рис. I. Карта графиков ΔT

Граниты роговобоманково-биотитовые, гранодиориты среднезернистые, серые (τ_1) сформировались во вторую фазу. Обнаружены они в бассейнах рек Гонтор и Дикан. В бассейне р. Гонтор ими сложена северо-восточная часть (около 60 км²) крупного линейно-вытянутого сложного массива, названного нами Саломинским. В бассейне р. Дикан они образуют крупный массив, известный в литературе под называнием Диканского /8/, /33/. Он прослеживается на территории с южного с запада листа, где перекрыт меловыми вулканитами и мезокайнозойскими рыхлыми об разованиями. Для гранитоидов второй фазы диканского комплекса характерны: серая окраска пород, равномернозернистое, преимущественно среднезернистое строение; почти повсеместное присутствие сфена в виде конвергентообразных кристаллов, видимых макроскопически; пестротекущая форма пластинок биотита размером до 6-8 мм, равномерно распределенного в породе; отсутствие краевых фаций. Роговобоманково-биотитовые граниты имеют обычно гипидиоморфно-зернистую гранитовую или мондоцитовую структуру. Минеральный состав их следующий (в %): микроклин - 25-40, альбезин № 41-42 - 25-35, кварц - 25-35, биотит и роговая обманка - 2-10. Аксессорные минералы - сфеен, магнетит (до 545 г/т), апатит, циркон, монацит, ортит, гематит, арсенопирит; вторичные - хлорит, серцинат, эпилорит. В гранодиортах, в отличие от гранитов, мелкие (до 15-25%) микроклины, больше (45-60%) альбезина. Количества кварца равны 20-25%, а биотита и роговой обманки - от 3-5 до 25%. Комплекс аксессорных и вторичных минералов тот же, что и в гранитах.

Вмещающими породами для гранитоидов второй фазы служат пр терозойские, среднедевонские (?) образования, а также харинские граниты. Взаимоотношение диканских гранитоидов второй фазы и харинских лейкократовых гранитов с темным кварцем наблюдалось на правом берегу р. Дикан, в 6 км выше впадения в нее р. Талой. Кон tact явно эрозионный. Биотитовые среднезернистые граниты здесь в виде апофизы шириной около 30 м вляются в катаклизированные крупнозернистые граниты харинского комплекса. Мелкие породы в связи с рассматриваемыми гранитоидами редки и представлены слабо дифференцированными петматитами (τ_1). На левобережье р. Бугреи (руч. Паль Кулустай) гранитоиды слабо катаклизированы, содержат вкрашенность сульфидов, а местами пересечены маломощными (до 1-2 см) прожилками кварца с пиритом, халькопиритом и монибонитом.

Граниты симититовые, среднезернистые и мелкозернистые, с ветло-серые (τ_2) сформировались в третью фазу. Ими сложен почти полностью Саломинский массив площадью около 500 км² и пять мелких массивов-сателлитов, расположенных вокруг него. Форма Саломинского массива в плане линейно-вытянутая, четковидная. Среднезернистые биотитовые граниты занимают около 65% Саломинского массива. В северо-западной части его (бассейн р. Дикан) встречаются близким восточного контакта Саломинского массива, и соприкасаются среднезернистым гранитом с персидским гранитом слагают не большой интрузив в бассейне р. Буган. Вдоль восточного контакта Саломинского массива в виде полосы шириной от 0,5 до 1000 м про слеживаются своеобразные петматитовые образования, представляющие собой мелкозернистые лейкократовые или альбаситовые граниты, характерные обилием широких петматитов и прожилков альбитов с выращ ленностью винно-красного гранита (альбандина). В восточной части Саломинского массива, в бассейнах рек Тыган и Буган, граниты участками претерпели интенсивный катаклизм до образования сланцеватых и линзовидных текстур, обусловленный, вероятно, не спокойной тектонической обстановкой в момент становления интрузии. Здесь же встречаются мелкие остатки биотитовых гнейсов, possibly видимому, являющиеся остатками зеродированной кровли массива.

Структура гранитов гипидиоморфнозернистая гранитовая, иногда переходящая к кристаллической, или порфировидная с гранитовой структурой основной массы; в катаклизированных разностях - бластогранитовая, катакластическая. Граниты состоят (в %) из микроклина редчесчатого и нередчесчатого, слабо пертизированного - 20-30, кварца - 25-30, альбезина № 31-34 и олигоклаза № 25 - 35-40, биотита - 1-7. Аксессорные минералы представлены апатитом, цирконом, гранатом, редко ортитом, монацитом, сфееном, магнетитом (0,8 г/т), ильменитом, пиритом, арсенопиритом, кассiterитом, тортитом, ксеноитом, турамелитом. Из вторичных минералов присутствуют серпентит, хлорит, мусковит. В катаклизированных гранитах биотит и плагиоклавы повсеместно замещаются мусковитом, реже квадием; наблюдается интенсивная микроклинизация птилоклаза. Макроскопически эти породы белесые. По-видимому, они подверглись следовой грейзенизации.

Из жильных пород в связи с рассматриваемыми гранитами установлены лайки гранитов и гранит-порфиров (ГП), фельзитов и фельзит-порфиров (ФП), гранодиорит-порфиров (ГДП), дилазовых порфиров (Р), спессартитов (Х), а также жилы амбитов и пегматитов (п). Скопления пегматитов, амбитов и мелкозернистых гранитов часто встречаются в пределах Саломинского массива в верховых рек Татакан, Буган, и на сопке Саломи. На этих участках вмещающие их граниты катаклизированы, слегка грейзенизированы, хлоритизированы. В них нередко присутствуют прожилки и жилы молочно-белого кварца, мощностью от 1-2 см до 0,5 м и более. К полю освещенных слабо грейзенизированных гранитов в верховых р.Буган приурочен щлиховой ореол рассеяния фергасонита, экскенита, монацита. Учитывая это обстоятельство, а также то, что описываемые граниты относятся к пломазигитовому комплексу ($N_A = 0,56-0,76$), можно предположить, что эти граниты несут редкометальную минерализацию.

Рассматриваемые граниты на территории смежного листа М-52-ХУП, в бассейне р.Мальмальты редут гранитоиды второй фазы диканского комплекса, внедряясь в них в виде апофиз /44/. Контактовых изменений во вмещающих гранитоидах и гнейсах не наблюдается. Терригенные породы среднего девона (?) превращены в кордимерит-плагиоклавовые и проксеновые роговики. В последних присутствует кассiterит и молибденит.

Описываемые граниты, в отличие от харинских гранитов, являются совершенно немагнитными породами, что вполне согласуется с со-держанием в них магнетита (0,8 г/т). На аромагнитных картах Саломинский массив отчетливо выраживается как отрицательная магнитная аномалия (рис.1). Содержание железа в них, судя по химическому составу очень низкое, ниже чем в любых других гранитах (табл.1, 2).

Граниты биотитовые, лейкократовые, мелкозернистые (БЛ) сформированы в четверту завершающую фазу. Ими сложены два небольших по площади массива, резко вытянутые в северо-восточном направлении, расположенные в бассейне р.Ликан. Для гранитов характерно отсутствие фациальных разновидностей. Лишь иногда у контакта структура их становится более мелкозернистой, стекловидной. Окраска гранитов светло-серая или слегка розоватая. Структура неравномернозернистая мелкозернистая, обычно амбитовая с элементами гранулитовой, реже гранитовая, переходная к амбитовой. Размер зерен 0,1-1 мм, а граниторвийных скоплений – 1-3 мм. Состав граниты (в %) из микроклин-мик-

ролептита – 30-50, андезина, оливиниза – 20-35, кварца – 35-40, олиотита – 1-3. Аксессорные минералы – апатит, циркон, магнетит, орбит, сфер; вторичные – серицит, хлорит, мусковит, сферен.

Из жильных пород с этим гранитами связаны жилы мелкозернистых гранитов (ГП), они располагаются в зоне экзоконтактов гранитных массивов, и, возможно, частично являются их апофизами. Мощность жил не превышает 1 м, ориентированы они беспорядочно.

Вмещающими породами для рассматриваемых гранитов являются харинские граниты, позднепалеозойские гранитоиды и гранитоиды двух более ранних фаз диканского комплекса. Эруптивный контакт этих гранитов с харинским наблюдался вблизи сопки Иркучан на правобережье р.Ликана, а с гранитами третьей фазы диканского комплекса – на левобережье этой реки. Контакт здесь явно рваный, разрывы, сливными. Во вмещающих порфировидных гранитах изменений не наблюдается.

По постоянному наличию среди элементов примесей Y , Yb , Sr , Sc гранитоиды диканского комплекса отличаются от гранитоидов других возрастов. Верхняя возрастная граница рассматриваемых пород устанавливается довольно отчетливо по налеканию на них на правобережье р.Бурен патагянской свиты маастрихт-латского возраста и прорыванию их позднемеловыми субвуликаническими шелочными липаритами (адекватный возраст 77 и 92 млн. лет) на правобережье р.Ликан. Абсолютный возраст их (полученный по валовым пробам) колеблется от 148 млн. лет для габброидов до 126 млн. лет для мелкозернистых гранитов в то время, как произведения в пальнейшем (1970-1971 гг.) исследования биотита из этих пород показали возраст 160-170 млн. лет (табл.3), последние цифры абсолютного возраста пород диканского комплекса указывают на раннюю юру. Комплекс верхнедиканских и нижнемеловых слабо диагенезированных терригенных пород и вулканитов (от акатеринославской до поясковской свит включительно), выполняющих восточную окраину Амуро-Зейской впадины, несомненно моложе диканских интрузивов. Формирование многофазного диканского интрузивного комплекса произошло, скорее всего, в начале юры, и предшествовало формированию вулканолено-терригенного комплекса.

ПОЗДНЕМЕЛОВЫЕ ИНТРУЗИИ

Мелочиевые липариты (МЛК_2) слагают экструдное тело лакколитообразной формы площадью около 100 км², рас-

положенное в долине р.Бурей. Среди них встречаются массивные и флюидальные разности; резко преобладают последние. Внешне это редковкрапленковые пестролетные породы, состоящие из вкрашенников (до 5-15%) санидина и кварца, размером 0,5-1 мм, и основной массы, имеющей сфералитовую, микрополиклиновую, микрографическаяную, редко фельзитовую структуру. В основной массе присутствует арги-лсонит в количестве от единичных зерен до 3%. Флюидальность в ли-паритах обусловлена наличием различно окрашенных полос шириной 1-3 мм, имеющих неодинаковую структуру (сфералитовую, микрографи-ческую или фельзитовую). Судя по замерам флюидальности, субувуль-ниче ское тело осложнено мелкими складками нагнетания и, возможно, обтекания шириной в несколько десятков метров, с крутизной крыльев до 70-80°. Магмоподвигающий канал экструдирован на левобережье р.Бурей. Они приурочены к лугообразному разлому субмери-диональной ориентировки. Ширина его составляет несколько сотен метров. На правом берегу р.Ликана флюидальность в липаритах и контакта их с ликанскими гранитами вертикальные, ориентированные по азимуту простирания 20-200°. Против деревни Кулустай около разлома флюидальность в липаритах также вертикальная или крутая (60-70°) и падает внутрь экструзии. Внедрение его, вероятно, произошло по границе между ликанскими гранитоидами и перекрываю-щей их ботуучанская свитой. Кровати интрузива к настоящему времени почти полностью зеродированы. Часть липаритов возможно имеет пок-ровное залегание.

Позднемеловой возраст шелочных липаритов установлен на том основании, что они возле с.Киселево /38/ залегают на коре вывет-ривания, развитой на андезитах станольской свиты, перекрыты па-ганской свитой и имеют абсолютный возраст (табл.3, обр.6330 и 6330-2) равный 77 и 95 млн. лет.

ТЕКОНОНИКА

Территория листа №52-УШ расположена в южной части Буреин- ского массива, у южной окраины наложенной Амуро-Зейской ала- дины. Тектонические процессы на Буреинском массиве неоднократно активизировались, что привело к внедрению многофазных, существенно гранитоидных интрузий. Долгое время рассматриваемая территория испытывала восходящие движения, приведшие к тому, что почти все палеозойские и протерозойские породы были зеродированы. Сохранились они на незначительных участках в пропахах кровей интрузивов, либо в опущенных тектонических блоках, зажатых в гранитоидах. Поэтому, высечение тектоники вмещающих толщ представляет большие

трудности. Наиболее древние обрезователи - гнейсы туловчинской свиты в междуречье Тыган - Буган собраны в крутие, линейно-вытянутые в субмеридиональном направлении складки. Ширина их 0,5-1 км, углы падения крыльев 20-60°.

От позднепротерозойских складчатых структур, сложенных карбонатными породами мельгинской свиты, сохранились лишь фрагменты. Судя по ним, можно предположить, что карбонатные отложения были собраны в крутие линейно-вытянутые складки северо-восточно-го простирания. В бассейне р.Талой они образуют синклиналь шириной до 8 км, с углами падения крыльев 60-85° фаза складчатости, собравшая в складки мельгинскую свиту, проявилась в конце ранне-го или начале среднего кембрия. В связи с ней имела место интрузивная деятельность, приведшая к образованию раннепалеозой-ских гранитоидов и габроидов. Гранитоиды весьма глубоко зеродированы и служат рамой для внедрения более молодых интрузий. Габро-иды слагают небольшие массивы, расположенные цепочкой северо-восточного направления, согласно с планом складчатых структур. В отрезок времени между кембрием и средним девоном, по-видимому, были сформированы ранне-среднепалеозойские интрузии.

Среднедевонские (?) вулканы и терригенные породы собраны в складки северо-восточного направления с углами падения крыльев от 20 до 80°. В районе сопки Москва крылья складок, шириной более 3-5 км осложнены более мелкими складчатостями, сдавшая среднедевонские (?) структуры, проявилась в раннем карбоне и сопровождалась интрузивной деятельностью. В это время, вероятно, произошло формирование гранитоидов первой фазы позднепалеозойского комплекса.

На протяжении позднего палеозоя до начала мелового периода территории листа, по-видимому, была областью поднятия. За исключением пермских (?) кислых эфузивов, никаких других пород соот-вествующего возраста здесь не обнаружено. В период проявления завершающих фаз гердинской складчатости в конце ранней перми или на границе ранней и поздней перми и, по-видимому, в конце средне-го триаса, исследованный район представлял собой геантоклинал-ное поднятие. В это время формируются позднепалеозойский и харинский интрузивные комплексы. В позднемурскую эпоху Буреинский мас-сив на тектонические движения в Восточно-Азиатской геосинклинали реагировал как область завершенной складчатости. В этот период на территории листа происходит внедрение ликанского интрузивно-го комплекса. После этого Буреинский массив испытал интенсивные

Весьма широко в районе проявлялись разрывные нарушения, среди которых отчетливо выделяются три основных направления: северо-восточное, субширотное, с отклонением до северо-западного. Большинство разломов всех направлений относится к сбросам и лишь среди субмеридиональных нарушенй в районе сопки Москва и на побережье р. Талой установлены надвиги по которым движение масс происходило с востока на запад.

Сбросами различных наращиваний исследованы зоны сдвигов, в которых испытывались перемещения различных знаков. При геологическом картировании многие разрывные нарушения, отчетливо линиирующиеся на аэрофотоснимках, фиксируются на местности в виде зон дробления, расслабления. Большинство разломов установлено среди интрузивных пород, но часть их наблюдалась и среди вулканических и терригенных образований включая киадинскую свиту. Наиболее древними, несомненно дополнюющими крупными разломами являются разломы северо-восточного простирания. Они контролируются зонами контактизированных, расслабленных пород и трассируют наиболее крупные массивы харинского и ликанского комплексов, а также позднепалеозойских интрузивов, подчеркивая генеральное для палеозойских и мезозойских структур района северо-восточное направление. Возникли они, вероятно, в связи с проявлением байкальской складчатости в кембрийскую эпоху. Крупный разлом северо-восточного

направления, контролируемый зоной рассланцевания шириной 5–6 км, прослеживается от д. Грибовка до р. Хара на расстоянии 55 км. На юго-западе он перекрыт рыхлыми мезо-кайнозойскими осадками, а на северо-востоке – Харинским массивом. К этому разлому приурочены массивы раннепалеозойских габбролитов. Это факт дает основание считать его разломом глубокого заложения. Интенсивному рассланцеванию и катаклизму в пределах рассматриваемого разлома подверглись ранне- и ранне-среднепалеозойские интрузии, что свидетельствует о полновесном движении по нему в предпозднепалеозойское время. В раннем мезозое перед внедрением харинских интрузий этот разлом несомненно испытал омоложение, и возникли разрывы несколько другого плана. Харинский массив, как бы срезавший Гонгорский, контролируется разломом, который имеет также северо-восточное простирание, но более близкое к меридиональному. Второй крупный долгоживущий разлом глубокого заложения прослеживается почти от пос. Архара на юге до северной границы территории листа и уходит за его пределы. Вдоль него происходило внедрение харинских и диканских гранитоидов. Причем, наличие зон рассланцевания в харинских гранитах у контактов с диканскими гранитоидами, указывает на то, что в предверхнеюрскую эпоху разлом испытывал активизацию, но план разрывной тектоники остался прежний. Описываемый разлом состоит из серии сопряженных разрывов. В опущенных по нему блоках сохранились карбонатные отложения мельгинской свиты и среднедевонский (?) вулканогенно-терригенные образования. Эта зона разломов является, скорее всего, продолжением Мельгинского блока, выделенного Ю.П.Рассказовым /10/ на территории листа М-52-ХI. Предполагается, что активизация северо-восточных разломов происходила и в кайнозое. Так, например, по одному из них, по-видимому, протягивавшемуся здоль долины р. Архара, после обра-зования завитинской свиты произошли перемещения, амплитуда которых, судя по мощности осадков ниже – и среднечаганской подсвиты в нулькообразном профиле на левобережье р. Архара, около 200–250 м. Район пос. Архара был приподнят и залесь ниже – и среднечаганская подсвита не отлагалась. В предпозднечаганское время движение по разлому повторилось, но с обратным знаком и с боль-шой амплитудой, так как верхнечаганская подсвита занимает более обширные площади, залегая трансгрессивно на разновозрастных об-разованиях.

Разломы субширотного направления огибают по времени к северо-восточным. Несомненно перед внедрением харинских гранитов они существовали, так как формирование интрузий харинского комплек-

лекса происходило по двум системам разломов: северо-восточной и субширотной, о чем свидетельствуют выступы Харинского массива на юге и севере его. К местам пересечения субширотных и северо-восточных разломов тяготеют в районе участки с максимально проявленной рудной минерализацией. Субширотные разломы также неоднократно испытывали активизацию. Среди них встречаются довольно протяженные. Зона субширотных разломов, пересекающая на юге территории листа как интрузивные, так и осадочные породы, включая киевдинскую свиту, протягивается более чем на 60 км. В гранитоидах эти разломы часто сопровождаются окварцованными тектоническими брекчиями, а в осадочных породах они выявляются по соприкосновению гранитоидов с высокими горизонтами паганской свиты.

По правобережью р.Сухуши при проходке канав установлено, что эти разломы являются крутонахищими ($60\text{--}70^\circ$) на юг и юго-восток сбросами. Амплитуда их, после активизации в кайнозое, не превышает первых сотен метров.

Разломы субмеридионального простирания являются самыми молодыми. Протяженность их не превышает 30-40 км. Иногда они дугообразно изогнуты. Крутой разлом этого направления прослеживаеться вдоль правого берега долины р.Татакан. Он выражен в рельфе, сопровождается окварцованными гематитизированными тектоническими брекчиями. По этому разлому на юге территории листа соприкасаются средние горизонты паганской свиты и гранитоиды позднего палеозоя.

Вертикальные движения продолжаются и в четвертичное время.

Об этом свидетельствует наличие в районе комплекса речных террас, участков омоложенного рельефа, речных перекатов.

Довольно интересный материал получен при интерпретации аномального поля силы тяжести исследованной территории /55/. Область развития палеозойских гранитоидов в центральной части территории листа совпадает с полосовой аномалью максимума силы тяжести активностью до 10 мГц. И.И.Шапочка выделяет эту полосовую аномалию как блок слабой гравитации, который прослеживается за пределы листа М-52-ХХ на северо-восток. В обе стороны от него расположены полосы интенсивно гравитационных пород, характеризующихся минимумами силы тяжести (активность до 15 мГц), и сопадающие с харинскими гранитами и с Салолинским массивом гранитов ликанского комплекса. Причем, аномалия, соответствующая Харинскому массиву, единая и вытянута в северо-восточном направлении, а аномалия, совпадающая с Салолинским массивом и с выходами харинских гранитов в бассейне р.Ликан, имеет четковидную форму,

сходную с формой Салолинского массива с перекимом в районе сопки Москва. По границе Харинского массива и блока с положительными значениями поля силы тяжести предполагается разлом. При картировании он не установлен, так как, возможно, залечен гранитами.

ГЕОМОРФОЛОГИЯ

Современный рельеф территории листа создан преимущественно эрозионными процессами. Генетически однородные поверхности, об разующие его, по преобладающей деятельности тех или других рельефообразующих сил (аккумуляции, речной эрозии, денудации и т.д.) можно разделить на эрозионно-аккумулятивные, эрозионно-денудационные, денудационно-эрзационные и денудационные (рис.2).

Эрозионно-аккумулятивные (рис.2) подразделяются на поверхности, созданные реками в четвертичное, плюоцен-нижнечетвертичное и верхнемеловое время. Поверхности, сформированные реками, в четвертичное время представлены поймой, и пятью надпойменными террасами.

Пойма имеет высоту 0,5-4 м. Уступ ее, с ясно выраженной бровкой, куполой (до 60°). В долинах рек Буреи и Архары ширина поймы достигает 1,5-3 км. Поверхность ее бугристо-травистая с многочисленными старнями. По более мелким водотокам пойма сильно заболочена, покрыта кочкарником с высокой травой. Тыловой щов выражен четко.

I надпойменная аккумулятивная терраса высотой до 7 м имеет кругой уступ с ясно выраженной бровкой. Ширина террасы в долях рек Буреи и Архары достигает 4-5 км, а в долинах их притоков - 0,3-0,4 км. Поверхность террасы слабо волнистая с многочисленными следами буждания русла. Тыловой щов четкий.

II надпойменная аккумулятивная терраса имеет высоту от 4,5 до 13 м. Уступ террасы выражен четко. Крутизна его склонов 10-15°, бровка слажена. Ширина террасы в долине р.Архары составляет 1-6 км, а в долине р.Буреи - 1-2 км. Поверхность террасы имеет слабо выраженный грядистый характер. Тыловой щов выражен слабо. Сформирована она во второй половине позднечетвертичного времени.

III надпойменная терраса является скульптурно-аккумулятивной. Дюкорль ее обнажен только в долине р.Буреи и у устья р.Ерахты ($/58^{\circ}$, $/52^{\circ}$). Цоколь ее обнажен только в долине р.Буреи и у устья р.Ерахты по

левобережью р.Архары. Высота террасы 10–20 м. Уступ ее выражен четко, бровка сложена, склон уступа имеет крутизну 10–12°. Ширина террасы равна 0,3–2 км. Поверхность ее ровная. Она часто примыкает к коренному склону и тыловой стороне ее перекрыт делювием. Образовалась терраса в первой половине позднечетвертичного времени.

ТУ наплосменная аккумулятивная терраса наблюдается только в долине р.Бурей. Высота ее изменяется от 40 до 45 м. Уступ высотой 13–16 м выражен четко, бровка сложена, тыловой толщины неясный. Поверхность террасы расчленена оврагами глубиной 12–15 м имеет слабый наклон в сторону русла реки. Формирование террасы относится к второй половине среднечетвертичного времени.

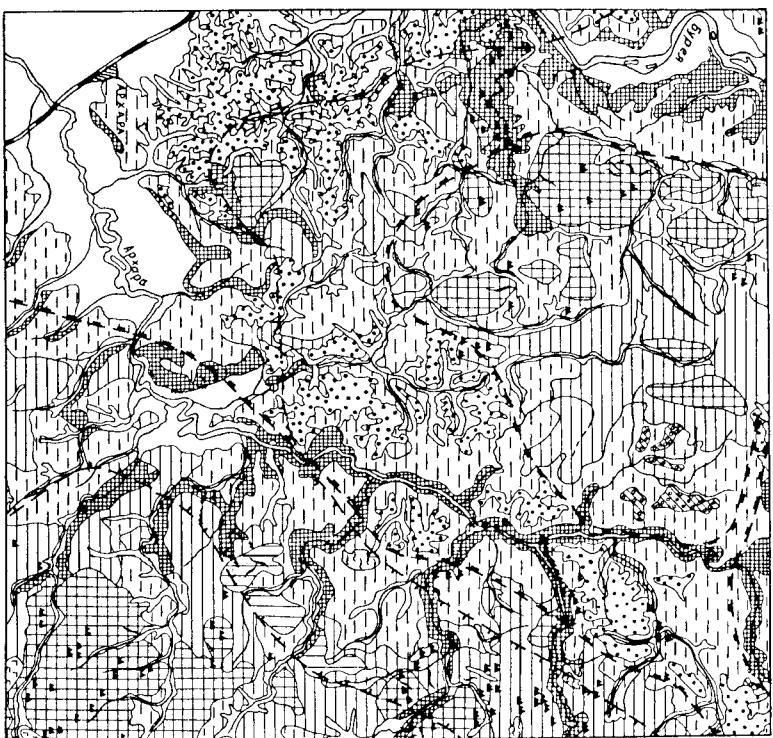


Рис.2. Геоморфологическая схема бассейна р.Архары

- 1 – вулканические поверхности (N_2+Q_1). Эрозионно-аккумулятивные поверхности, созданные реками; 2 – четвертичного возраста ($Q_1^1-Q_1^2-Q_1^3-Q_1^4$), 3 – неоген-раннечетвертичного возраста (N_1+Q_1), 4 – миоценового возраста (N_1), 5 – позднемелового возраста (K_2). Эрозионно-делювиационные поверхности: 6 – слабо расчлененная (Q_1), 7 – расчлененная (R), 8 – резко расчлененная (останцовый рельеф (K_2)); 9 – денудационно-эрзоменные поверхности (Q_{DL}); 10 – денудационные поверхности с корами выветривания (N); 11 – скальные гребни, 12 – денудационные останцы, 13 – эрозионные уступы; контуры депрессии и речные долины: 14 – неоген-раннечетвертичного возраста, 15 – позднемелового возраста

Плато-нижечетвертичная эрозионно-аккумулятивная поверхность приручена к плоским водоразделам с абсолютными отметками 220–310 м. Она плавно повышается от Амуро-Зеиской впадины к северо-востоку. В настоящее время эта поверхность расчленена на множество участков с четко выраженным уступами высотой от 1–2 до 25–30 м. Миоценовая эрозионно-аккумулятивная поверхность сформирована на сазанковской свите. Абсолютные отметки ее в бассейне р.Бол.Лыси равны 320–360 м, а в бассейне р.Биря – 290–300 м. Верхнемеловая поверхность возникла на цагаянской свите. Сохранилась она от размыва лишь кое-где на водоразделах в бассейнах рек Хара, Салокчи и Бол.Лыси. Абсолютные отметки поверхности равны 290–400 м.

Эрозионно-денудационные генетические схемы однородные по варьности охватывают водоразделы и склоны горных гряд и возвышенностей. Сформированы они в различные этапы развития рельефа, приручены к различным абсолютным отметкам и подразделяются на следующие поверхности: слабо расчлененную, расчлененную, резко расчлененную (останцовый рельеф).

Эрозионно-денудационная слабо расчлененная поверхность представляет собой холмисто-уваленную равнину, для которой характерно наличие крупных массивных увалов с очень пологими ($2-8^{\circ}$) склонами, расчлененных сравнительно редкими заболоченными долинами второстепенных водотоков с блоккообразным поперечным профилем. Абсолютные отметки этой поверхности 160-300 м, относительные 40-80 м. Водоразделия увалов представляют собой выровненные, пологовыпуклые, иногда горизонтальные, залесенные или открытые слабо заболоченные поверхности. На склонах увалов развита густая сеть мелких ложбин овражно-балочного типа, образованных временными потоками. Иногда на склонах видны псевдотеррасы, обусловленные процессами солифлюкции. Формирование рассматриваемой поверхности началось со второй половины раннечетвертичного времени и происходило в условиях устойчивого положения базиса эрозии в зоне слабой активности тектонических движений.

Эрозионно-денудационная расчлененная поверхность охватывает предгорья низких гор. Для нее характерно наличие возвышенностей с пологими ($6-12^{\circ}$) вогнутыми задернованными склонами. Абсолютные отметки ее равны 310-500 м, относительные - 100-150 м. Это плосковолнистая поверхность, расчлененная долинами рек с широкими плоскими днищами и с трапециевидным или блоккообразным поперечным профилем. Продольный профиль рек хорошо выражен. Переход этой поверхности к гипсометрически ниже расположенной слабо расчлененной поверхности выражен в рельфе четким перегибом на абсолютных отметках 300-310 м. Сочленение ее с прилегающей к низким горам аккумулятивной равниной в местах ее прилегания (сопка Москва, правобережье р. Гончаровки и т.д.) плавное.

Формирование описываемой поверхности, по-видимому, началось с палеогена, так как на ней на абсолютных отметках 290-400 м сохранились реликты верхнемеловой аккумулятивной равнины. Рельеф на отметках ниже 500 м, несомненно, образован после позднемелового времени.

Эрозионно-денудационная резко расчлененная поверхность охватывает водоразделя и склоны низких останцов гор. Она расположена на абсолютных отметках 290-697 м при относительных превышениях 250-300 м. Долины рек здесь глубоко врезаны и имеют V-образный или яйкообразный поперечный профиль. Слоисты возвышенностей прямые, вогнутые, реже выпуклые, крутизной от 12 до 30° .

Вершины гор обычно заостренные, а водораздельные гребни зубчатые. Образование расчлененной поверхности началось с позднемелового времени, так как она расположена на более высоких гипсометрических отметках, чем остатки верхнемеловой аккумулятивной равнины.

Денудация и оно - эрозионные генетические процессы однородные по временным промежуткам, включают в себя ветровую эрозию, денудацию, Татакана, Хары, Салокачи и к низовым их притоков. Абсолютные отметки этих поверхностей равны 120-300 м, относительные превышения - 100-150 м. Крутизна склонов изменяется от 12 до 20° и больше. Поверхность их залесена, часто покрыта крупноглыбовыми осыпями и увеличена скальными останцами. Долины мелких ручьев и распадков, расчленявших эти поверхности, имеют V-образный поперечный профиль и в своей нижней части часто заканчиваются небольшими конусами выноса. Основную роль в формировании этих поверхностей сыграла глубинная эрозия. Формирование рассматриваемых поверхностей началось со среднечетвертичного времени, так как эти поверхности прилегают к раннечетвертичной слабо расчлененной эрозионно-денудационной поверхности, а с другой стороны, к нижней части склонов этих поверхностей прилегает самая древняя для района среднечетвертичная терраса.

Ленуда и он и и е п о в е р х н о с т и с р е д и к т а ми древних кор выветривания сохранились кое-где в бассейнах рек Тыган, Хара, Гонтор, а также на выпогоженных водоразделах в районе д. Аркадиев-Семеновское и т.д. Эти поверхности представляют собой почти горизонтальные или слабоволнистые, часто покрытые марлю водораздели и верхние части склонов современных речных долин. Наличие на них кор выветривания предположительно можно утверждать, что примерно с этого времени, возможно и раньше, стали формироваться и эти поверхности.

Краткая история развития рельефа района

История формирования рельефа можно проследить с позднемелового времени. Резкое оживление тектонической деятельности в маастрихтский век привело в поднятие образования Амуро-Байской впадины и к формированию в районе верхнемеловой аккумулятивной равнины и низких гор. В конце латского века интенсивность тектонических движений сократилась, о чем свидетельствует образование существенно глинистых осадков и бурых углей в кийдинской свите. В палеогене, судя по наличию тuffов в кийдинской свите, произошло, по-видимому, оживление кулакнической деятельности.

В это время происходило формирование расчлененной поверхности на абсолютных отметках 290-400 м. В неогене на большей части территории листа, в условиях относительного тектонического пояса, формировалась слабо расчлененная поверхность выравнивания

с корами выветривания. В конце миоцена, сужа по наличию каскадов солеродных отложений в сазанковской свите, в южной части владины и размыв кор выветривания. Затем образовалась в пониженных участках плиоцен-нижнечетвертичная аккумулятивная равнина. С началом четвертичного периода созпало крупное региональное поднятие, в результате которого сформировались основные черты современного рельефа. С этим поднятием, очевидно, связаны частичное пересечение речной сети и оживление вулканической деятельности, что и привело к изытию базальтов. В результате поднятия реки, дrenaющие белогорскую аккумулятивную равнину, быстро врезались в рыхлые отложения. Краевая часть Амуро-Зейской владины поднялась в этот период, по-видимому, более интенсивно, так как белогорская свита сильно размыта и приподнята на 100-150 м над поверхностью владины. Территория листа после раннечетвертичного времени из области аккумуляции перешла в область сноса. Была расчищена белогорская равнина, отпрепарирована и в дальнейшем подвергся расчленению ее поколь. В среднечетвертичное время на большей части территории листа по окраине владины продолжалась интенсивная эрозионная деятельность и происходило заложение современной гидросети района, которая полностью была сформирована лишь в раннесовременное время. В это время левый приток р.Биря перекатил верховья современной р.Мал.Биря, ранее составляющей единое целое с р.Талакан. Во второй половине среднечетвертичного времени интенсивный эрозионный врез происходил частично и в крайней части владины (низовья р.Архары), так как терраса этого времена здесь отсутствует. В настоящее время купине реки и их притоки в низовых испытывают интенсивную глубинную эрозию, а в их верховьях сохраняются участки более древнего дряхлого рельефа.

По классификации тектоно-геоморфологических типов развития рельефа, предложенной О.В.Каппенской, территория листа относится к третьему типу, обусловленному наиболее интенсивное образование россыпей /7/. Геоморфологическими факторами, положительно влияющими на формирование россыпей в районе, являются: низкогорный характер рельефа, развитие которого происходит при соотношении выноса и поступления рыхлого материала, близком к равновесному, частые изменения интенсивности и даже знака тектонических движений, вызывающие неоднократный процесс разрушения террас и вертикальное переотложение металла.

С корами выветривания. В конце миоцена, сужа по наличию каскадов солеродных отложений в сазанковской свите, в южной части владины и размыв кор выветривания. Затем образовалась в пониженных участках плиоцен-нижнечетвертичная аккумулятивная равнина. С началом четвертичного периода созпало крупное региональное поднятие, в результате которого сформировались основные черты современного рельефа. С этим поднятием, очевидно, связаны частичное пересечение речной сети и оживление вулканической деятельности, что и привело к изытию базальтов. В результате поднятия реки, дrenaющие белогорскую аккумулятивную равнину, быстро врезались в рыхлые отложения. Краевая часть Амуро-Зейской владины поднялась в этот период, по-видимому, более интенсивно, так как белогорская свита сильно размыта и приподнята на 100-150 м над поверхностью владины. Территория листа после раннечетвертичного времени из области аккумуляции перешла в область сноса. Была расчищена белогорская равнина, отпрепарирована и в дальнейшем подвергся расчленению ее поколь. В среднечетвертичное время на большей части территории листа по окраине владины продолжалась интенсивная эрозионная деятельность и происходило заложение современной гидросети района, которая полностью была сформирована лишь в раннесовременное время. В это время левый приток р.Биря перекатил верховья современной р.Мал.Биря, ранее составляющей единое целое с р.Талакан. Во второй половине среднечетвертичного времени интенсивный эрозионный врез происходит частично и в крайней части владины (низовья р.Архары), так как терраса этого времени здесь отсутствует. В настоящее время купине реки и их притоки в низовых испытывают интенсивную глубинную эрозию, а в их верховьях сохраняются участки более древнего дряхлого рельефа.

По классификации тектоно-геоморфологических типов развития рельефа, предложенной О.В.Каппенской, территория листа относится к третьему типу, обусловленному наиболее интенсивное образование россыпей /7/. Геоморфологическими факторами, положительно влияющими на формирование россыпей в районе, являются: низкогорный характер рельефа, развитие которого происходит при соотношении выноса и поступления рыхлого материала, близком к равновесному, частые изменения интенсивности и даже знака тектонических движений, вызывающие неоднократный процесс разрушения террас и вертикальное переотложение металла.

ПОЛЕЗНЫЕ ИСКОПАЕМЫЕ

ГОРИЧЕ ИСКОПАЕМЫЕ

Бурый уголь

Т р е н о г с к о е у г л е п р о я з л е н и е (Ш-3-2)х/ представлено обломками бурого угля высокой степени углефикации, обнаруженным в шурках при поисках золота в долине руч.Треног среди нижнедагянской подсвиты /27/.

В е р х н е д ж е л ь м е н с к о е (ГУ-3-4) и Л е в о-д л я л ь м е н с к о е (ГУ-2-5) у г л е п р о я з л е н и я выявлены Н.К.Осиповой /43/ в бассейне р.Джельмен в поле разведки также нижнедагянской подсвиты. На Верхнеджельменском угле-проявлении обломки бурого угля размером до 0,2х0,4 м установлены в русле небольшого ручья, а на Лено-Джельменском - в деловии. При выщепризанные углеродирования остались не изученными.

С у х у щ и н с к о е у г л е п р о я з л е н и е (ГУ-1-10) расположено на северном фланге Архар-Богучанского бу-роутольного месторождения по левобережью р.Сухущи. Пласти бурых углей мощностью 1,15-3,25 м вскрыты залежью скважинами на глубине от 9 до 33,3 м /18/. Эти угли из-за низкого качества, большей глубины залегания и обводненности практического значения в наст-оящее время не имеет.

А р х а д и е - С е м е н о в с к о е у г л е п р о я з-л е н и е (ГУ-1-5) изученное В.Г.Варнавским /21/ к северу от д.Архади-Семеновское, является угольной залежью вторичного угле-накопления мощностью до 2,55 м среди киевдинской свиты. Практиче-ского значения оно не имеет.

Торф

П р о я з л е н и я т о р ф а обнаружено в долине лево-го притока р.Лихан (р.Логоретка), впадающего вблизи устья р.Та-лоя, и в долине правого притока р.Талакан в среднем ее течении. Залежи торфа слагают верхнюю часть верхнечетвертичных отложений Ш террасы. Мощность торфяников более 1,5 м. Нижняя граница зале-жей торфа не вскрыта. Торф хорошо разложившийся, темно-бурого, почти черного цвета, во влажном состоянии пластичный. Специальное

х/В скобках даны номера кисток и проявлений, ореолов, место-дражий на карте полезных ископаемых.

изучение залежей торфа не проводилось. Общие запасы его при суммарной протяженности долин 16 км, средней ширине их 400 м и предполагаемой мощности торфа 2 м, составляют 130000 м³.

МЕТАЛЛИЧЕСКИЕ ИСКОПАЕМЫЕ

Ц В Е Т Н Е М Е Т А Л Л И

ОЛОВО

Илгинское рудопоявление (III-2-5) расположено в верховых р. Сред. Илга, на ее правобережье, в 35 км от ж.-д. ст. Архара на северо-восток. Изучалось оно в 1958-1959 гг. Н.И. Поздняковым /46/ наземными горными выработками. Рудопоявления сложено лейкократовыми харинскими гранитами, в значительной степени катаклизированными, флюоритизированными и биотитизированными, которые контактируют по разлому с карбонатными породами мельгинской свиты. Содержание олова в ледовом (Ш-2-4), по данным спектрального анализа, колеблется от следов до 0,003%, и лишь в одной пробе достигает 0,01%. Минерализованные зоны с оловом расположены в зоне эпиконтакта харинских гранитов непосредственно у контакта с карбонатами. Представлены они грейзенизированными, лимонитизированными гранитами. По простиранию каналы прослежены до 200 м, мощность их не превышает 5 м. Простирание зон северо-восточное с отклонением на северо-запад, падение близкое к вертикальному. Содержание олова в зонах низкое (до 0,01%) и только в отдельных пересечениях составляет 1,48%. Крайне неравномерное распределение олова в изученных зонах, не-постоянство их мощности и невыдержанность по простирианию позволяют отрицательно оценивать перспективы выявления в них на данном этапе времени концентраций олова.

Рудопоявление сопка Москва (III-2-5), расположенное на юном склоне сопки того же названия, изучалось в 1958-1959 гг. Н.И. Поздняковым /46/ и в 1963 г. Н.К. Осиповой /43/. Протяль рудопоявления сложена флюоритизированными турмалинизованными биотитизированными харинскими гранитами, вулканитами и терригенные породами среднедевонского (?) возраста и карбонатами мельгинской свиты. Контакты между всеми породами тектонические. Вулканиты и терригенные породы под воздействием харинских гранитов ороговикованы, а карбонаты скарнированы. В турмалинизованных разностях гранитов турмалин слагает как нителистные прожилки, так и птирообразные обособления овальной формы размером до 4х1 см. В турмалиновых обособлениях

иогла встречаются касситерит (до 700 г/т), молибденит (до 300 г/т), а также ареенитрит, флюорит. Спектральным анализом в этих породах установлено (в %): олово - 0,1, мильяк - 0,5, бериллий - 0,1, иттербий - 0,01, литий - 0,03. В ледовом встречен обломок кварц-турмалиновых пород с выраженной арсенопирита. Спектральным анализом в них обнаружены (в %): олово - 0,5, вольфрам - 0,5, висмут - 0,1, мильяк - 0,7, литий - 0,002. На площади рудопоявления установлен металлометрический ореол рассеяния (7, III-2) с содержанием олова в ледовом до 0,005%, редко до 0,006-0,01%. В шлиховых пробах из ледовика касситерит присутствует повсеместно в количестве до 100-170 г/м³. Совместно с ним в песчаных содеряниях находится топаз. Рудопоявление недоизучено, перспективы не ясны.

Аллювиальная россыпь касситерита (III-2-4) расположена в долине р. Татаган. Она в 1958-1959 гг. Н.И. Поздняковым /46/ прослежена на 12 км от сопки Москва вниз по течению. Ширина россыпи 200-250 м и лишь в одном пересечении волнистая устья р. Каменный Ключ равна 600 м. Содержание касситерита колеблется от 21-50 до 100-300 г/м³. Мощность аллювия с содержанием 21-50 г/м³ равна 0,5-1,5 м, редко достигает 2-2,5 м. Более высокие (100-300 г/м³) концентрации касситерита обнаружены в одной скважине на глубине 2,5-3 и 5-5,5 м. По вертикали повышенные содержания касситерита располагаются без какой-либо закономерности. В ассоциации с касситеритом встречаются в виде знаков и единочных знаков шеелит, золото, топаз, фергасонит, родотозит, киноварь, иногда молибденит. Россыпь, в виду низких содержаний касситерита, практического интереса не представляет.

В выделенных на площади листа шлиховых ореолах рассеяния касситерит присутствует в количестве от единичных зерен до весовых (от 0,001 до 30,0 г/м³) концентраций. Четыре шлиховых ореола (I-2-3, I-4-1, III-1-1, III-1-3, III-2-3) рекомендуются для поисков коренных месторождений олова. В пределах этих ореолов расположены известные рудопоявления олова; лихихимические ореолы рассеяния олова (III-2-7, III-2-1, III-2-4) с содержанием олова в ледовых осадках до 0,005%, а в ледовом до 0,02%; гидрохимические ореолы рассеяния олова (III-2-8, III-2-2, III-2-3), в пределах которых количества олова в концентратах гидрохимических проб достигают 15 мг/л; гидрохимические ореолы рассеяния, представляющие собой аномалии (от 21 до 60 мкг/л) суммы металлов (Cu+Pb+Zn) (III-2-6, III-2-4, III-2-1, III-2-9, III-2-7).

Шлиховые ореолы рассеяния кассiterита I-4-I, II-3-I, III-4-I, III-1-I являются переотложенными. Возникли они за счет перемещения, как правило, присутствует в рассеянном состоянии. В отмеченные от вышеуказанных шлиховых ореолов, на их площадях отсутствуют либо гидрохимические ореолы рассеяния каких-либо металлов.

Шлиховой ореол касситерита (ГУ-4-I) в междуречье Урин-Биря приурочен к пегматитовым телам и маломощным зонам окварцованных и хлоритизированных пород с убитыми содержаниями олова.

Редкие металлы и рассеянные

элементы

Мolibден

Кулустайское рудопроявление (П-1-4) расположено на левобережье р.Падь Кулустай, в 6 км на юго-запад от д.Кулустай. Площадь рудопроявления сложена дианакитами и гранодиоритами, которые местами катализированы, обожжены и содержат рассеянную вкрапленность и нитевидные прожилки сульфидов (пирита, халькопирита) с молибденитом. Спектральный анализ этих пород указывает на наличие в них молибдена в количестве 0,003-0,03%. Содержание молибдена в делюни (П-1-3) на площади рудопроявления колеблется от 0,005 до 0,007%. В концентрированном залегании минерализованные породы не наблюдались. Перспективы рудопроявления не ясны.

Рудопроявление Синяя скопка (П-1-5) находится на левобережье р.Дикан и представлено глыбами и обломками пиритизированных харинских гранитов, содержащими гнейзовую вкрапленность тонкощечиччатого молибдена. Количество молибдена в них равно 0,02%.

Буганскому рудопроявлению (I-2-2).

В истоках р.Буган среди катаклизированных флюоритизированных харинских гранитов обнаружены обломки серого жильного кварца с содержанием молибдена до 0,02%. В пробах из лежащего молибдена присутствует в количестве 0,0003-0,002%.

Лудкий рудопроявление (П-4-2) находится в междуречье Салокчи - Булганской Речки и представляет собой обнажение флюоритизированных харинских гранитов с гнейзовой вкрапленностью и маломощными (до 2 см) прожилками сульфидов с тонкощечиччатым молибденитом. Спектральный анализ указывает на наличие в них молибдена до 0,03%. При последних рудопроявлениях практического интереса не представляют.

Вольфрам

Проявления вольфрама в форме шеелита и вольфрамита установлены шлиховым опробованием в аллювии. Наиболее распространен шеелит. В ореоле рассеяния (ГУ-4-3) в бассейне р.Биря содержание шеелита в аллювии колеблется от единичных зерен до 1,2 г/м³. Совместно с ним в количестве единичных зерен встречается касситерит. В делюни по бортам долины р.Бирюшки (левый приток р.Биря), в аллювии которой установлены максимальные концентрации шеелита, содержание шеелита не превышает 50 зерен на 0,02 м³. Площадь ореола сложена разновозрастными гранитами с остатками кремнистых и нижних гнейсов. Неблагоприятная геологическая обстановка и низкое содержание шеелита в делюни указывают на отсутствие в пределах ореола месторождений шеелита промышленной ценности.

Шлиховой ореол (Ш-1-3) в бассейне р.Сред.Илги характеризуется песчаником (до 0,25 г/м³) содержаниями шеелита и касситерита. Кроме того, совместно с ними в шлиховых пробах нередко присутствует в виде единичных зерен золото. На площади ореола среди известняков мельгинской свиты возможны проявления шеелита скarnового типа и кварц-гнейстовые жили с золотом среди гранитоидов. Касситерит здесь локализуется, вероятно, в минерализованных зонах, сходных с таковыми Игинского рудопроявления, расположенного в пределах рассматриваемого ореола.

Вольфрамит в шлиховых пробах встречается редко, поэтому все шлихи его содержание вынесены на карту^Х. Ореол рассеяния (ГУ-4-2) в верховье р.Урин объединяет шлиховые пробы с низкими (до 10 зерен на 0,02 м³) содержаниями вольфрамита и касситерита. В пределах ореола, плоскость которого сложена харинским гранитом, возможны кварц-вольфрамитовые жили и минерализованные зоны с вольфрамитом и касситеритом.

Ниобий

Салокчинское рудопроявление

(П-4-4) представлено, судя по лежащему, жилам и гнейзами метасоматически измененных пегматитов с вкрапленностью вишнево-красного граната площадью до 1-2 м², залегающих среди розовых альaskитовых харинских гранитов. В штуфных пробах весом около 1 кг из

^Х/Шлиховые пробы с единичным зерном шеелита, виду его повсеместного распространения, на карте за пределами ореолов не показаны.

пегматитов установлены фергасонит (до 8 мг), зерна эвксениита и пироктор, составляющий основную массу тяжелой фракции шихи. Спектральным анализом в этих породах обнаружен только ниобий – 0,003%.

Фергасонит и эвксениит установлены также в четвертичном аллювием. На территории листа выделены два ореола рассеяния фергасонита. Один из них (I-2-5) расположен в бассейне р. Буган среди слюбогрейзенизированных диканских гранитов, второй (II-4-3) – на левобережье р. Салокачи среди харинских гранитов, содержащих темнозематитов с тантало-ниобатами. Содержание фергасонита в первом ореоле колеблется от единичных до 100 зерен на 0,02 м³, а во втором – не превышает 10 зерен на 0,02 м³. В бассейне р. Буган совместно с фергасонитом присутствуют единичные зерна эвксениита.

Церий, цирконий, иттрий, лантан

Лекондитинское рудопроявление неподалеку от Иттрия, Циркония (Ш-2-3) расположено в 3 км на запад от пос. Леконда. Открыто и изучалось оно в 1960–1961 гг. С.П. Грабовым /24/. Площадь рудопроявления сложена среднедевонскими (?) терригенно-и вулканогенными образованиями, ороговикованными турмалинизованными и фторитизированными, по-видимому, харинскими гранитами, еще не вскрытыми здесь аэрозией. Выявлены два линзоидных минерализованных тела северо-западного простирания, протяженностью до 520 м, мощностью от 1 до 13 м каждое, характеризующиеся повышенной гамма-активностью. По результатам химического анализа штучных и бороздовых проб установлены содержания (в %): церия – до 3, циркония – до 1, лантана – 0,06, иттрия – 0,3.

Проявление церия и лантана в виде монацита, а циркония – в виде ширкона установлены в шлиховых пробах почти на всей территории листа. Однако на карту занесены лишь шихи с весовыми (до 16 г/м³) содержаниями этих минералов. Предполагается, что в этих местах коренными источниками монацита и циркония являются кроме гранитолов, еще гидротермально и метасоматически измененные породы, генетически связанные с харинскими гранитами.

Благородные металлы

Золото

На территории листа известно только россыпное золото. Россыпь левого притока р. Гончаровки (Ш-1-2) разведана в 1938–

1939 гг. Бирским присковым управлением комплексом "Эмпайр", характеризуется следующими параметрами: длина – 2900 м, ширина – 65 м, средняя мощность рыхлых отложений – 4,1 м, среднее содержание золота (в шихе) – 641 мг/м³ горной массы, площадь 175300 м², запасы горной массы – 780570 м³. Запасы золота в россыпи – 500 кг/км. Золото в россыпи мягкое (до 1 мм). Горнотехнические условия благоприятные для драгной отработки.

Россыпь в долине р. Мал. Бир (ГУ-3-8) разведывалась и разрабатывалась с 1929 г. по 1952 г. Бирским присковым управлением. Длина россыпи – 7700 м (из них 1200 м на территории листа М-52-ХХШ), средняя мощность рыхлых отложений – 4 м, среднее содержание золота (в шихе) – 241 мг/м³, а по данным драгной отработки по результатам разведки 1948–1949 гг. – 235 мг/м³ промышленной горной массы; объем горной массы – 3715800 м³. Запасы золота (в шихе) равны 895 кг. Золото имеет неправильную комковатую и пластинчатую форму зерен, желтый цвет, размер зерен от 0,05 до 0,1 мм. Данные о количестве добываемого на месторождении золота не сохранились. Балансовые запасы золота не имеются.

Россыпь долины р. Талакан (ГУ-3-7) разрабатывалась в 1929 и 1936 гг. и отрабатывалась Бирским присковым управлением гидравлическими, частично, мускульным способом. Длина россыпи 4800 м, объем горной массы 1,2 млн. м³. Среднее содержание химически чистого золота по разведочным данным составляет 217 мг/м³ горной массы. К настоящему времени отработан отрезок россыпи длиной 3500 м при ширине 100 м. Средний о количестве добываемого золота и содержании по наимену гидравликой не сохранилось. Ниже гидравлического разреза долина р. Талакан не разрабатывалась. На расстоянии около 2000 м от конца гидравлического разреза имеется несколько мелких разобщенных участков со следами ямных отработок, что, по-видимому, свидетельствует о прохождении россыпи вниз по течению. Балансовых запасов золота на месторождении не имеется. Россыпь золота в долине р. Урин (ГУ-3-3) в 1915–1916 гг. выявлена старательем Зарубиным. Им были пробиты несколько шурfov через долину р. Урин в 16 км от устья в месте ее сужения и установлено содержание золота в песках мощностью 5,8–6,2 м в количестве 250–400 мг/м³ горной массы.

Россыпь золота в долине ручья Ног (левый приток р. Архары) (Ш-3-1) в 5,5 км от устья и в долине р. Бол. Ключ (правый приток р. Урин) (Ш-3-3) выявлены Бирским

Х/ Ориентировочный полсчет запасов золота по россыпям укрупненными блоками методом среднего арифметического, по данным разных прошлых лет, произведен В.А. Щекуновым /45/.

приисковым управлением соответственно в 1934-1937 гг. и 1938-1940 гг. Содержание золота на первом участке равно 500 мг/м³, а на втором - 100-116 мг/м³ горной массы при мощности золотистых песков 5-7,5 м. Рассыпь золота в бассейнах р.Урин и руч. Трено не разведана.

Единичные зернышки золота в шлифах из четвертичного аллювия на территории листа установлены почти повсеместно. Наиболее часто плахи с золотом встречаются в бассейне рек Сред. и Верх. Ильга, Кривой Долмакан, Гогтаромка, Тыган, Урин и Талакан. Однако четкое локализование ореолы они образуют лишь в бассейнах рек Тыган (I-3-1) и Талакан (IУ-3-6).

Серебро

Серебро в единичных (от 0,3-1,5 до 150 мг/л) количествах обнаружено спектральным анализом в концентратах гидрохимических проб. Гидрохимические ореолы рассеяния серебра локализованы на правобережье (Ш-4-2) и в верховьях р.Бол.Диль (Ш-4-3). С первым ореолом совпадает гидрохимический ореол рассеяния олова (Ш-4-1). Площади ореолов сложены харинскими гранитами, содержащими останци радиопалеозойских гранитов, в значительной мере метасоматически измененных. Практическая ценность этих проявлений не выясняется.

НЕМЕТАЛЛИЧЕСКИЕ ИСКОПАЕМЫЕ

Х и м и ч е с к о е с и р ь е

Флюорит

Т а т а р с к о е (Г-2-7) р у д о п р о я в л е н и е

Флюорита расположено на правобережье р.Талай среди ороговикованных вулканитов среднеделовского (?) возраста между контакта их с харинскими флюоритодорсажами гранитами /43/. Представлено оно минерализованной зоной, содержащей флюорит, серцит и кварц, которая приурочена к субмеридиональному разрыву. Мощность зоны 8 м, по простиранию не простирается, вскрыта канавами в одном пересечении. Конкакты с вмещающими породами четкие. Зона круто (под углом 65-75°) падает на северо-запад (260-268°). Флюорит встречается в виде ксеноморфных зерен размером до 1 мм и сливных масс, реже он слагает нитевидные прожилки второй генерации. Цвет его

х./Россыпи золота IУ-3-3, Ш-3-1 и Ш-3-3 на карте полезных ископаемых показаны как нетронутые.

СТРОИТЕЛЬНЫЕ И ОТДЕЛОЧНЫЕ МАТЕРИАЛЫ

На территории листа известны месторождения гранитов, базальтов, вулканических туфов, известняков, бентонитовых глин, гравия, строительного песка и проявления кирпичных глин.

И з в е р ж е н и е п о р о д ы

Гранит

Джеменское (IУ-2-4) месторождение гранитов, пригодных в качестве строительного камня для покрытия щебенчатых дорог II класса, расположено на левобережье р.Архары в устье р.Джельмен /16/. Влагопоглощаемость гранитов равна 0,84% объемный вес - 2,634 г/см³, износ в барабане Девала - 7,2%. Геологические запасы гранитов 50000 м³. Они могут быть увеличены за счет расширения площасти.

Базальты

Архаринское (IУ-1-3) месторождение базальтов расположено на северной окраине пос.Архара. Сложено оно базальтами и долеритами плиоцен-раннечетвертичного возраста. Мощность базальтового покрова на месторождении 5-10 м, площадь около 500000 м², мощность вскрыши 0,5 м. Базальты разбиты столбчатой и плитчатой отдельностью на глыбы размером 1,2-1,8 м. Временное сопротивление сжатию 1680-1770 кг/см², плагиогипсометрический - 1,49%, объемный вес - 3,652 г/м³, износ в барабане Девала - 6,48%. Базальты и долериты пригодны для верхнего слоя щебенчатых покровов /16/. Геологические запасы базальтов на 1 января 1970 г. около 3,5 млн.м³. Базальты перекрывают крупнозернистые

флюоритовый, реже зеленый. Он ассоциирует с арсенопиритом, пиритом, висмутином и ксенотитом, которые содержатся в виде единичных зерен. По данным химического анализа, количество фтора в рудах колеблется от 0,75 до 8,93%. Среднее содержание фтора на мощность 7 м равно 3,8%. Спектральным анализом в рудах установлены лантан и бериллит - до 0,03%, олово - 0,002%.

Прокаление флюорита рекомендуется для дальнейшего изучения от вскрытого интервала минерализованной зоны на юго-восток, где не исключена возможность увеличения мощности зоны и содержания флюорита, возможно литья и берилля во фторсодержащем сырье.

Квадр-полевошпатовые пески киевлинской свиты. мощностью около 10 м, которые используются как строительный песок. Запасы их около 50000 м³. Месторождение разрабатывается периодически.

Вулканические туфы

Вулканические туфы, пригодные в качестве добавок при производстве цемента, разведаны в бассейне р.Бурей в пределах Правобуреинского поля маевых вулканитов в 1960-1962 гг. К.М.Бодровым и Е.С.Буланель /19/ на трех участках, получивших название Самсонское (П-1-1), Иркутское (I-1-1) и Куластайское (П-1-2) месторождения, запасы которых отнесены к забалансовым.

Карбонатные породы

Известники

В районе известны два месторождения известняков: Диканское (П-2-2) и Средне-Ильинское (Архаринское) (Ш-2-6). Диканское месторождение расположено в долине р.Талой вблизи ее устья. Разведано оно в 1959 г. Л.Г.Найденко /42/, а в 1958-1961 гг. А.П.Лотаповым /48/. Средне-Ильинское (Архаринское) месторождение находится на правобережье р.Сред.Илья в ее верховье. Открыто месторождение в 1940 г. Б.М.Молчановым /40/, а разведано в 1951-1952 гг. В.М.Довгалевым /28/. Оба месторождения (Диканское и Средне-Ильинское) сложены мраморизованными известниками мельгинской свиты. Они в различной степени доломитизированы, мергелистые. Судя по химическим анализам, известники Диканского месторождения содержат CaO - от 28,98 до 54,6%; MgO - от 0 до 23,7%; глинистых веществ ($\text{SiO}_2 + \text{Fe}_2\text{O}_3 + \text{Al}_2\text{O}_3$) - от 0 до 13,3% и пригодны для обжига на известь. Балансовые запасы их на Диканском месторождении разны по кат.А - 3289 тыс.м³, В - 2880 тыс.м³, С1 - 3010 тыс.м³. Всего по кат. А+В+С1 - 82884 тыс.м³. Забалансовые запасы по кат. А - 9487 тыс.м³, В - 7198 тыс.м³, С1 - 16685 тыс.м³, С2 - 21425 тыс.м³. Всего по месторождению запасы известняков составляют 99959 тыс.м³. Запасы утверждены ДВ ТКЗ в 1962 г. Месторождение не эксплуатировалось. Гидрогеологические условия сложные. Известники закарстованы (степень закарстованности 5-7%), ожидается подток воды в будущий карьер от 2600 до 3500 м³/ч.

Балансовые запасы известняков по Средне-Ильинскому (Архаринскому) месторождению, виду его недоразведенности, ДВ ТКЗ не утверждены. Авторские запасы даны по кат. В+С1 - 1160 тыс.м³,

Глинистые породы

Глины

Архаринское (Архаральное - Семеновское) (Ш-1-4) месторождение бентонитовых глин расположено в 4 км к востоку от пос.Архара. Оно разведывалось в 1960 г. По мнению А.Н.Васильевой /22/, глины по генезису относятся к делювиальному типу. Мы считаем их продуктом кор выветривания. Основным глинообразующим минералом бентонитовых глин является беллита с небольшой примесью гидрослюды. Химический состав глин (вес. %): SiO_2 - 59,43-66,79; Al_2O_3 - 15,38-19,05; Fe_2O_3 - 2,2-4,68; CaO - 0,15-4,68; MgO - 0,13-0,83; R_2O - 0,81-2,78; CO_2 - 0,03-0,12; SO_3 - 0,00; п.п.п. - 3,09-5,03; H_2O - 2,76-5,39.

Бентонитовые глины являются продуктом разложения щелочных тuffов. Комплексом исследований установлено, что они могут быть использованы как формовоочное сырье в литьевом производстве при изготовлении ступиков из чугуна и медных сплавов различных видов изготавливаемых для изготовления кирпича, черепиц, оконных блоков, бутового раствора как активные добавки при производстве различных видов цемента. Запасы бентонитовых глин по кат. С1 - 1113 тыс.м³, по кат. С2 - 683 тыс.м³. Объем вскрыши 751 тыс.м³. Нарашивание запасов возможно за счет расширения площади на южном фланге месторождения.

В качестве кирпичных глин могут быть использованы глины верхнего горизонта нижней подсвиты паганской свиты и глины киевлинской свиты /43/. Проявление глин в паганской свите установлено на левом берегу р.Архары у устья р.Джельмен. Глины аргиллитоподобные, с большой вязкостью, обладают отнеступористостью 1420°C и относятся к тутоплавким II сорта. По минеральному составу глины монтмориллонитовые с примесью гидрослюд. Химический состав глин (вес. %): SiO_2 - 64,01; TiO_2 - 0,28; Al_2O_3 - 15,5; Fe_2O_3 - 9,04; FeO - 0,06; MgO - 2,05; CaO - 1,98; Na_2O - 0,91; K_2O - 0,76; п.п.п. - 4,61.

Геологические запасы глин оцениваются автором /43/ в 700 тыс.м³.

Проявление глин в киевлинской свите расположено на левобережье р.Сухуми. Глины черные, коричневатые, аргиллитоподобные, вязкие,

обдаают отнеупорностью 1340-1520° С и относятся к тугоплавким II сортам. По минеральному составу они гидрослюдистые или каолиновые с приюстью гидрослюдой. Химический состав глин (в вес. %):

SiO_2 - 62,34-70,99; TiO_2 - 0,29-2,0; Al_2O_3 - 18,2-21,15; Fe_2O_3 - 2,33-6,23; FeO - 0,17-0,56; MgO - 0,69-1,06; CaO - 0,25-1,08; Na_2O - 0,3-0,91; K_2O - 0,48-3,34; п.п.п. - 3,86-7,22. Геологические запасы глини равны 1,2 млн.м³.

О слоемочные породы

Гравий

Архаринское (ГУ-1-6) месторождение песчано-гравийного балласта находится в 3 км от ж.-д. ст. Архара на восток. Балластный песок крупнозернистый с большим количеством гравия и гальки. Он состоит из верхней части аллювия II надпойменной террасы (Q_{III}) р.Архары. Мощность песков 2-3,5 м. Они находятся ниже уровня грунтовых вод. Разработка их возможна лишь при применении мощных экскаваторов. Месторождение законсервировано. Оно до 1941 г. эксплуатировалось Дальтагом МВД, а с 1941 г. по 1965 г. - конторой карьерного хозяйства ДВ железной дороги.

Разведка месторождения произведена в 1944 г. А.И.Степановой /53/. На 1 января 1970 г. запасы балласта по кат. А.2 - 652 тыс.м³, В - 1947 тыс.м³. Запасы утверждены ДВ ГКЗ в 1945 г. Перспективы увеличения запасов есть за счет увеличения площи.

Пригодные для строительства дорог гравийные отложения установлены П.И.Близнюком и В.Х.Бусловым /16/ во многих местах в долине р.Архары. Участки, где они отработаны, показаны на карте полезных ископаемых как малое промышленное месторождение (ГУ-1-2, ГУ-1-3, ГУ-1-7, ГУ-2-1, ГУ-2-2, ГУ-2-3, ГУ-3-1, ГУ-3-2). Кое-где гравийные отложения частично разрабатываются. Семь месторождений, из восьми известных, сложены аллювиальными четвертичными отложениями и одно - отложениями кивдинской свиты. Гравийные отложения выходят на дневную поверхность или залегают близко от нее, мощность их равна 15-2 м и более. Геологические запасы гравия на отдельных месторождениях равны от 12 до 100 тыс.м³, а в сумме по восьми месторождениям составляет 180 тыс.м³. В большинстве случаев (162 тыс.м³) гравий пригоден для верхнего слоя гравированных дорог низкой стоимости.

Пески

Пески, пригодные для оснований грунтовых дорог, установлены под базальтами на Архаринском (ГУ-1-3) месторождении базальтов и на Отважинском (ГУ-1-9) месторождении песков, расположенным в двух километрах на юго-восток от п.Отважное среди аллювиальных отложений р.Архары /16/. Для верхнего слоя грунтовых дорог могут быть использованы пески кивдинской свиты, обнажающиеся на Илгинском месторождении (ГУ-1-1) вдоль дороги, соединяющей пос.Архару с ж.-д. ст.Домкан /16/. Для дорожного строительства могут быть использованы также пески белогорской свиты и верхнечаганской подсвиты.

ПОДЗЕМНЫЕ ВОДЫ

На территории листа выделены следующие водоносные комплексы и горизонты: водоносный горизонт четвертичных аллювиальных отложений, водоносный горизонт белогорской свиты, водоносные комплексы кивдинской и чаганской свит, водоносный горизонт мельгинской свиты, подземные воды зоны выветривания интрузивных пород.

Водоносный горизонт четвертичных аллювиальных отложений приурочен к пойме и надпойменным террасам рек района. Он сложен песчано-галечными отложениями с прослоями и линзами глин, общей мощностью от 3-4 м в долинах мелких ручьев, до нескольких десятков метров в долинах рек Архары и Буреи. Питание грунтовых вод аллювиальных отложений происходит за счет инфильтрации атмосферных осадков и подтека вод из подстилающих пород. Режим их неустойчен и зависит от количества выпавших атмосферных осадков, режима рек и глубины промерзания почв. К категории водообильных отложений с debitом колодцев и скважин от 1 до 5 л/с следует отнести крупнозернистые пески и гравийно-галечные отложения, имеющие широкое площадное развитие в долине р.Архары ниже пос.Татакан и в низовых ее притоков - рек Еракта, Сухума, Татакан, Биря, Урин. По данным Е.Т.Михайловой /37/, средний debit колодцев в д.Черноберезовка и Аркалы-Семеновское составляет соответственно 4,5 и 4,35 л/с. Воды аллювиальных отложений сладко минерализованы (46-376 мг/л), мягкие (0,53-3,37 мг.экв/л), прозрачные, без цвета и запаха и отвечают нормам для питья и технических целей. По химическому составу воды гидрокарбонатные, катионам смешанные с преобладанием ионов кальция и натрия. Воды населенных пунктов основаны на их использовании колодцами.

Водовмещающими породами водоносного горизонта белогорской свиты являются разнозернистые пески с примесью гравия и гальки. Воды пластово-поровые, свободные. Глубина залегания их зависит от мощности и условий залегания отложений. В местах, где белогорская свита перекрывает раковые мезо-кайнозойские отложения, родники отсутствуют. На участках, где она залегает на гранито-дах, многочисленные нисходящие источники приурочены только к подошве свиты. По-видимому, глинистые коры выветривания на гранито-дах служат водоупором для рассматриваемого водоносного горизонта. Дебит таких источников в источниках притоков р. Хары, дrenaющих белогорскую свиту, составляет 0,5-3 л/с. По химическому составу воды гидрокарбонатные, смешанные по катионам, слабо минерализованные (34-37 мг/л), мягкие (0,29-0,36 мг·экв/л). Они пригодны для питья и технических целей. Питание водоносного горизонта осуществляется за счет атмосферных осадков.

Водонесущие комплексы киевлинской и паганской свит залегают совместно в Амуро-Зейской впадине и имеют много общего. Основные запасы подземных вод в них, очевидно, расположены ниже местного базиса эрозии, так как источники этих вод на дневную поверхность почти не выходят. Чередование в разрезах свит водоупорами глинистых песков и гравийно-галечных отложений с водоупорными глинями привело к образованию в них нескольких соединяющихся между собой, водоносных горизонтов пластово-поровых и пластово-трещинных вод. Скважиной 169 глубиной 342 м в д. Аркадьев-Семеновское вскрыты одиннадцать водоносных горизонтов /30/. Наиболее интересными в гидрогеологическом отношении являются горизонты, залегающие на глубине 133 и 247 м, из которых получены самоизливающиеся воды. Водообильность рассматриваемых комплексов большая. По данным Е. Т. Михайловой /37/, дебит скважин 147 и 151 на ж.-д. ст. Архара колеблется от 6,51 до 18 л/с. По причине засорения фильтров скважин методом гидравлическим песком, дебит их со временем резко снижается, затем скважины совсем выходят из строя. Поэтому проблема водоснабжения на ж.-д. ст. Архара, начиная с 1956 г. до настоящего времени, остается не полностью разрешенной. Воды рассматриваемых комплексов слабо минерализованы (24-64 мг/л), мягкие (0,2-0,29 мг·экв/л), без цвета и запаха. По химическому составу они гидрокарбонатные, смешанные по катионам. В ряде случаев воды под содержанием железа не удовлетворяют нормам для питья и технических целей. В целом водоносные комплексы киевлинской и паганской свит перспективны для водоснабжения. Эксплуатация их может быть осуществлена скважинами больших диаметров, оборудованными фильтрами с песчано-гравийной обсыпкой.

Водообильность мраморизованных карбонатных пород мелтиńskской свиты связана с их поверхностью и глубинной неравномерной закарстованностью /48/. В бассейне р. Тала, некоторые ручьи с дебитом до 10 л/с, протекающие по карбонатным породам, на отдельных участках уходят под землю. Трещинно-карстовые воды карбонатных пород часто выходят на дневную поверхность в виде слабопарных источников. Дебит их до 3 л/с. Такие источники установлены вдоль правого берега долины р. Тала, где они, вероятно, принадлежат к тектоническому контакту карбонатных пород с метаморфизованными вулканитами среднеленовского (?) возраста. Вокруг некоторых источников здесь даже в июле сохраняются наледи, что свидетельствует о действии их круглый год. Воды мраморизованных карбонатных пород слабомелочечные ($\text{pH} = 7,3$), мягкие (до 2 мг·экв/л). По химическому составу они гидрокарбонатные кальциево-магниевые. Питание этих вод происходит главным образом за счет инфильтрации атмосферных осадков.

Подземные воды зоны выветривания интрузионных пород в районе распространены весьма широко. Мощность этого водоносного горизонта зависит от мощности трещиноватой зоны, которая прослеживается на глубину до 100 м и более. Благоприятные условия для накопления рассматривающих вод имеются в пониженных участках рельефа. В целом гранитоиды водообильны. Почти все мелкие распадки, показанные на топографической карте как сухие, имеют фактически ручьи с хорошо разработанным руслом с дебитом 1-7 л/с. На склонах этих распадков встречаются нисходящие источники с дебитом до 0,5 л/с. Воды гранитоидов слабо минерализованы (14-66 мг/л, прозрачные, без цвета и запаха, мягкие (0,19-0,61 мг·экв/л). По химическому составу они гидрокарбонатные, смешанные по катионам с преобладанием кальция и натрия. Воды интрузионных пород могут быть использованы для водоснабжения отдельных объектов.

В целом территория листа обеспечена ресурсами подземных вод, пригодных для питьевых и технических целей. Островная миграторная мерзлота, края которой проходит от Верховьев р. Буган к устью р. Хара и далее на северо-восток, никакого влияния на циркуляцию, транзит и разгрузку подземных вод в районе не оказывает.

ОЦЕНКА ПЕРСПЕКТИВ РАЙОНА

Промышленная ценность и перспективность многих из полезных исконаемых, в частности олова, вольфрама, молибдена, золота, угля, тантало-ниобатов, выявленных на территории листа, осталась выясненным не полностью. Не изучались торфяные залежи и угленосность пагаянской свиты. Не исключено, что в мульбообразных протеках на краю Амуро-Зейской впадины, выполненных пагаянской свитой, могут быть обнаружены пласты сухих углей рабочей мощности.

Ревизионные работы на золото, проведенные В.А.Пискуновым /45/, позволяют оптимистически оценивать перспективы района в отношении наличия россыпей золота, пригодных для рентабельной механизированной отработки. Кроме долин, показанных на прогнозной карте, В.А.Пискуновым рекомендованы для поисков золотоносных россыпей притоки рек Хари и Тихона, а также нижнее течение р.Мал.Биря (рис.3). На наш взгляд, эти рекомендации ошибочные. Геоморфологические особенности долин этих водотоков свидетельствуют об интенсивном арозионном брееze и отсутствии реальных условий для формирования здесь долинных россыпей. Наличие золота в виде россыпей не исключено в долинах рек Сред. и Верх.Илии. Наиболее перспективные отрезки золотоносных долин, как правило, связано с интенсивной эрозией в этом месте притоковых золото содержащих частей пагаянской и белогорской свит, а также с наиболее благоприятными геоморфологическими условиями. Источником поступления золота в четвертичный аллювий является главным образом пагаянская, белогорская и сазанковская свиты. Однако предполагается наличие в районе и коренных источников золота. С целью их поисков рекомендуется участок в бассейне р.Тихан. Не исключено, что золото здесь находится в кварцевых жилах, секущих как гнейсы тулевицкой свиты, так и микроклинизированные позднепалеозойские гранитоиды, в протоочке из которых установлено γ знаков золота. Возможно также присутствие золота совместно с шеелитом в рудных телах на правобережье р.Сред.Илии.

Рассматриваемая территория листа представляет несомненный интерес в смысле нахождения на ней месторождений олова, вольфрама, молибдена, тантало-ниобатов и рассеянных элементов: церия, циркония, иттрия. Опытковариантность территории позволяет в настоящее время выделить на ней плодородные, перспективные для поисков оловянные - Игинское (1), сопка Москва (2), 9 - рассеянных элементов (Лекондинское), 10 - молибдена - Кулустьское (1), Буганское (2), сопка (3), Дуккинское (4), 11 - ниобия (Салолинское); 12 - площа, рекомендуемые для поисков бурых углей высокой степени углерификации; 13 - известные углепроявления: Трекское (1), Верхне-

ся для постановки комплексной геологической съемки масштаба

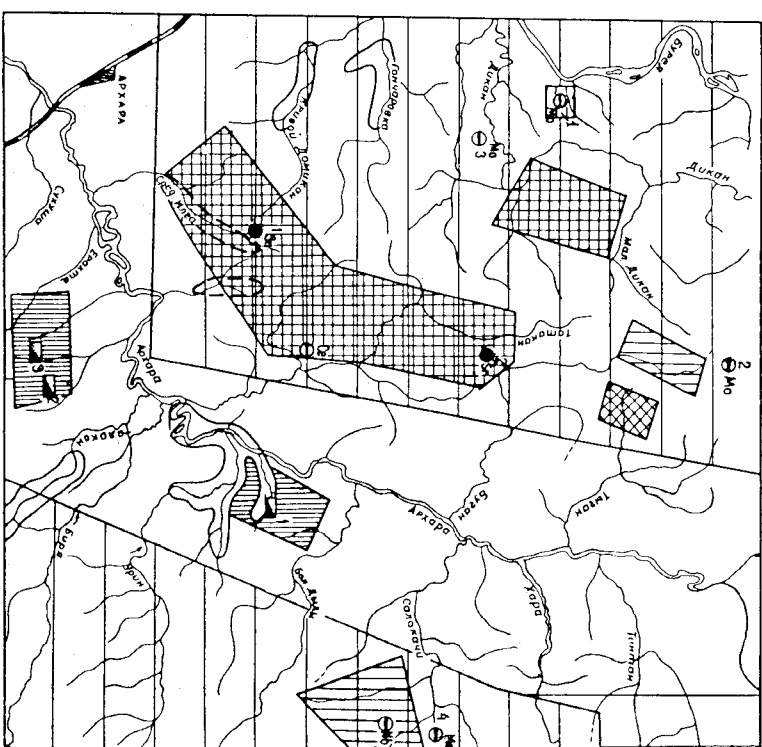


Рис.3. Прогнозная карта

1 - плодородные, рекомендуемые для проведения комплексной геологической съемки масштаба 1:50 000; участки рекомендуемые для детальных поисков; 2 - оловянных руд, рекомендуемые для детальных поисков;

3 - молибдена;

4 - тантало-ниобатов;

5 - золота, рекомендуемые для поисков;

6 - россыпей, пригодных для механизированной отработки;

7 - россыпей кассiterита; известные проявления;

8 - оловянные - Игинское (1), сопка Москва (2), 9 - рассеянных элементов (Лекондинское), 10 - молибдена - Кулустьское (1), Буганское (2), сопка (3), Дуккинское (4), 11 - ниобия (Салолинское);

12 - площа, рекомендуемые для поисков бурых углей высокой степени углерификации;

13 - известные углепроявления: Трековое (1), Верхнелеменское (2), Леводальменское (3).

1:50 000. В пределах вышеуказанных перспективных площадей выделены участки для постановки детальных поисковых работ масштабов 1:10 000 и 1:25 000. Основанием для выделения этих участков послужили следующие факторы: 1) наличие комплексных ореолов рассеянного олова, вольфрама и т.д. по линиям шлихового, гидрохимического и литохимического отображания; 2) благоприятная геологическая обстановка (наличие харинских гранитов, залегающих в виде небольших, слабо эродированных массивов, а также остатков кровли и интенсивно проявленной разрывной тектоники); 3) признаки рудоносных окварцевания, серicitизации и т.д.; 4) наличие уже известныхрудопроявлений олова (Ильинское и сопка Москва), молибдена, растянутых элементов и россыпи кассiterита в долине р.Татакан.

Перспективные участки расположены в пределах крупной разрывной структуры, являющейся, по-видимому, продолжением Мельгинского склона /10/. Учитывая слабую обнаженность перспективной территории, плохую геологическую лепешкообразность, очень сложное геологическое строение, представляется, что геологическое картирование масштаба 1:50 000, а тем более детальные поиски должны спровоцироваться колонковым бурением на глубину не менее 100–200 м, а также комплексом геофизических исследований, применительно к данному району и типам минерализации.

При подготовке листа к изданию выявлено, что качество работы проведенных Н.И.Поздняковым /46/ поисковых работ, в частности рудопроявлений сопки Москва, очень низкое. Поэтому рекомендуется, на площадях им изученных, провести дополнительные поисковые работы.

Верхние части долин рек Сред. и Верх.Илга предлагаются как благоприятные для поисков россыпей кассiterита. На правобережье р.Сред.Илги среди карбонатов мельгинской сопки на контакте с харинскими гранитами возможны интересные для промышленности скарновые месторождения шеелита. Молибденовая и tantalо-тиобиевая минерализация генетически связана с харинскими и диганскими гранитами. Молибденовая минерализация носит точечный характер. Лишь в долине р.Пель Кулустай она имеет площадное распространение. Этот участок рекомендуется для детальных поисковых работ масштаба 1:10 000. Здесь возможно открытие супермикро-молибденового месторождения штокверкового типа. С целью поисков tantalо-тиобиев рекомендуется для участка, в пределах которых возможны проявления тантало-тиобиевой минерализации как в связи с пегматитами, так и метасоматического типа.

Перспективы района в отношении различных строительных материалов неограниченные. При необходимости без больших затрат могут быть освоены пески и песчано-гравийные отложения паганской и белогорской свит, а также четвертичные отложения. Бутовый камень большинства населенных пунктов может быть получен из эжбузиков и гранитоморфов. Кирпичные глины в неограниценном количестве присутствуют в кивдинской свите, нижнекатаянской подсвите и четвертичных террасовых отложений.

ЛИТЕРАТУР

О П У Б Л И К О В А Н Н А Я

- Г. Е р а г и н с к и й С.М. Геологическая карта и карта полезных ископаемых СССР масштаба 1:200 000, серия Хингано-Буреинская, лист М-53-УЛ. Госгеотехиздат, 1961.
- З а с и л ь в а В.В. Геологическая карта СССР масштаба 1:200 000, серия Хингано-Буреинская, лист М-52-ХШ. Объединенная записка. Госгеотехиздат, 1961-1962.
- З о р б а ч е в И.Ф., Т и м о ф е е в А.А. Стратиграфия меловых отложений Зее-Буреинской владины. Сборник статей "Геология и палеогеографические условия формирования мезо-кайнозойских континентальных владин южной части Дальнего Востока". М., Наука, 1965.
- Д у б и н ч и к Э.Я., П у т и н ц е в В.К., М ат ил И.Т. Результаты петрографических исследований гранитов и мицеллитов Буреинского массива. "Советская геология", № 6, 1967.
- Д и р е н к о В.А. Геологическая карта и карта полезных ископаемых СССР масштаба 1:200 000, серия Хингано-Буреинская, лист М-53-1. Объединительная записка. Госгеотехиздат, 1964.
- К а ш к о в с к и й В.А. Геологическая карта и карта полезных ископаемых СССР масштаба 1:200 000, серия Хингано-Буреинская, лист М-52-ХШ. Объединительная записка. Госгеотехиздат, 1962.
- К а п м е н с к а я О.В. Геоморфологический анализ и картирование в прогнозной оценке россыпной золотоносности и направление поисков россыпных месторождений. Сборник статей "Методы геоморфологических исследований", Наука, Сибирское отделение, Новосибирск, 1967.
- Л о з и Б.И. Интузионные комплексы Малого Хингана. Сборник статей "История геологического развития и магматизм малого Хингана", ВСИГЕМ, т.55, л., 1961.

9. Музиль С.А. Геологическая карта СССР масштаба 1:1 000 000, лист М-52 (Благовещенск), Объяснительная записка. Госгеотехзат, 1962.

10. Рассказов Ю.П. Геологическая карта СССР масштаба 1:200 000, серия Хингано-Бурейская, лист М-52-ЛН (р. Верхний Мельгин). Объяснительная записка. Госгеотехзат, 1959.

11. Сигор В.Ф. Геологическая карта и карта полезных ископаемых СССР масштаба 1:200 000, серия Хингано-Бурейская, лист М-53-Л. Объяснительная записка, Недра, 1962.

12. Тоноян Р.М. Геологическая карта СССР масштаба 1:200 000, серия Хингано-Бурейская, лист М-53-ХХЛ. Объяснительная записка. М., Недра, 1965.

ФОНДОВАЯ

13. Акулов В.Д., Мишь Б.А., Тимофей -
ев А.А. Геологический отчет о результатах колонкового бурения
на профилях Архара-Благовещенск и Поярково-Екатеринославка по
работам 1960-1962 гг., 1963, № 09658.

14. Астафьев А.И. Сводные данные о плотности и
магнитной восприимчивости горных пород для территории Хабаровско-
го края и Амурской области. 1968, № 012990.

15. Баскакова Т.Г. Хингансое месторождение ба-
зальтов. Отчет о детальных геолого-разведочных работах, прове-
денных базальтовой партией в Облученском районе ЕАО в 1962 г.
1963, № 01055.

16. Близнюк П.И., Буслов В.Х. Ведомость камен-
ных и дорожных строительных материалов Амурской области и Ев-
рейской автономной области в 1939, № 0480.

17. Борисов В.В., Краулов В.Б. Геологичес-
кая карта и карта полезных ископаемых СССР масштаба 1:200 000,
серия Хингано-Буреинская, лист М-53-ХХУ. Объяснительная записка
1963, № 09647.

18. Ботомолов Н.Д. Отчет о результатах гидрогеоло-
гических исследований Архаро-Богучанского района. 1939, № 07016.

19. Бодров К.М., Булачев Е.С. Отчет о ре-
зультатах разведочных работ на активные минеральные добавки,
проведенные в Бурейском районе Амурской области (Култанская
партия) в 1960-1962 гг., № 010352.

20. Бондаренко Е.И., Шаров Л.А. Отчет о ра-
ботах Методической партии по применению аэрометодов при геокар-
тировании (партия Аэрометолов в 1966-1967 гг.). 1968, № 012761.

21. Варнауский В.Г. Отчет о поисково-разведочных
работах в районе Архаро-Богучанского бурового месторожде-
ния. 1959, № 04513.

22. Ваильева А.Н. Отчет о поисково-разведочных
работах на бентонитовые глины, пропеленных в Амурской области
и Хабаровском крае в 1960 г. (Бентонитовая партия). 1961,
№ 08950.

23. Толовева А.А. Геологическое строение бассей-
на верхнего течения р.Архары. 1951 г. (Урильская партия № 349)
1952, № 03919.

24. Трофов С.П. Отчет о результатах работ Диканской
поисковой партии № 543 г. 1962, № 09606.

25. Тукасян Г.О., Закарьян Л.П. и др.
Отчет о результатах аэраписковых и наземных работ Таландинской
аэропартии № 35 за 1966 г., 1967, № 012317.

26. Литмар В.Г. Геологический очерк районов магнитных
аномалий. Отчет по работам 1941 г. 1942, № 03495.

27. Добротин М.Н., Малиновский В.И.
Отчет о работах по изучениюоловоносности района Бирского промы-
шленного управления треста Амурзала, 1937. № 01479.

28. Добгалев В. М. Отчет о поисково-разведочных ра-
ботах, проведенных на Архаринском месторождении известняков в
Амурской области в 1951 г. 1951, № 03588.

29. Еремеев П.И., Бокрееский С.В.,
Шеин В.З. Отчет о геологописковых работах на нефть в Арха-
ринском районе. 1960, № 01498.

30. Жукович М.А., Ваильев В.П. Теолого-
гидрогеологическое заключение по структурно-картировочной сква-
жине № 169, пробуренной в 1960 г. в с.Аркальево-Семеновка Амур-
ской области. 1961, № 09296.

31. Иванов Н.В. Отчет о результатах работ Аэромагнит-
ной партии № 7 за 1953-1954 гг. 1955, № 04840.

32. Имагилов Р.И., Киримов Н.А. Отчет о ре-
зультатах работ Бурейской гравиметрической партии в бассейне
р.Бурея за 1961 г. 1962, № 09549.

33. Ильин М.И., Хеффер И.З. Геологическое
строение ирудность районов среднего течения рек Бурея и
Тыры. 1941, № 02923.

Х/Материалы находятся в фондах Дальневосточного производст-
венного геологического объединения.

34. Караванова З.А. Каталог буровых на воду скважин Амурской области. Т.П. 1965, № 11386.
35. Караванов К.П., Трачук В.Г. Геологическое строение и гидрогеологические условия части листов М-52-Б и М-52-Г. 1957, № 06903.
36. Майеров В.С. Отчет о результатах гравиметрической съемки масштаба 1:200 000, проведенной Буреинским отрядом в Амуро-Зейском проливе в 1961 г. 1962, № 09444.
37. Михалина Е.Г. Гидрогеологический очерк бассейна среднего течения р.Амур (листы Л-52-Б и М-52-Г). 1958, № 07410.
38. Молосковский З.А. Геологическое строение бассейна среднего течения реки Буреи. Отчет о работах Островской партии в 1957 г. 1958, № 07520.
39. Молосковский З.А. Геологическое строение бассейна среднего течения реки Буреи. Отчет Ново-Островской партии по работам 1958 г. 1959, № 07736.
40. Молчанов Е.М., Ботатирев С.В. Отчет о работе Амурской поисковой партии. 1940. № 01530.
41. Музлев С.А. Отчет о геологической съемке масштаба 1:1000 000 Амуро-Зейского междуречья в 1941 г. 1943, № 03519.
42. Найденко Д.Г. Диканское месторождение известняков в Амурской области. Отчет о поисково-разведочных работах в 1956 г. 1956, № 0962.
43. Осипов Н.К., Синицын В.Ф. и др. Геологическое строение и полезные ископаемые бассейна р.Архары и левобережья р.Буреи. Отчет Архаринской партии о результатах геологосъемочных работ масштаба 1:200 000 в 1966-1968 гг. 1970, № 013759.
44. Осипов Н.К., Севастянов А.С. и др. Промежуточный отчет о результатах геологосъемочных работ масштаба 1:200 000 в бассейнах рек Алгон и Мальмьета (Чунгисская партия, 1969 г.). 1970, № 013905.
45. Пискунов В.А., Химайло Б.А. и др. Золотоносность Архаринского района Амурской области. Проверка заявок на золото и алунит. 1968, № 012833.
46. Поздняков Н.И. Результаты геолого-поисковых работ на олово в бассейне р.Архары. Отчет Архаринской партии за 1958-1960 гг. 1960, № 08529.
47. Политиков М.И., ДеникоС.И. Отчет о результатах аэромагнитной съемки масштаба 1:200 000 на территории Хадаровского края и Амурской области в 1958 г., № 07528.

48. Потапов А.П., Рягина В.Ф., Семенов Г.П. Отчет о результатах детальных геолого-разведочных работ на цементное сырье, проводимых Диканской партией в Буреинском районе Амурской области в 1958-1961 гг. 1961, № 09468.
49. Саратов Д.Е. Геологическое строение Харандинского междуречья. Отчет о геологической съемки 1946 г., масштаба 1:200 000. 1947, № 02127.
50. Селеников Е.Г. и др. Отчет о геологопоисковых работах на олово в бассейнах рек Биря и Урила, проведенных в 1954 г. (Ивановская партия № 600). 1955, № 04631.
51. Селезнев И.Ф., Кучук В.В. Отчет о геофизических работах на нефть в Архаринском районе Хадаровского края, 1940-1941 гг., 1944, № 02997.
52. Сорокин А.П. Теоретическая карта СССР масштаба 1:200 000, серия Хингано-Буреинская, лист М-52-ХХХ. 1965, № 01403.
53. Степанова А.И. Отчет о детальной разведке песчано-гравийного месторождения Архара на ДВ ж.-л. в 1944 г. 1944, № 03020.
54. Фиженко В.В., Сверлов М.Д. Материалы по аэромагнитной съемке и данные по геологии и оловянности некоторых участков Хингано-Буреинского района Хадаровского края (по работам партии № 16). 1956, № 05590.
55. Шапочкин И.И., Головко С.В. и др. Природа аномалий силы тяжести и магнитного поля Хадаровского края и Амурской области. Отчет группы обобщения материалов региональных геофизических исследований за 1964-1967 гг. 1968, № 013121.
56. Широков В.И., Лушик А.В., Кудрявцева Т.Б. Гидрогеологические условия Малого Хингана в пределах листов М-52-Г и Л-52-Б. Отчет партии № 845 о гидрогеологической съемке масштаба 1:500 000 на территории листов М-52-ХХII и редакционно-увязочных работах на территории листов М-52-Г и Л-52-Б. 1964, № 010701.
57. Эйриш Л.В. Геологическая карта и карта полезных ископаемых СССР масштаба 1:200 000, серия Хингано-Буреинская, лист М-52-ХХУ. Объяснительная записка. 1961, № 09138.
58. Юлин А.И. Геологическая карта СССР масштаба 1:200 000, серия Амуро-Зейская, лист М-52-ХХI. 1963, № 010785.

Приложение I

Список прошаренных месторождений полезных ископаемых, показанных на карте М-52-ХХИ карты полезных ископаемых

МАСШТАБА 1:200 000

I	2	3	4
IV-2	1	У д.Черноберезовки	16
IV-2	2	У д.Черноберезовки	16
IV-2	3	У д.Николаевка	16
IV-3	1	Река Архара у устья р.Татакан	16
IV-3	2	Река Архара у устья р.Бири	16
СТРОИТЕЛЬНЫЕ МАТЕРИАЛЫ			
И з в е р ж е н и е п о р о д ы			
Грунты			
IV-2	4	Джельменское	16
Основные залежи			
IV-1	3	Архаринское	16
К а р б о н а т н ы е п о р о д ы			
Известники			
П-2	2	Диканское	48, 42
П-2	6	Средне-Илгинское (Архаринское)	28, 40
Г л и н и с т ы е п о р о д ы			
Бентонитовые глины			
Грунты			
IV-1	4	Аркадьевское (Аркадиев-Семеновское)	22
О б л о м о ч н ы е п о р о д ы			
Гравий			
Грунты			
IV-1	2	Илгинское	16
IV-1	7	Пойма р.Архары у д.Аркадьев-Семеновское	16
IV-1	8	Правый берег р.Архары у устья р.Илги	16

Приложение 2

СИСТОМ ПРОВЕРКИ ПОЛЕЗНЫХ ИСКОПАЕМЫХ, ПОКАЗАННЫХ НА
ПОКАЗАННЫХ НА ЛИСТЕ М-52-ХХ карты полезных ископаемых,
МАСШТАБА 1:200 000

Приложение 3

СИСТОМ ПРОВЕРКИ ПОЛЕЗНЫХ ИСКОПАЕМЫХ, ПОКАЗАННЫХ НА
ЛИСТЕ М-52-ХХ карты полезных ископаемых МАСШТАБА 1:200 000

Индекс клетки на кар- те	№ на карте	Вид полезного ис- копаемого и на- именование месторож- дений	Ссылка на литературу (номер по списку)	Примечание
I	2	3	4	5

СТРОИТЕЛЬНЫЕ МАТЕРИАЛЫ

Извещенные породы

Булыжнические туфы

I-4	I	Иркутское	19	Пригодны в качестве добавок при производстве цемента
II-1	I	Самсонское	19	То же
II-1	2	Кулжустайское	19	"

Осадочные породы

Гравий

ГУ-1	6	Архаринское	53	Песчано-гравийный балласт
------	---	-------------	----	------------------------------

МЕТАЛЛИЧЕСКИЕ ИСКОПАЕМЫЕ

Цветные металлы

Медь, свинец, цинк

I-2	4	Река Буган	43	Гидрохимический ореол (аномалии) суммы металлов (Cu+Pb+Zn) То же
I-2	6	Гора Беденежная	43	
II-2	1	Река Талая	43	"
II-2	9	Река Татакан	43	"

II-2	4	Река Татакан	46	Долинная россыпь касситерита
------	---	--------------	----	---------------------------------

Индекс клетки на кар- те	№ на карте	Вид полезного ис- копаемого и на- именование проявления	Ссылка на литературу (номер по списку)	Примечание
I	2	3	4	5

ГОРЯЧИЕ ИСКОПАЕМЫЕ

Бурый уголь

III-3	2	Треногское	27	Обломки сурого угля в аллювии
ГУ-3	4	Зерхнетхельмен- ское	43	То же
ГУ-2	5	Леволежеменское	43	Обломки сурого угля в делювии
ГУ-1	10	Сухумышское	21	Непромытые пласти турбогорячего угля

МЕТАЛЛИЧЕСКИЕ ИСКОПАЕМЫЕ

Цветные металлы

Гидрохимический ореол (аномалии) суммы металлов (Cu+Pb+Zn)
То же

II-2	4	Река Татакан	46	Долинная россыпь касситерита
------	---	--------------	----	---------------------------------

I	2	3	4	5
---	---	---	---	---

Б л а т о р о д н е м е т а л л и

Золото

III-3	I	Руч. Треног (левый приток р.Архара)	45	Неразведанная долина ная россыпь
III-3	3	Руч. Бол. Ключ (правый приток р.Урин)	45	То же
IV-3	3	Река Урин	45	"
I-3	I	Река Тыган	43	Шиховой ореол
IV-3	6	Река Талакан	43	То же

Серебро

III-4	2	Река Бол.Лыды	43	Гидрохимический ореол (по результатам спектрального анализа концентратов подных проб)
III-4	3	Река Бол.Лыды	43	То же

Х и м и ч е с к о е с и р ь e

Флюорит

I-2	7	Татарское	43	Минерализованная зона в коренном залегании
-----	---	-----------	----	--

В брошюре пронумеровано 99 стр.

Редактор Р.Н.Ларченко
Технический редактор С.К.Леонова
Корректор Л.П.Трензелева

Сдано в печать 27.05.81. Подписано к печати 04.04.83.

Тираж 198 экз. Формат 60x90/16 Печ.л. 6,25 Заказ 662с

Центральное специализированное производственное хорасчетное предприятие
объединения "Союзгеодон"